

1955

061/05
ეროვნული
ბიბლიოთეკა

524

საქართველოს სსრ
მეცნიერებათა აკადემიის
გ მ ა მ ბ ე

321

გოგნი XVI, № 1

ქიმიკთარი, ქართული გაგონება

1955

შ ი ნ ა ა რ ს ი

მათემატიკა

1. ი. ქარცივაძე. ინტეგრალთა გადასმის ერთი ფორმულის შესახებ 3

ღრეპაღოზის თეორია

2. ს. ტერსენოვი. ცილინდრული გარსების რხევების საკუთრივ მნიშვნელობათა და საკუთრივ ფუნქციათა ასიმპტოტური ყოფაქცევა 11

3. გ. ხატიაშვილი. დატვირთული გვერდითი ზედაპირის მქონე შედგენილი ცილინდრული ძელის დრეკადი წონასწორობა პუასონის სხვადასხვა კოეფიციენტის შემთხვევაში 19

ფიზიკა

4. ვ. ასრიბეკოვი. ნუკლონის მუხტისა და მასის გადანორმირება ვაკუუმურ შესწორებათა თეორიაში მეზონუკლონური პროცესებისათვის 27

ქიმია

5. ვ. კაკაბაძე და ი. ჩაჩანიძე. ბარიუმის ცინკატში ბარიუმისა და თუთიის სწრაფად განსახლევის მეთოდი 35

6. გ. ციციშვილი (საქართველოს სსრ მეცნ. აკადემიის წევრ-კორესპონდენტი) და დ. ბარნაბიშვილი. ძმრისა და სტეარინის მჟავების სორბცია გუმბრინსა და ასკანთიხზე 41

ნიადაგმცოდნეობა

7. ა. გოგატიშვილი. მასალები ჭარბმანგანუმიანი ნიადაგების შესწავლისათვის 47

ენტომოლოგია

8. ს. ქარუშიძე და გ. გეგენავა. სულფიტ-სპირტის დურდოს კონცენტრატების გამოყენება ნავთობის ზეთის ემულსიების დასამზადებლად 55

ექსპერიმენტული მედიცინა

9. გ. ბახტაძე. შროშანას მოქმედ საწყისთა კუჭ-ნაწლავის ტრაქტში დაშლის საკითხისათვის 61

ენათმეცნიერება

10. ალ. ლეკიაშვილი. არაბულ ძირთა ისტორიიდან 69

ისტორია

11. თ. ყაუხჩიშვილი. ბიჭვინტის მოხაიკის ბერძნული წარწერა 73

524
1055

საქართველოს სსრ
მეცნიერებათა აკადემიის
მ თ ა მ ბ ე

ტომი XVI

ძიებითარი, ქართული გამომცემი

1955



5999
6665



ი. ჭარცივაძე

ინტეგრალთა გადასმის ერთი ფორმულის შესახებ

(წარმოადგინა აკადემიკოსმა ნ. მუსხელიშვილმა 9.6.1954)

ნაშრომში გამოყვანილია გადასმის რამდენიმე ფორმულა განმეორებითი ინტეგრალებისათვის, რომელთაგან ერთ-ერთი კოშის მთავარი მნიშვნელობით განიხილება.

$H(x, t)$ ნებისმიერ, ისეთ ზომად (საზოგადოდ კომპლექსურ) ფუნქციას აღნიშნავს, რომელიც $0 \leq x \leq 2\pi$, $0 \leq t \leq 2\pi$ კვადრატზე აკმაყოფილებს პირობას.

$$\int_0^{2\pi} \int_0^{2\pi} |H(x, t)|^q dx dt < +\infty \quad (q > 1); \quad (1)$$

თუ $\varphi(x)$ ფუნქცია $L_p(0, 2\pi)$ სივრცეს ეკუთვნის, სადაც

$$\frac{1}{p} + \frac{1}{q} = 1,$$

მაშინ ადგილი აქვს შემდეგ ტოლობებს:

$$\int_0^{2\pi} H(x, t) dt \int_0^{2\pi} \varphi(s) \operatorname{ctg} \frac{t-s}{2} ds = \int_0^{2\pi} \varphi(s) ds \int_0^{2\pi} H(x, t) \operatorname{ctg} \frac{t-s}{2} dt, \quad (2)$$

$$\int_0^{2\pi} \operatorname{ctg} \frac{x-s}{2} ds \int_0^{2\pi} H(s, t) \varphi(t) dt = \int_0^{2\pi} \varphi(t) dt \int_0^{2\pi} \operatorname{ctg} \frac{x-s}{2} H(s, t) ds, \quad (3)$$

ამასთან ამ ტოლობის თითოეული მხარე არსებობს $(0, 2\pi)$ -ინტერვალის თითქმის ყოველ x წერტილში და $L_q(0, 2\pi)$ სივრცეს ეკუთვნის.

დამტკიცების მიზნით აღვნიშნოთ

$$H_1(x, t) = \int_0^{2\pi} H(x, s) \operatorname{ctg} \frac{s-t}{2} ds, \quad H_2(x, t) = \int_0^{2\pi} \operatorname{ctg} \frac{x-s}{2} H(s, t) ds$$

და განვიხილოთ შემდეგი ოპერატორები:

$$Hf \equiv \int_0^{2\pi} H(x, t) f(t) dt, \quad H_1 f \equiv \int_0^{2\pi} H_1(x, t) f(t) dt,$$

$$H_2 f \equiv \int_0^{2\pi} H_2(x, t) f(t) dt,$$

$$Qf \equiv \int_0^{2\pi} \operatorname{ctg} \frac{x-s}{2} f(s) ds.$$

მაშინ დასამტკიცებელი (2) და (3) ტოლობა შეიძლება ასე ჩაიწეროს:

$$HQ\varphi = H_1\varphi, \quad QH\varphi = H_2\varphi, \quad (4)$$

ამასთან, ტოლობანი გვესმის როგორც ელემენტთა ტოლობა $L_q(0, 2\pi)$ სივრცეში.

აღნიშნოთ $L_p(0, 2\pi)$ სივრცის f ელემენტის ნორმა, როგორც ჩვეულებრივ,

$$\|f\|_p = \left\{ \int_0^{2\pi} |f(t)|^p dt \right\}^{\frac{1}{p}}$$

სიმბოლოთი და შემოვიღოთ აგრეთვე აღნიშვნა:

$$M_q(H) = \left\{ \int_0^{2\pi} \int_0^{2\pi} |H(x, t)|^q dx dt \right\}^{\frac{1}{q}}.$$

დავამტკიცოთ, რომ $H_1(x, t)$ და $H_2(x, t)$ ფუნქციები $H(x, t)$ -სთან ერთად აკმაყოფილებენ (1) პირობას და რომ ადგილი აქვს უტოლობებს:

$$M_q(H_1) \equiv A_q \cdot M_q(H), \quad M_q(H_2) \equiv A_q \cdot M_q(H), \quad (5)$$

სადაც A_q გარკვეული, H ფუნქციისაგან დამოუკიდებელი, მუდმივია.

მართლაც, $H(x, s)$ ფუნქციისაგან შესრულებული (1) უტოლობიდან გამომდინარეობს, რომ $(0, 2\pi)$ ინტერვალის თითქმის ყველა x -სათვის, ფუნქცია $H(x, s)$, როგორც s ცვლადის ფუნქცია, ეკუთვნის $L_q(0, 2\pi)$ სივრცეს. E აღნიშნავდეს ყველა იმ $x \in (0, 2\pi)$ წერტილების სიმრავლეს ($\operatorname{mes} E = 2\pi$), რომელთათვისაც

$$\int_0^{2\pi} |H(x, s)|^q ds < +\infty.$$

მაშინ, მ. რისის ცნობილი თეორემის თანახმად (იხ. მაგ. [1]), შეიძლება დავასკვნათ, რომ $H_1(x, t)$ (x ფიქსირებულია და ეკუთვნის E -ს, $0 \leq t \leq 2\pi$) ელემენტის ნორმა აკმაყოფილებს უტოლობას

$$\int_0^{2\pi} |H_1(x, t)|^q dt \equiv A_q^q \int_0^{2\pi} |H(x, s)|^q ds,$$

სადაც A_q გარკვეული (H -საგან დამოუკიდებელი) მუდმივია (Qf ოპერატორის ნორმა L_q სივრცეში).

უკანასკნელი უტოლობის ინტეგრებით x -ის მიმართ E სიმრავლეზე, მივიღებთ პირველს (5) უტოლობათაგან, თუ გავიხსენებთ, რომ $\text{mes } E = 2\pi$.

მეორე (5) უტოლობათაგან სავსებით ანალოგიურად მტკიცდება.

შეენიშნოთ ახლა, რომ Hf, H_1f, H_2f ოპერატორები წრფივი და შემოსაზღვრულია $L_p(0, 2\pi)$ სივრცეში და ისინი ამ სივრცეს ასახავენ $L_q(0, 2\pi)$ სივრცეში, ამასთან ამ ოპერატორთა საზღვრებს $M_q(H), M_q(H_1), M_q(H_2)$ რიცხვები წარმოადგენენ სათანადოდ. ასე მაგალითად, თუ $f \in L_p(0, 2\pi)$ და

$$\psi(x) = Hf \equiv \int_0^{2\pi} H(x, t) f(t) dt,$$

გვაქვს:

$$\begin{aligned} \|\psi\|_q &= \left\{ \int_0^{2\pi} |\psi(x)|^q dx \right\}^{\frac{1}{q}} = \left\{ \int_0^{2\pi} dx \left| \int_0^{2\pi} H(x, t) f(t) dt \right|^q \right\}^{\frac{1}{q}} \\ &\equiv \left\{ \int_0^{2\pi} dx \int_0^{2\pi} |H(x, t)|^q dt \left(\int_0^{2\pi} |f(t)|^q dt \right)^{\frac{q-1}{q}} \right\}^{\frac{1}{q}} = M_q(H) \cdot \|f\|_p. \end{aligned} \quad (6)$$

გავითვალისწინებთ რა ტოლობას $Q(e^{ikx}) = -2\pi i \cdot \text{sgn } k \cdot e^{ikx}$ ყოველი მთელი k -სათვის (იხ. მაგ. [2]) და აგრეთვე e^{ikx} ($\pm k = 0, 1, 2, \dots$) ფუნქციათა ორთოგონალობის თვისებებს, ადვილი სანახავია (2) და (3) ფორმულების სამართლიანობა, როცა $\varphi_m(t)$ ნებისმიერი ტრიგონომეტრიული პოლინომია, ხოლო $H(x, t)$ გულს აქვს შემდეგი კერძო სახე:

$$H(x, t) = \sum_{k=-\alpha}^{+\beta} \sum_{r=-\alpha'}^{+\beta'} \gamma_{kr} e^{ikx} e^{ir t}. \quad (7)$$

გავიხსენოთ ახლა (იხ. მაგ. [1], თავი VIII, პ. 7.3), რომ e^{ikx} ($\pm k = 0, 1, \dots$) ფუნქციათა სისტემა $L_p(0, 2\pi)$ სივრცის ბაზისს წარმოადგენს და, მაშასადამე, ყოველ $\varphi(t) \in L_p(0, 2\pi)$ ფუნქციას შეიძლება L_p სივრცის ნორმის აზრით მიეუახლოვდეთ $\varphi_m(x)$ ტრიგონომეტრიული პოლინომებით. დავწერთ რა (4) ფორმულებს (7) კერძო სახის გულისა და $\varphi_m(x)$ ფუნქციებისათვის, ზღვარზე გადასვლით, როცა $m \rightarrow \infty$, მივიღებთ (4) ტოლობებს ნებისმიერი $\varphi \in L_p(0, 2\pi)$ ფუნქციისა და (7) კერძო სახის $H(x, t)$ გულისათვის, რადგან Q, H, H_1, H_2 უწყვეტი ოპერატორებია.

ახლა დავგრჩენია ვაჩვენოთ (4) ფორმულების სამართლიანობა ისეთი ნებისმიერი $H(x, t)$ გულისათვის, რომელიც (1) პირობას აკმაყოფილებს.

ამ მიზნით ავაგოთ (7) სახის ფუნქციათა ისეთი $\{H^{(n)}(x, t)\}$ მიმდევრობა, რომ

$$M_q(H - H^{(n)}) = \left\{ \int_0^{2\pi} \int_0^{2\pi} |H(x, t) - H^{(n)}(x, t)|^q dx dt \right\}^{\frac{1}{q}} \rightarrow 0,$$

როცა $n \rightarrow \infty$. ასეთი მიმდევრობა, ცხადია, არსებობს.
 მაშინ, თუ აღვნიშნავთ

$$H_1^{(n)}(x, t) = \int_0^{2\pi} H^{(n)}(x, s) \operatorname{ctg} \frac{s-t}{2} ds,$$

$$H_2^{(n)}(x, t) = \int_0^{2\pi} \operatorname{ctg} \frac{x-s}{2} H^{(n)}(s, t) ds, \quad H^{(n)} f \equiv \int_0^{2\pi} H^{(n)}(x, t) f(t) dt,$$

$$H_j^{(n)} f \equiv \int_0^{2\pi} H_j^{(n)}(x, t) f(t) dt \quad (j = 1, 2)$$

შევე დამტკიცებულის თანახმად, ყოველი $\varphi(t) \in L_p(0, 2\pi)$ ფუნქციისათვის გვექნება ტოლობები:

$$H^{(n)} Q\varphi = H_1^{(n)} \varphi, \quad QH^{(n)} \varphi = H_2^{(n)} \varphi, \quad (8)$$

სადაც φ და $Q\varphi$, აშკარაა, $L_p(0, 2\pi)$ სივრცეს ეკუთვნის.

ვთქვათ, $\psi(x)$ აღნიშნავს $L_p(0, 2\pi)$ სივრცის ნებისმიერ ფუნქციას.
 (6) უტოლობის გამო გვაქვს

$$\|H\psi - H^{(n)}\psi\|_q \leq M_q(H - H^{(n)}) \cdot \|\psi\|_p,$$

ხოლო (6) და (5) უტოლობებიდან გამოგყავს

$$\|H_j\psi - H_j^{(n)}\psi\|_q \leq A_q \cdot M_q(H - H^{(n)}) \cdot \|\psi\|_p, \quad (j = 1, 2)$$

აქედან, გავიხსენებთ რა, რომ $M_q(H - H^{(n)}) \rightarrow 0$ როცა $n \rightarrow \infty$, დავასკვნით $H^{(n)}\psi$ და $H_j^{(n)}\psi$ ($j = 1, 2$) მიმდევრობათა კრებადობას, სათანადოდ $H\psi$ და $H_j\psi$ ($j = 1, 2$) ფუნქციებისაკენ, L_q სივრცეში.

ამიტომ, ზღვარზე გადასვლით (8) ტოლობებში, როცა $n \rightarrow \infty$ მივიღებთ (4) ფორმულებს ზოგად შემთხვევაში.

ანალოგიურად შეიძლება დამტკიცდეს, რომ (2), (3) ტოლობები სა-
 მართლიანია თითქმის ყველა $x \in (0, 2\pi)$ წერტილში, თუ
 $\varphi(t) \in L_p(0, 2\pi)$, ხოლო $H(x, t)$ ფუნქცია აკმაყოფილებს პი-
 რობას

$$\int_0^{2\pi} dx \left(\int_0^{2\pi} |H(x, t)|^p dt \right)^{\frac{q}{p}} < +\infty. \quad (1')$$

(2) და (3) ტოლობის ორივე მხარე ასეთ შემთხვევაში კვლავ არსებობს თითქმის ყველა $x \in (0, 2\pi)$ წერტილში, მხოლოდ ახლა ისინი $L_p(0, 2\pi)$ სივრცის ელემენტებია.

იმისათვის რომ ზემომოყვანილი დამტკიცება გამოიყენებოდეს ჩვენს ახალ შემთხვევაშიც, უნდა ვაჩვენოთ, რომ ყოველი ისეთი $H(x, t)$ ფუნქციისათვის, რომელიც აკმაყოფილებს (1') პირობას, შეიძლება ვიპოვოთ (7) სახის ფუნქციათა ისეთი $\{H^{(n)}(x, t)\}$ მიმდევრობა, რომ

$$\lim_{n \rightarrow \infty} M'(H - H^{(n)}) = 0.$$

მოგვეყავს ამ გარემოების დამტკიცება: მაშასადამე, $H(x, t)$ ისეთი ფუნქციაა, რომ $M'(H) < +\infty$. აღვნიშნოთ $f_N(x, t)$ -თი შემდეგი სახის ფუნქცია:

$$f_N(x, t) = \begin{cases} H(x, t), & \text{თუ } |H(x, t)| \leq N, \\ 0, & \text{თუ } |H(x, t)| > N. \end{cases}$$

აშკარაა, რომ $|H(x, t) - f_N(x, t)|$ სხვაობა N -ის ზრდასთან ერთად კლებადია და $[0, 2\pi; 0, 2\pi]$ კვადრატის თითქმის ყოველ წერტილში მინუსწრაფვის ნულისაკენ, როცა $N \rightarrow \infty$. ამიტომ თითქმის ყველა $x \in (0, 2\pi)$ წერტილში (სახელდობრ, ისეთ x წერტილში, რომელშიაც $H(x, t) \in L_p(0, 2\pi)$ t -ს მიმართ), გვექნება:

$$\lim_{N \rightarrow \infty} \int_0^{2\pi} |H(x, t) - f_N(x, t)|^p dt = 0,$$

ამასთან, ნულისაკენ მისწრაფება ხდება კლებით, როცა N იზრდება.

ამის გამო, ადვილად დავასკვნით, რომ

$$\lim_{N \rightarrow \infty} \int_0^{2\pi} dx \left(\int_0^{2\pi} |H(x, t) - f_N(x, t)|^p dt \right)^{\frac{q}{p}} = 0.$$

ამგვარად, მოცემული $\varepsilon > 0$ რიცხვისათვის შეიძლება ვიპოვოთ ისეთი შემოსაზღვრული $f_N(x, t)$ ფუნქცია ($|f_N| \leq N$), რომ

$$M'(H - f_N) < \varepsilon. \quad (9)$$

ავიჩინოთ ახლა ნებისმიერად მცირე $\eta > 0$ რიცხვი და ვიპოვოთ $[0, 2\pi; 0, 2\pi]$ კვადრატზე ისეთი უწყვეტი და 2π პერიოდით პერიოდული, როგორც x , ისე t ცვლადების მიმართ, $\varphi(x, t)$ ფუნქცია, რომ

$$\left. \begin{aligned} \text{mes } E(|f_N - \varphi| \geq \varepsilon_1) &< \eta^{(1)} \\ |f_N - \varphi| &\leq 2N, \quad ((x, y) \in [0, 2\pi; 0, 2\pi]). \end{aligned} \right\} \quad (10)$$

აღვნიშნოთ E_1 -ით $[0, 2\pi; 0, 2\pi]$ კვადრატის იმ (x, y) წერტილთა სიმრავლე, რომლებშიაც $|f_N - \varphi| < \varepsilon_1$ უტოლობა შესრულებული არაა. (10) პირობათა ძალით გვაქვს: $\text{mes } E_1 < \eta$. აღვნიშნოთ E^* -ით E_1 სიმრავლის პრო-

(¹ $\text{mes } E$ აქ აღნიშნავს E სიმრავლის ბრტყელ ზომას.)

ექცია აბსცისათა ღერძზე. აღნიშნოთ $E_1(x_0)$ -ით E^* სიმრავლის გადაკვეთა $x=x_0$ წრფესთან. გარდა ამისა, აღნიშნოთ CE -თი $[0, 2\pi]$ სეგმენტზე მოთავსებული ნებისმიერი E სიმრავლის დამატება ამ სეგმენტამდე. მაშინ გვაქვს:

$$[M'(f_N - \varphi)]^q = \int_{E^*} dx \left(\int_{E_1(x)} |f_N - \varphi|^p dt + \int_{CE_1(x)} |f_N - \varphi|^p dt \right)^{\frac{q}{p}} + \int_{CE^*} dx \left(\int_0^{2\pi} |f_N - \varphi|^p dt \right)^{\frac{q}{p}}.$$

გავითვალისწინოთ ახლა უტოლობა $(a + b)^\alpha \equiv 2^\alpha (a^\alpha + b^\alpha)$, $(a, b, \alpha > 0)$ და ჩვენი აღნიშვნები. მაშინ ადვილად ვღებულობთ:

$$[M'(f_N - \varphi)]^q \equiv 2^{\frac{q}{p}} \left\{ (2N)^q \int_{E^*} dx \left(\int_{E_1(x)} dt \right)^{\frac{q}{p}} + \varepsilon_1^q \int_{E^*} dx \left(\int_{CE_1(x)} dt \right)^{\frac{q}{p}} \right\} + \varepsilon_1^q \int_{CE^*} dx \left(\int_0^{2\pi} dt \right)^{\frac{q}{p}} \equiv A \int_{E^*} dx \left(\int_{E_1(x)} dt \right)^{\frac{q}{p}} + B \varepsilon_1^q, \quad (11)$$

სადაც A და B გარკვეული მუდმივებია.

თუ $\frac{q}{p} \equiv 1$, მაშინ

$$\begin{aligned} \int_{E^*} dx \left(\int_{E_1(x)} dt \right)^{\frac{q}{p}} &= (2\pi)^{\frac{q}{p}} \int_{E^*} dx \left(\frac{1}{2\pi} \int_{E_1(x)} dt \right)^{\frac{q}{p}} \equiv (2\pi)^{\frac{q}{p}} \int_{E^*} dx \left(\frac{1}{2\pi} \int_{E_1(x)} dt \right) \\ &= (2\pi)^{\frac{q}{p}-1} \iint_{E_1} dx dt < (2\pi)^{\frac{q}{p}-1} \cdot \eta. \end{aligned}$$

თუ ახლა $\frac{q}{p} < 1$, შემოვიღებთ რა აღნიშვნას

$$\chi(x) = \begin{cases} \int_{E_1(x)} dt, & \text{როცა } x \in E^*, \\ 0, & \text{,, } x \in CE^*, \end{cases}$$

გვექნება

$$\left\{ \int_{E^*} dx \left(\int_{E_1(x)} dt \right)^{\frac{q}{p}} \right\}^{\frac{p}{q}} = (2\pi)^{\frac{p}{q}} \left\{ \frac{1}{2\pi} \int_0^{2\pi} [\chi(x)]^{\frac{q}{p}} dx \right\}^{\frac{p}{q}}.$$

მაგრამ საშუალოთა ცნობილი თვისების ძალით (იხ. მაგ. [4], გვ. 173),

$$\left\{ \int_{E^*} dx \left(\int_{E_1(x)} dt \right)^{\frac{p}{q}} \right\}^{\frac{q}{p}} \equiv (2\pi)^{\frac{p}{q}} \cdot \frac{1}{2\pi} \int_0^{2\pi} \chi(x) dx$$

$$= (2\pi)^{\frac{p}{q}} \int_{E^*} dx \int_{E_1(x)} dt < (2\pi)^{\frac{p}{q}} \cdot \eta;$$

ამგვარად, ყველა შემთხვევაში გვაქვს

$$\int_{E^*} dx \left(\int_{E_1(x)} dt \right)^{\frac{q}{p}} < L \cdot \eta^{\nu},$$

სადაც L გარკვეული მუდმივია, ხოლო

$$\nu = \min \left(1, \frac{q}{p} \right) > 0.$$

(11) უტოლობის ძალით, ახლახან ჩატარებული მსჯელობის საფუძველზე, ვღებულობთ:

$$[M'(f_N - \varphi)]^q < A_1 \cdot \eta^{\nu} + B \cdot \varepsilon_1^q,$$

სადაც A_1 და B გარკვეული მუდმივებია. ავირჩევთ რა შესაფერისად η -სა და ε_1 -ს, ჩვენ შეგვიძლია გამოვთქვათ შემდეგი დებულება: ყოველი $\varepsilon > 0$ რიცხვისათვის შეიძლება მოვძებნოთ ისეთი უწყვეტი და 2π პერიოდით პერიოდული $\varphi(x, y)$ ფუნქცია, რომ

$$M'(f_N - \varphi) < \varepsilon. \quad (12)$$

ახლა შეიძლება ვიპოვოთ (7) სახის ისეთი $H_0(x, t)$ ფუნქცია, რომ

$$M'(\varphi - H_0) < \varepsilon. \quad (13)$$

რადგან $M'(H)$ გამოსახულებას აქვს ნორმის ყველა თვისება (იხ. [3]), ამიტომ (9), (12), (13) უტოლობებიდან გამომდინარეობს, რომ ყოველი ისეთი $H(x, t)$ ფუნქციისათვის, რომელიც აკმაყოფილებს (1') პირობას, მოიძებნება (7) სახის ფუნქციათა ისეთი $\{H^{(n)}(x, t)\}$ მიმდევრობა, რომ

$$M'(H - H^{(n)}) \rightarrow 0, \text{ როცა } n \rightarrow \infty,$$

რის დამტკიცებაც გვსურდა.

გადასმის ანალოგიური ფორმულები სამართლიანია შეკრულ კონტურზე მოცემული კომპლექსური ინტეგრალისათვისაც. ვთქვათ, მაგალითად, C აღნიშნავს უწყვეტი სიმრუდის მქონე მარტივ, შეკრულ კონტურს. მაშინ, თუ $\varphi(t) \in L_p(C)$, ხოლო $H(x, t)$ ისეთია, რომ

$$\int_C ds_x \int_C |H(x, t)|^q d\sigma_t < +\infty \left(\text{ან } \int_C ds_x \left(\int_C |H(x, t)|^p d\sigma_t \right)^{\frac{q}{p}} < +\infty \right)$$

$$\left(p > 1, \frac{1}{p} + \frac{1}{q} = 1 \right),$$

თითქმის ყოველი $x \in C$ წერტილისათვის გვექნება:

$$\left. \begin{aligned} \int_C \frac{dt}{t-x} \int_C H(t, \sigma) \varphi(\sigma) d\sigma &= \int_C \varphi(\sigma) d\sigma \int_C \frac{H(t, \sigma) dt}{t-x}, \\ \int_C H(x, t) dt \int_C \frac{\varphi(\sigma) d\sigma}{\sigma-t} &= \int_C \varphi(\sigma) d\sigma \int_C \frac{H(x, t) dt}{\sigma-t}, \end{aligned} \right\} \quad (14)$$

ამასთან, ამ ტოლობის ორივე მხარე, როგორც x -ის ფუნქცია $L_q(C)$ (ან, სთანადოდ $L_p(C)$) სივრცის ფუნქციაა.

დამტკიცება მიიღება უშუალოდ, თუ C კონტურს აგსახავთ $t = t(s)$ ($t \in C$) დამოკიდებულებით $|\dot{\chi}| = 1$ წრეხაზზე ($\chi = e^{is}$), და თუ გავითვალისწინებთ (იხ. მაგ. [2]) დამოკიდებულებას

$$\frac{dt}{t-x} = \frac{1}{2} \operatorname{ctg} \frac{s-s_0}{2} ds + P(s, s_0) ds^{(1)}.$$

ამასთან უნდა გავითვალისწინოთ (2) და (3) ფორმულები და აგრეთვე ჩვეულებრივი განმეორებითი ინტეგრალების გადასმის წესები.

ბოლოს შევნიშნოთ, რომ (14) ფორმულები, როცა $\varphi(t) \in L_2(C)$ (მხოლოდ გაუტყვეველია, რა პირობებში $H(x, t)$ ფუნქციის მიმართ) გვხვდება მიხლინის შრომაში [2].

როცა $\varphi(t) \in L_p(C)$ ($p > 1$), მაგრამ $H(x, t)$ ჰელდერის პირობას აკმაყოფილებს, (14) ფორმულები ადრე დადგენილია ბ. ხვედელიძის მიერ [5].

საქართველოს სსრ მეცნიერებათა აკადემია

ა. რაზმაძის სახელობის

თბილისის მათემატიკის ინსტიტუტი

(რედაქციას მოუვიდა 9.6.1954)

დამოწმებული ლიტერატურა

1. А. Зигмунд. Тригонометрические ряды. М.—Л., 1939.
2. С. Г. Михлин. Сингулярные интегральные уравнения. УМН, т. III, в. 3, 1949.
3. E. Hille and J. D. Tamarkin. On the theory of linear integral equations. II. *Annals of Mathematics*, Vol. 35, № 3, 1934.
4. Харди, Литтлвуд, Полиа. Неравенства. Москва, 1948.
5. Б. В. Хведелидзе. Некоторые свойства особых интегралов в смысле главного значения Коши-Лебега. *Сообщения АН ГССР*, т. 8, № 5, 1947.

(¹ $p(s, s_0)$ ჩვენს პირობებში უწყვეტი ფუნქციაა s -სა და s_0 -ის მიმართ.



დრეკადობის თეორია

ს. ტარსანოვი

ცილინდრული გარსების რხევების საკუთრივ მნიშვნელობათა და
 საკუთრივ ფუნქციონირებას ანიშობილური ჟოგაპცევა

(წარმოადგინა აკადემიის ნამდვილმა წევრმა ი. ვეკუამ 3.8.1954)

1. ამ სტატიაში გამოყვანილ იქნება კარლემანის მეთოდით [4, 5] ასიმპტოტური ფორმულები საკუთრივი მნიშვნელობებისა და საკუთრივი ფუნქციონირებისათვის წრიული ცილინდრული გარსის სტაციონარული რხევების განტოლებათა სისტემისა

$$\mathcal{L}U = 0 \quad (1)$$

სასაზღვრო პირობებით

$$u = 0, v = 0, w = 0, \frac{\partial w}{\partial \nu} = 0 \quad L\text{-ზე.} \quad (2)$$

U ვექტორ-ფუნქციაა კომპონენტებით $u, v, w: U = (u, v, w)$, L საზღვარია D არისა—გარსის შუაზედაპირისა, ν — L -ის ნორმალი, \mathcal{L} მატრიცული ოპერაცია ელემენტებით k_{ij} ⁽¹⁾.

ამ განტოლებებში გათვალისწინებულია ინერციის ძალების მომენტები, რომელთაც ჩვეულებრივ უკუღვებელყოფენ ხოლმე. როგორც გვიჩვენებენ ასიმპტოტური ფორმულები, მათი უგულებელყოფა საზოგადოდ არ შეიძლება, განსაკუთრებით მაშინ, როცა საქმე გვაქვს დიდი სიხშირის რხევებთან. ვიგულისხმებთ, რომ D შემოსაზღვრული არეა, ხოლო L —ერთობლიობა უბან-უბან გლუვი წირების უკუქცევის წერტილების გარეშე, რომელთაც უბან-უბან უწყვეტი სიმრუდე აქვთ.

მოვიყვანთ ორ ფორმულას დამტკიცების გარეშე:

$$\Phi[U_1; U_2] - \lambda F[U_1; U_2] + \iint_D U_2(p) \mathcal{L}U_1(p) dx dy = \int_L N^\lambda[U_1(p); U_2(p)] ds, \quad (3)$$

$$\begin{aligned} & \iint \{U_1(p) \mathcal{L}U_2(p) - U_2(p) \mathcal{L}U_1(p)\} dx dy \\ & = \int_L \{N^\lambda[U_1(p); U_2(p)] - N^\lambda[U_2(p); U_1(p)]\} ds. \end{aligned} \quad (4)$$

2. აღვნიშნოთ Z_{ij} -თი აღგებრული დამატება k_{ij} -სა. ვთქვათ, K დეტერმინანტია l^0 მატრიცისა და $A(p, q)$ —ელემენტარული ამოხსნა განტოლებისა (იხ. [2], გვ. 189):

$$KA = 0.$$

(¹ k_{ij} -ს და სხვა აღნიშვნათა შესახებ იხ. [7].

(1) სისტემის (როცა $\lambda = 0$) მატრიცულ ელემენტარულ ამოხსნას ვუწოდებთ მატრიცს:

$$T(p, q) = \|T_{ij}(p, q)\|,$$

$$T_{ij}(p, q) = \frac{3}{h^2 (b+c)^2 b} Z_{ji} A(p, q).$$

$A(p, q)$ ფუნქციის თვისებათა საფუძველზე შეიძლება ვაჩვენოთ, რომ, როცა $r_{pq} \equiv r_0$ (r_{pq} მანძილია p და q წერტილებს შორის), ადგილი აქვს შეფასებებს:

$$T_{ij}(p, q) = O(|\log r_{pq}|), \quad \frac{\partial^{k+l}}{\partial x^k \partial y^l} T_{ij}(p, q) = O(r_{pq}^{-k-l}) \quad (i, j = 1, 2) \quad (5)$$

$$\frac{\partial^{k+l}}{\partial x^k \partial y^l} T_{3i}(p, q) = \frac{\partial^{k+l}}{\partial x^k \partial y^l} T_{i3}(p, q) = \begin{cases} O(1), & l+k \equiv 2 \\ O(|\log r_{pq}|), & l+k = 3 \\ O(r_{pq}^{-1}), & l+k = 4 \\ O(r_{pq}^{-2}), & l+k = 5 \end{cases} \quad (6)$$

$$\frac{\partial^{k+l}}{\partial x^k \partial y^l} T_{33}(p, q) = \begin{cases} O(1), & l+k \equiv 1 \\ O(|\log r_{pq}|), & l+k = 2 \\ O(r_{pq}^{-2k-l}), & 3 \equiv l+k. \end{cases} \quad (7)$$

ვთქვათ, $G(p, q)$ გრინის მატრიცია (1) სისტემისა, როცა $\lambda = 0$, რომელიც შეესაბამება (2) სასაზღვრო პირობებს, ამასთან $G_{ij}(p, q)$ მატრიცის ელემენტებს აქვთ სახე:

$$G_{ij}(p, q) = T_{ij}(p, q) - \gamma_{ij}(p, q).$$

გრინის მატრიცის არსებობა შეიძლება დავამტკიცოთ [3]-ის მიხედვით. შემდგომში რაიმე W მატრიცის k -ური სვეტს აღვნიშნავთ $W^{(k)}$ -ით.

გამოვიყენებთ რა (3), (4) ფორმულებს, ისევე როგორც [5]-ში, ადვილად ვაჩვენებთ, რომ

$$- \int_L N_q^0 [T^{(k)}(q', q)] ds' \equiv \gamma_{kk}(q, q) \equiv \iint_{C_q} \overline{T^{(k)}} l_q^0 \overline{T^{(k)}}(q', q) \partial \xi^i \partial \eta^j. \quad (8)$$

აქ C_q δ_q რადიუსიანი წრეა ცენტრით q წერტილში, δ_q მანძილია q წერტილიდან L -ამდე, N_q^0 , l_q^0 აღნიშნავს, რომ N^0 და l^0 -ში წარმოებულები აიღება q' წერტილის კოორდინატებით, $\overline{T^{(k)}}$ k -ური სვეტია მატრიცისა:

$$\overline{T}(p, q) = \left[I - \left(I - \frac{r_{pq}^m}{\rho_q^m} \right)^n \right] T(p, q),$$

სადაც $\rho_q = \max(r_{pq}, \delta_q)$, m და n მთელი რიცხვებია, რომლებსაც ისეთნაირად შევარჩევთ, რომ $\overline{T}(p, q)$ მატრიცის ელემენტებს ჰქონდეთ წარმოებულები საჭირო რიგამდე.

(8) უტოლობიდან, (5), (6) და (7) საფუძველზე, მივიღებთ:

$$\gamma_{ii}(q, q) = O(\delta_q^{-1-\varepsilon}) \quad (i = 1, 2), \quad \gamma_{33}(q, q) = O(\delta_q^{-\varepsilon}). \quad (9)$$



ანალოგიურად შეიძლება მივიღოთ:

$$\lim_{p \rightarrow q} \frac{\partial^2 \gamma_{33}(p, q)}{\partial x \partial \xi} = O(\delta_q^{-1-\varepsilon}), \quad \lim_{p \rightarrow q} \frac{\partial^2 \gamma_{33}(p, q)}{\partial y \partial \eta} = O(\delta_q^{-1-\varepsilon}). \quad (10)$$

(9), (10) ფორმულებში, ისევე როგორც შემდგომ, $\varepsilon > 0$ რაინდ მცირე რიცხვია.

3. შემდგომში ჩვენ ღაგვჭირდება ვიცოდეთ (1) სისტემის ელემენტარული ამოხსნის ყოფაქცევა λ -ს აბსოლუტურად დიდი უარყოფითი მნიშვნელობისათვის.

(1) სისტემის მატრიცული ელემენტარული ამოხსნა $\lambda = -\mu^2$ -სათვის ვეძებთ შემდეგი სახით:

$$T(p, q; -\mu^2) = \Psi(p, q; -\mu^2) + \iint_D \Psi(p, q'; -\mu^2) W(q', q; -\mu^2) d\xi' d\eta', \quad (11)$$

სადაც W საძიებელი მატრიცია W_{ij} ელემენტებით, Ψ —მოცემული მატრიცია:

$$\psi_{11}(p, q; -\mu^2) = \frac{1}{2\pi\mu^2} \frac{\partial^2}{\partial x^2} K_0\left(\frac{\mu r_{pq}}{\sqrt{b+c}}\right) + \frac{1}{2\pi\mu^2} \frac{\partial^2}{\partial y^2} K_0\left(\frac{\mu r_{pq}}{\sqrt{b}}\right),$$

$$\psi_{22}(p, q; -\mu^2) = \frac{1}{2\pi\mu^2} \frac{\partial^2}{\partial y^2} K_0\left(\frac{\mu r_{pq}}{\sqrt{b+c}}\right) + \frac{1}{2\pi\mu^2} \frac{\partial^2}{\partial x^2} K_0\left(\frac{\mu r_{pq}}{\sqrt{b}}\right),$$

$$\psi_{12}(p, q; -\mu^2) = \psi_{21}(p, q; -\mu^2) = \frac{1}{2\pi\mu^2} \frac{\partial^2}{\partial x \partial y} \left[K_0\left(\frac{\mu r_{pq}}{\sqrt{b+c}}\right) - K_0\left(\frac{\mu r_{pq}}{\sqrt{b}}\right) \right],$$

$$\psi_{33}(p, q; -\mu^2) = \frac{1}{h^2(b+c)} \left\{ R(p, q; -\mu^2) - \frac{3\mu^4}{2\pi\mu^2(b+c)^2(\alpha_1 - \alpha_2)} \times \right. \\ \left. \times \iint_{D_*} \left[\frac{1}{\alpha_2} K_0(\sqrt{\alpha_1} r_{pq'}) - \frac{1}{\alpha_1} K_0(\sqrt{\alpha_2} r_{pq'}) \right] R(q', q; -\mu^2) d\xi' d\eta' \right\},$$

$$\psi_{31} = \psi_{13} = \psi_{23} = \psi_{32} = 0,$$

სადაც

$$\alpha_1 = \frac{\mu^2}{2(b+c)} + \sqrt{\frac{\mu^4}{4(b+c)^2} - \frac{3\mu^2}{h^2(b+c)}},$$

$$\alpha_2 = \frac{\mu^2}{2(b+c)} - \sqrt{\frac{\mu^4}{4(b+c)^2} - \frac{3\mu^2}{h^2(b+c)}},$$

$$R(p, q; -\mu^2) = \frac{1}{4\pi i x} \left[K_0(\sqrt{x} r_{pq} e^{-i\frac{\pi}{4}}) - K_0(\sqrt{x} r_{pq} e^{-i\frac{\pi}{4}}) \right],$$

$$x = \mu \sqrt{\frac{3}{h^2(b+c)}},$$

$K_n(y)$ წარმოსახვითი არგუმენტის ბესელის ფუნქციაა მეორე გვარისა, D_* — არე, რომელიც შეიცავს D არეს, ამასთან მანძილი D არის წერტილებიდან D_* არის საზღვრამდე მეტია, ვიდრე $\rho > 0$.

თუ ჩავსვამთ $T(p, q; -\mu^2)$ მატრიცის k -ურ სვეტს (1)-ში, ცხადი გარდაქმნების შედეგად მივიღებთ, რომ $W_{ik}(p, q; -\mu^2)$ ($i = 1, 2$) ფუნქციები გამოისახებიან $W_{3k}(p, q; -\mu^2)$ საშუალებით, უკანასკნელი კი აკმაყოფილებს ინტეგრალურ განტოლებას, რომელსაც μ^2 -ის დიდი მნიშვნელობებისათვის ერთადერთი ამოხსნა აქვს. $K_n(y)$ ფუნქციის ასიმპტოტიური შეფასებების გამოყენებით შეიძლება ვაჩვენოთ, რომ, როცა $0 < \mu_0 \leq \mu \leq \infty$, $0 \leq r_{pq} \leq r_0$ ადგილი აქვს შეფასებებს:

$$\frac{\partial^{l+m}}{\partial x^l \partial y^m} T_{ij}(p, q; -\mu^2) = \begin{cases} O\left(|\log \mu r_{pq}| e^{-\mu \frac{r_{pq}}{\sqrt{b+c}}} + \mu^{-3}\right), & l+m=0, \\ O\left(r_{pq}^{-1} e^{-\mu \frac{r_{pq}}{\sqrt{b+c}}} + \mu^{-2}\right), & l+m=1 \end{cases} \quad (12)$$

$$\frac{\partial^{l+m}}{\partial x^l \partial y^m} T_{3i}(p, q; -\mu^2) = \begin{cases} O\left(\mu^{-2} e^{-\sqrt{\frac{x}{2}} r_{pq}} + \mu^{-3}\right), & l+m=0 \\ O\left(\mu^{-\frac{2}{3}} e^{-\sqrt{\frac{x}{2}} r_{pq}} + \mu^{-\frac{5}{2}}\right), & l+m=1 \\ O\left(\mu^{-\frac{1}{2}} e^{-\sqrt{\frac{x}{2}} r_{pq}} + \mu^{-2}\right), & l+m=2 \\ O\left(|\log r_{pq}| e^{-\sqrt{\frac{x}{2}} r_{pq}} + \mu^{-2}\right), & l+m=3 \end{cases} \quad (13)$$

$$\frac{\partial^{l+m}}{\partial \xi^{s'} \partial x^s \partial \eta^{\sigma'} \partial y^\sigma} T_{is}(p, q; -\mu^2) =$$

$s' + s = l, \quad \sigma' + \sigma = m, \quad 0 \leq s' + \sigma' \leq 1$
 $i = 1, 2$

$$= \begin{cases} O\left(\mu^{-\frac{5}{2}} e^{-\sqrt{\frac{x}{2}} r_{pq}} + \mu^{-3}\right), & l+m=0 \\ O\left(\mu^{-\frac{3}{2}} e^{-\sqrt{\frac{x}{2}} r_{pq}} + \mu^{-\frac{5}{2}}\right), & l+m=1 \\ O\left(\mu^{-\frac{1}{2}} e^{-\sqrt{\frac{x}{2}} r_{pq}} + \mu^{-2}\right), & l+m=2, (s' = \sigma' = 1) \end{cases} \quad (14)$$

$$\frac{\partial^{l+m}}{\partial x^l \partial y^m} \left(\Delta_p - \frac{\mu^2}{b+c}\right) T_{3i}(p, q; -\mu^2) =$$

$i = 1, 2$

$$= \begin{cases} O\left(\mu^{-\frac{1}{2}} e^{-\sqrt{\frac{x}{2}} r_{pq}} + \mu^{-2}\right), & l+m=0 \\ O\left(|\log r_{pq}| e^{-\sqrt{\frac{x}{2}} r_{pq}} + \mu^{-2}\right), & l+m=1 \end{cases} \quad (15)$$

$$\frac{\partial^{l+m}}{\partial \xi^{s'} \partial x^s, \partial \eta^{\sigma'} \partial y^\sigma} T_{33}(p, q; -\mu^2) =$$

$$s' + s = l, \sigma + \sigma' = m, 0 \leq s' + \sigma' \leq l$$

$$= \begin{cases} O\left(\mu^{-2} e^{-\sqrt{\frac{\alpha}{2}} r_{pq}} + \mu^{-\frac{7}{2}}\right), l+m=0 \\ O\left(\mu^{-\frac{3}{2}} e^{-\sqrt{\frac{\alpha}{2}} r_{pq}} + \mu^{-\frac{5}{2}}\right), l+m=1 \\ O\left(|\log \sqrt{\alpha} r_{pq}| e^{-\sqrt{\frac{\alpha}{2}} r_{pq}} + \mu^{-3}\right), l+m=2 \\ O\left(r_{pq}^{-1} e^{-\sqrt{\frac{\alpha}{2}} r_{pq}} + \mu^{-\frac{5}{2}}\right), l+m=3 \\ O\left(r_{pq}^{-2} e^{-\sqrt{\frac{\alpha}{2}} r_{pq}} + |\log r_{pq}|\right), l+m=4, (s'+\sigma'=1) \end{cases} \quad (16)$$

$$\frac{\partial^{i+m}}{\partial \xi^{s'} \partial \eta^{\sigma'} \partial x^s \partial y^\sigma} \left(\Delta_p - \frac{\mu^2}{b+c}\right) T_{33}(p, q; -\mu^2) =$$

$$s' + s = l, \sigma' + \sigma = m, 0 \leq s' + \sigma' \leq l$$

$$= \begin{cases} O\left(|\log \sqrt{\alpha} r_{pq}| e^{-\sqrt{\frac{\alpha}{2}} r_{pq}} + 1\right), l+m=0 \\ O\left(r_{pq}^{-1} e^{-\sqrt{\frac{\alpha}{2}} r_{pq}} + 1\right), l+m=1 \\ O\left(r_{pq}^{-2} e^{-\sqrt{\frac{\alpha}{2}} r_{pq}} + 1\right), i+m=2, s'+\sigma'=1 \end{cases}$$

Δ_p აღნიშნავს, რომ Δ ოპერაცია აიღება p წერტილის კოორდინატებით.

ვთქვათ, $G(p, q; -\mu^2)$ (1) სასტემის გრინის მატრიცია $\lambda = -\mu^2$ -სათვის, რომელიც შეესაბამება (2) სასაზღვრო პირობებს. ამასთან

$$G_{ij}(p, q; -\mu^2) = T_{ij}(p, q; -\mu^2) - \gamma_{ij}(p, q; -\mu^2).$$

თუ გამოვიყენებთ ხერხს, რომელიც გამოყენებული იყო (9) შეფასებების მიხედვით, შეიძლება ვაჩვენოთ, რომ

$$\gamma_{kk}(p, q; -\mu^2) = O(\mu^{-1} \delta_q^{-1-\varepsilon}) \quad (k = 1, 2),$$

$$\gamma_{33}(p, q; -\mu^2) = O\left(\mu^{-\frac{3}{2}} \delta_q^{-1-\varepsilon}\right) \quad (17)$$

$$\lim_{p \rightarrow q} \frac{\partial^2 \gamma_{33}(p, q; -\mu^2)}{\partial x \partial \xi} = O\left(\mu^{-\frac{1}{2}} \delta_q^{-1-\varepsilon}\right),$$

$$\lim_{p \rightarrow q} \frac{\partial^2 \gamma_{33}(p, q; -\mu^2)}{\partial y \partial \eta} = O\left(\mu^{-\frac{1}{2}} \delta_q^{-1-\varepsilon}\right).$$

4. ვთქვათ, $U_n(u_n, v_n, w_n)$ საკუთრივი ფუნქციაა, λ_n —საკუთრივი მნიშვნელობა. ადგილი საჩვენებელია, რომ U_n აკმაყოფილებს განტოლებას

$$U_n = \lambda_n \iint_D \left\{ G(p, q; \lambda) U_n(q) + \frac{h^2}{3} \frac{\partial G^{(3)}(p, q)}{\partial \xi} \frac{\partial w_n(q)}{\partial \xi} + \frac{h^2}{3} \frac{\partial G^{(3)}(p, q)}{\partial \eta} \frac{\partial w_n(q)}{\partial \eta} \right\} d\xi d\eta. \quad (18)$$

გავიმეორებთ რა ფრედჰოლმის ინტეგრალურ განტოლებათა თეორიის მსჯელობებს, შეიძლება ვაჩვენოთ, რომ ადგილი აქვს გაშლის შემდეგ ფორმულებს:

$$G(p, q; \lambda) - G(p, q) = \lambda \sum_{k=1}^{\infty} \frac{1}{\lambda_k (\lambda_k - \lambda)} U_k(p) U_k(q), \quad (19)$$

$$\frac{\partial^2 G_{33}(p, q; \lambda)}{\partial x \partial \xi} - \frac{\partial^2 G_{33}(p, q)}{\partial x \partial \xi} = \lambda \sum_{k=1}^{\infty} \frac{1}{\lambda_k (\lambda_k - \lambda)} \frac{\partial w_k(p)}{\partial x} \frac{\partial w_k(q)}{\partial \xi}, \quad (20)$$

$$\frac{\partial^2 G_{32}(p, q; \lambda)}{\partial y \partial \eta} - \frac{\partial^2 G_{32}(p, q)}{\partial y \partial \eta} = \lambda \sum_{k=1}^{\infty} \frac{1}{\lambda_k (\lambda_k - \lambda)} \frac{\partial w_k(p)}{\partial y} \frac{\partial w_k(q)}{\partial \eta}, \quad (21)$$

5. გადავიღეთ ახლა ასიმპტოტური ფორმულების გამოყვანაზე. $\lambda = -\mu^2$ -სათვის ვვაქვს:

$$\lim_{p \rightarrow q} \{G_{11}(p, q; -\mu^2) - G_{11}(p, q)\} = -\frac{2b+c}{4\pi b(b+c)} \log \mu + \beta + \gamma_{11}(q, q) - \gamma_{11}(q, q; -\mu^2) + \gamma_{11}^*(q, q; -\mu^2) = F(q, \lambda), \quad (22)$$

სადაც β სავსებით გარკვეული მუდმივია,

$$\gamma_{11}^*(q, q; -\mu^2) = \lim_{p \rightarrow q} \iint_D \{ \psi_{11}(p, q'; -\mu^2) W_{11}(q', q; -\mu^2) + \psi_{12}(p, q'; -\mu^2) W_{21}(q', q; -\mu^2) \} d\xi' d\eta'.$$

მეორე მხრივ, (19)-დან გამომდინარეობს:

$$F(q, \lambda) = \lambda \sum_{k=1}^{\infty} \frac{u_k^2(q)}{\lambda_k (\lambda_k - \lambda)}. \quad (23)$$

გავყოთ (23)-ის ორივე მხარე λ^s -ზე და მოვახდინოთ ინტეგრება λ -თი $d-i\infty$ -დან $d+i\infty$, $0 < d < \lambda_1$. საკმაოდ დიდი $\text{Re } z$ -თვის გვქვინება:

$$\Phi(z) = \sum_{k=1}^{\infty} \frac{u_k^2(q)}{\lambda_k^z} = \frac{d^{1-z}}{2\pi} \int_{-\pi}^{\pi} F(q, d e^{i\theta}) e^{i(1-z)\theta} d\theta + \frac{\sin \pi z}{\pi} \int_d^{\infty} F(q, -\lambda) \frac{d\lambda}{\lambda^z}$$



$$= \frac{d^{1-\sigma}}{2\pi} \int_{-\pi}^{\pi} F(q, de^{i\theta}) e^{i(1-\sigma)\theta} d\theta + \frac{\sin \pi \chi}{\pi} \left\{ -\frac{2b+c}{8\pi b(b+c)} \frac{d^{1-\sigma} \log d}{\chi-1} \right. \quad (24)$$

$$\left. + (\beta + \gamma_{11}(q, q)) \frac{e^{1-\sigma}}{\chi-1} + \int_d^{\infty} \frac{\gamma_{11}^*(q, q; -\lambda) - \gamma_{11}(q, q; -\lambda)}{\lambda^{\sigma}} d\lambda \right\}$$

$$- \frac{2b+c}{8\pi b(b+c)} \frac{d^{1-\sigma}}{(\chi-1)^2} \frac{\sin \pi \chi}{\pi}.$$

(24)-დან იკვარის თეორემის (იხ. [6], გვ. 127) საფუძველზე გამო-
მდინარეობს, რომ

$$\sum_{k=1}^n u_k^2(q) \sim \frac{2b+c}{8\pi b(b+c)} \lambda_n. \quad (25)$$

ანალოგიურად

$$\sum_{k=1}^n v_k^2(q) \sim \frac{2b+c}{8\pi b(b+c)} \lambda_n, \quad (26)$$

$$\sum_{k=1}^n w_k^2(q) \sim \frac{\sqrt{3}}{4\pi h \sqrt{b+c}} \lambda_n^{\frac{1}{2}}, \quad (27)$$

$$\sum_{k=1}^n \left[\left(\frac{\partial w_k}{\partial \xi} \right)^2 + \left(\frac{\partial w_k}{\partial \eta} \right)^2 \right] \sim \frac{3}{8\pi h^2(b+c)} \lambda_n. \quad (28)$$

შემდეგ, გვაქვს

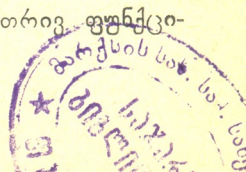
$$\sum_{k=1}^n \left\{ u_k^2(q) + v_k^2(q) + w_k^2(q) + \frac{h^2}{3} \left(\frac{\partial w_k}{\partial \xi} \right)^2 + \frac{h^2}{3} \left(\frac{\partial w_k}{\partial \eta} \right)^2 \right\} \frac{1}{\lambda_k^{\sigma}} \quad (29)$$

$$= \frac{d^{1-\sigma}}{2\pi} \int_{-\pi}^{\pi} F_1(q, de^{i\theta}) e^{i(1-\sigma)\theta} d\theta + \frac{\sin \pi \chi}{\pi} \int_d^{\infty} F_1(q, -\lambda) \frac{d\lambda}{\lambda^{\sigma}}.$$

სადაც, როცა $\lambda = -\mu^2$,

$$F(q, \lambda) = \lim_{q \rightarrow p} \left\{ \sum_{i=1}^3 [G_{ii}(p, q; -\mu^2) - G_{ii}(p, q)] + \frac{h^2}{3} \frac{\partial^2}{\partial x \partial \xi} [G_{33}(p, q; -\mu^2) - G_{33}(p, q)] + \frac{h^2}{3} \frac{\partial^2}{\partial y \partial \eta} [G_{33}(p, q; -\mu^2) - G_{33}(p, q)] \right\}, \quad (30)$$

თუ ვაინტეგრებთ (29) ტოლობის ორივე მხარეს, საკუთრივ ფუნქცი-
ათა ნორმირების ძალით, მივიღებთ:



$$\Phi_1(\chi) = \sum_{k=1}^{\infty} \frac{1}{\lambda_k^z} = \frac{d^{1-z}}{2\pi} \int_{-\pi}^{\pi} e^{i(1-z)\theta} \left(\iint_D F_1(q, de^{-i\theta}) d\xi d\eta \right) d\theta + \frac{\sin \pi z}{\pi} \iint_D \left(\int_d^{\infty} F_1(q, -\lambda) \frac{d\lambda}{\lambda^z} \right) d\xi d\eta. \quad (31)$$

(31)-დან, γ_n -სა და მისი წარმოებულების შეფასებების და იკვარის თეორემის ძალით, გვაქვს:

$$\lim_{n \rightarrow \infty} \frac{n}{\lambda_n} = \left(\frac{2b+c}{4\pi b(b+c)} + \frac{1}{8\pi(b+c)} \right) J,$$

სადაც J ფართობია D არისა.

შესაკრები $J/8\pi(b+c)$ წარმოიშობა ინერციის ძალების მომენტების გათვალისწინების შედეგად. მაშასადამე, თუ არ გავითვალისწინებთ ინერციის ძალების მომენტებს, გვექნება:

$$\lim_{n \rightarrow \infty} \frac{n}{\lambda_n^*} = \frac{2b+c}{4\pi b(b+c)} J.$$

აღვილი საჩვენებელია, რომ სხვაობა $\lambda_n^* - \lambda_n$ მეტია, ვიდრე $\frac{\lambda_n}{10}$.

საქართველოს სსრ მეცნიერებათა აკადემია

ა. რაზმაძის სანელობის

თბილისის მათემატიკის ინსტიტუტი

(რედაქციას მოუვიდა 3.7.1954)

დამოწმებული ლიტერატურა

1. И. Н. Векуа. К теории пологих оболочек. ДАН СССР, т. 68, № 3, 1949.
2. И. Н. Векуа. Новые методы решения эллиптических уравнений. М.—Л., 1948.
3. И. Н. Векуа. О решении граничных задач теории оболочек. Сообщения АН ГССР, т. XV, № 1, 1954.
4. T. Carleman. Propriétés asymptotiques des fonctions fondamentales des membrans vibrantes. Comptes Rendus des Mathématiciens Scandinaves á Stockholm. 14—18 Aout, 1934. p. 34—44. Lund, 1935.
5. Å. Pleijel. Propriétés asymptotiques des fonctions et valeurs propres des certains problems de vibrations. Arkiv för Matematik, Astronomi och Fysik. B. 27 A. № 13, 1940.
6. N. Wiener. The Fourier's integral and certain of its applications. Cambridge of the University press, 1933.
7. ს. ტერსენოვი. ცილინდრული გარსის რხევების საკუთრივ მნიშვნელობათა და საკუთრივ ფუნქციათა შესახებ. საქ. სსრ მეცნიერებათა აკადემიის მოამბე, ტ. XV, № 9, 1954.

დრეკადობის თეორია

გ. ხატიაშვილი

დატვირთული გვერდითი ზედაპირის მქონე შედგენილი ცილინდრული ძელის დრეკადი წონასწორობა პუასონის სხვადასხვა კოეფიციენტის შემთხვევაში⁽¹⁾

(წარმოადგინა აკადემიკოსმა ნ. მუსხელიშვილმა 23.9.1954)

ამოცანა დატვირთული გვერდითი ზედაპირის მქონე ერთგვეროვანი ცილინდრული ძელის დრეკადი წონასწორობის შესახებ ამოხსნილი იყო 1901—1902 წ. წ. ე. ალმანსისა [9] და ი. მიჩელის [10] მიერ. იგივე ამოცანა, როდესაც გვერდითი დატვირთვა ცილინდრის მსახველის გასწვრივ იცვლება, სხვა მეთოდით ამოხსნა გ. ჯანელიძემ [2].

ზემოთ დასახელებული ამოცანის ამოხსნა შედგენილი ცილინდრული ძელისათვის, როდესაც შემადგენელ მასალებს პუასონის ერთი და იგივე კოეფიციენტი აქვთ, მოცემულია ავტორის შრომებში [7,8].

წინამდებარე შრომაში მოცემულია შედგენილი ცილინდრული ძელის დრეკადი წონასწორობის ამოცანის ამოხსნა ზოგად შემთხვევაში, ე. ი. როდესაც შემადგენელ მასალებს პუასონის სხვადასხვა კოეფიციენტი აქვთ.

განვიხილოთ სხეული, შედგენილი რიგი პარალელური ძელებისაგან, რომელნიც ერთმანეთს არ ეხებიან და შემოსაზღვრული არიან ცილინდრული ზედაპირით. სივრცე ცილინდრულ ზედაპირსა და ძელებს შორის აგებულია დრეკადი გარემოთი, ცილინდრის მსახველები ძელების პარალელურია.

ასეთი ძელის xoy სიბრტყით კვეთა შედეგება $S_j (j=1, 2, \dots, m)$ არეებისაგან, რომელნიც შეესაბამებიან ძელებს, და S_0 არისაგან, რომელიც შეესაბამება შემოსაზღვრულ გარემოს. თუ L_j -ით ($j=1, 2, \dots, m$) აღვნიშნავთ S_j არეთა საზღვრებს, მაშინ S_0 არის საზღვარი იქნება L_1, L_2, \dots, L_{m+1} , სადაც უკანასკნელი შეიცავს ყველა დანარჩენს. მივიღოთ, რომ $L_j (j=1, 2, \dots, m+1)$ საკმაოდ გლუვი წირებია.

ქვემოთ ყველგან ნაგულისხმევია, რომ $L_j (j=1, 2, \dots, m+1)$ კონტურებზე შემოვლა ხდება საათის ისრის საწინააღმდეგოდ, ამასთანავე n ნორმალური ყოველთვის მარჯვნივაა მიმართული. კოორდინატთა სათავე მოვათავსოთ ერთ-ერთი ფუძის ინერციის „განზოგადებული ინერციის ცენტრში“, ox და oy ღერძები მივმართოთ იმავე ფუძის „ინერციის განზოგადებული მთავარი ღერძების“ გასწვრივ, oz ღერძი კი ცილინდრის მსახველის პარალელურად [1, 5]; მივიღოთ, რომ ძელზე მოქმედი მოცულობითი ძალები ნულის ტოლია.

(¹ ნაშრომში მიღებული შედეგები დაწვრილებით გამოქვეყნებული იქნება შემდეგში.

$\lambda_j, \mu_j, E_j, \sigma_j$ -ით ($j=1, 2, \dots, m$) აღნიშნოთ ძელების შესაბამისი დრეკადი მუდმივები, ხოლო $\lambda_0, \mu_0, E_0, \sigma_0$ -ით — შემომსაზღვრელი გარემოსი.

დავუშვათ, რომ შედგენილი ძელის გვერდით ზედაპირზე მოქმედი ძალების მდგენელები საკოორდინატო ღერძებზე შესაბამისად არიან $\tau_1(x, y)$, $\tau_2(x, y)$ და $\tau_3(x, y)$ და განესაზღვროთ შედგენილი ძელის დრეკადი წონასწორობა.

როგორც ცნობილია [1], დასმული ამოცანა შემდეგზე მიიყვანება: ვიპოვოთ ძაბვის $\tau_{11}, \tau_{22}, \dots, \tau_{23}$ კომპონენტები, რომელნიც სხეულის მიერ დაკავებულ მთელ არეში აკმაყოფილებენ წონასწორობის ერთგვაროვან განტოლებებს

$$\begin{aligned} \frac{\partial \tau_{11}}{\partial x} + \frac{\partial \tau_{12}}{\partial y} + \frac{\partial \tau_{13}}{\partial z} &= 0, \\ \frac{\partial \tau_{12}}{\partial x} + \frac{\partial \tau_{22}}{\partial y} + \frac{\partial \tau_{23}}{\partial z} &= 0, \\ \frac{\partial \tau_{13}}{\partial x} + \frac{\partial \tau_{23}}{\partial y} + \frac{\partial \tau_{33}}{\partial z} &= 0 \end{aligned} \quad (1)$$

და თავსებადობის ერთგვაროვან პირობებს:

$$\begin{aligned} \Delta \tau_{11} + \frac{1}{1+6} \frac{\partial^2 T}{\partial x^2} &= 0, & \Delta \tau_{12} + \frac{1}{1+6} \frac{\partial^2 T}{\partial x \partial y} &= 0, \\ \Delta \tau_{22} + \frac{1}{1+\sigma} \frac{\partial^2 T}{\partial y^2} &= 0, & \Delta \tau_{13} + \frac{1}{1+6} \frac{\partial^2 T}{\partial x \partial z} &= 0, \\ \Delta \tau_{33} + \frac{1}{1+6} \frac{\partial^2 T}{\partial z^2} &= 0, & \Delta \tau_{23} + \frac{1}{1+6} \frac{\partial^2 T}{\partial y \partial z} &= 0, \end{aligned} \quad (1.2)$$

სადაც

$$T = \tau_{11} + \tau_{22} + \tau_{33}$$

და

$$\Delta = \frac{\partial^2}{\partial x^2} + \frac{\partial^2}{\partial y^2} + \frac{\partial^2}{\partial z^2}.$$

ამასთანავე, საძიებელი ძაბვის კომპონენტები უნდა აკმაყოფილებდნენ შემდეგ სასაზღვრო პირობებს:

$$\begin{aligned} \tau_{11} \cos(n, x) + \tau_{12} \cos(n, y) &= \tau_1, \\ \tau_{12} \cos(n, x) + \tau_{22} \cos(n, y) &= \tau_2, \\ \tau_{13} \cos(n, x) + \tau_{23} \cos(n, y) &= \tau_3 \end{aligned} \quad (1.3)$$

გარე ზედაპირზე, ხოლო

$$\begin{aligned} [\tau_{11} \cos(n, x) + \tau_{12} \cos(n, y)]_j &= [\tau_1 \cos(n, x) + \tau_2 \cos(n, y)]_0 \\ [\tau_{12} \cos(n, x) + \tau_{22} \cos(n, y)]_j &= [\tau_2 \cos(n, x) + \tau_3 \cos(n, y)]_0, \\ [\tau_{13} \cos(n, x) + \tau_{23} \cos(n, y)]_j &= [\tau_3 \cos(n, x) + \tau_3 \cos(n, y)]_0, \end{aligned} \quad (1.4)$$

$$u_i = u_0, \quad v_j = v_0, \quad w_j = w_0 \quad (j=1, 2, \dots, m) \quad (1.5)$$

გამყოფ ზედაპირებზე, სადაც j და 0 არეთა ნომრებს აღნიშნავენ.



§ 2. განვიხილოთ $u(x, y)$ და $v(x, y)$ ფუნქციები, რომელნიც წარმოადგენენ შემდეგი დამხმარე ბრტყელი ამოცანის ამოხსნას [1]: u და v აკმაყოფილებენ ყოველ $S_j (j = 0, 1, \dots, m)$ არეში წონასწორობის განტოლებებს:

$$(\lambda + \mu) \frac{\partial \theta}{\partial x} + \mu \Delta u = 0, \quad (\lambda + \mu) \frac{\partial \theta}{\partial y} + \mu \Delta v = 0, \quad \left(\theta = \frac{\partial u}{\partial x} + \frac{\partial v}{\partial y} \right) \quad (2.1)$$

$L_j (j = 1, 2, \dots, m)$ წირებზე განიციდიან შემდეგი სახის წყვეტას

$$u_j - u_0 = g_j, \quad v_j - v_0 = h_j, \quad (j = 1, 2, \dots, m) \quad (2.2)$$

სადაც g_j და h_j მოცემული ფუნქციებია, ხოლო შესაბამისი ძაბვის კომპონენტები აკმაყოფილებენ შემდეგ სასაზღვრო პირობებს:

$$\tau_{11} \cos(n, x) + \tau_{12} \cos(n, y) = 0, \quad \tau_{22} \cos(n, x) + \tau_{21} \cos(n, y) = 0, \quad (2.3)$$

L_{m+1} კონტურზე და

$$\begin{aligned} [\tau_{11} \cos(n, x) + \tau_{12} \cos(n, y)]_j &= [\tau_{11} \cos(n, x) + \tau_{12} \cos(n, y)]_0 \\ [\tau_{12} \cos(n, x) + \tau_{22} \cos(n, y)]_j &= [\tau_{12} \cos(n, x) + \tau_{22} \cos(n, y)]_0 \end{aligned} \quad (2.4)$$

$(j = 1, 2, \dots, m)$

$L_j (j = 1, 2, \dots, m)$ კონტურებზე.

ასეთი დამხმარე ბრტყელი ამოცანის ამოხსნის არსებობა (გარკვეულ პირობებში, რასაც შესრულებულად ვთვლით) დამტკიცებულია დ. შერმანისა [3] და ს. მიხლინის [4] მიერ.

განვიხილოთ დამხმარე ბრტყელი ამოცანის კერძო შემთხვევები. დავუშვათ, რომ (u^*, v^*) , (u^{**}, v^{**}) და (u^{***}, v^{***}) წარმოადგენენ შემდეგი ბრტყელი ამოცანების ამოხსნებს: ისინი აკმაყოფილებენ (2.1) განტოლებებს, მათი შესაბამისი ძაბვის კომპონენტები τ_{jk}^* , τ_{jk}^{**} , τ_{jk}^{***} ($j, k = 1, 2, 3$) აკმაყოფილებენ (2.3) და (2.4) სასაზღვრო პირობებს, ხოლო $L_j (j = 1, 2, \dots, m)$ კონტურზე აქვთ შემდეგი სახის წყვეტა:

$$\begin{aligned} u_j^* - u_0^* &= (\sigma_j - \sigma_0) x, & v_j^* - v_0^* &= (\sigma_j - \sigma_0) y; \\ u_j^{**} - u_0^{**} &= -\frac{1}{2} (\sigma_j - \sigma_0) (x^2 - y^2), & v_j^{**} - v_0^{**} &= -(\sigma_j - \sigma_0) xy; \quad (j = 1, 2, \dots, m) \\ u_j^{***} - u_0^{***} &= -(\sigma_j - \sigma_0) xy, & v_j^{***} - v_0^{***} &= -\frac{1}{2} (\sigma_j - \sigma_0) (y^2 - x^2). \end{aligned}$$

§ 3. დასმული ამოცანის ამოხსნა (§ 1) ვეძებთ შემდეგი სახით:

$$\begin{aligned} \tau_{11} &= \frac{\partial^2 \Phi}{\partial y^2} - 2\mu [aF + bf + c\psi] + 2\mu \int (au^{***} + bu^{**}) dx - 2b\mu\sigma y^2 x \\ &\quad + \frac{b}{3} Ex^3 - 2k\chi\tau_{11}^* - b\chi^2\tau_{11}^{**} - a\chi^2\tau_{11}^{***} + \frac{\partial^2 \Phi_1}{\partial y^2}, \end{aligned} \quad (3.1)$$

$$\begin{aligned} \tau_{22} &= \frac{\partial^2 \Phi}{\partial x^2} - 2\mu [aF + bf + c\psi] + 2\mu \int (av^{***} + bv^{**}) dy - 2a\mu\sigma x^2 y \\ &\quad + \frac{a}{3} Ey^3 - 2k\chi\tau_{22}^* - b\chi^2\tau_{22}^{**} - a\chi^2\tau_{22}^{***} + \frac{\partial^2 \Phi_1}{\partial x^2} \end{aligned}$$

$$\begin{aligned} \tau_{33} &= \sigma \left[\Delta\Phi + \Delta\Phi_1 + 2\mu \int (au^{***} + bu^{**}) dx + 2\mu \int (av^{***} + bv^{**}) dy \right] \\ &+ 4\mu (aF + bf + c\psi) + 2b \left(\mu\sigma y^2 x^2 - \frac{E}{3} x^3 \right) + 2a \left(\mu\sigma x^2 y - \frac{1}{3} Ey^3 \right) \\ &- 2k(E + \lambda\theta^*)\zeta + b(Ex - \lambda\theta^{**})\zeta^2 + a(Ey - \lambda\theta^{***})\zeta^2, \\ \tau_{12} &= -\frac{\partial^2\Phi}{\partial x\partial y} - \frac{\partial^2\Phi_1}{\partial x\partial y} - 2\mu c(x^2 - y^2) - 2k\zeta\tau_{12}^* - b\zeta^2\tau_{12}^{**} - a\zeta^3\tau_{12}^{***}, \\ \tau_{13} &= 2\mu \left(a \frac{\partial F}{\partial x} + b \frac{\partial f}{\partial x} + c \frac{\partial \psi}{\partial x} - 2cy - bu^{**} - au^{***} \right) \zeta \\ &+ b(2\mu\sigma y^2 - Ex^2)\zeta + \mu \frac{\partial \omega}{\partial x} + kEx - 2k\mu a^*, \\ \tau_{23} &= 2\mu \left(a \frac{\partial F}{\partial y} + b \frac{\partial f}{\partial y} + c \frac{\partial \psi}{\partial y} + 2cx - bv^{**} - av^{***} \right) \zeta \\ &+ a(2\mu\sigma x^2 - Ey^2)\zeta + \mu \frac{\partial \omega}{\partial y} + kEy - 2k\mu v^*, \end{aligned}$$

სადაც ψ არის შედგენილი ძელის გრების ფუნქცია, Φ_1 —კერძო ამოხსნა განტოლებისა

$$\begin{aligned} \Delta\Delta\chi &= 2(2\lambda + \mu)(a\theta^{***} + b\theta^{**}) - 2\mu \int \left(a \frac{\partial^2 u^{***}}{\partial y^2} + b \frac{\partial^2 u^{**}}{\partial y^2} \right) dx \\ &- 2\mu \int \left(a \frac{\partial^2 v^{***}}{\partial x^2} + b \frac{\partial^2 v^{**}}{\partial x^2} \right) dy, \end{aligned}$$

ხოლო a , b , c და k მუდმივებია, რომლებიც უნდა განისაზღვროს. ადვილად შეიძლება ჩვენება, რომ ძაბვის (3.1) კომპონენტები აკმაყოფილებენ წონასწორობის (1.1) განტოლებებს, თავსებადობის (1.2) და აგრეთვე სასაზღვრო (1.3) და (1.4) პირობებს, ხოლო შესაბამის გადაადგილების კომპონენტები (რომლებიც შეიძლება აღვადგინოთ ძაბვის (3.1) კომპონენტებიდან ცნობილი ფორმულებით) აკმაყოფილებენ (1.5) სასაზღვრო პირობებს, თუ $F(x, y)$, $\psi(x, y)$, $\omega(x, y)$ და $\Phi(x, y)$ ფუნქციები ისეა განსაზღვრული, რომ S_j ($j = 0, 1, \dots, m$) არეში აკმაყოფილებენ შემდეგ განტოლებებს:

$$\begin{aligned} \mu\Delta F &= (\lambda + \mu)\theta^{***}, & \mu\Delta f &= (\lambda + \mu)\theta^{**}, \\ \mu\Delta\omega &= 2k(\lambda + \mu)\theta^*, & \Delta\Delta\Phi &= 0, \end{aligned}$$

ხოლო L_j ($j = 1, 2, \dots, m+1$) კონტურებზე გარკვეულ სასაზღვრო პირობებს, რომლებიც ადვილად მიიღება, თუ გავითვალისწინებთ (3.1) გამოსახულებათა მნიშვნელობებს და სასაზღვრო (1.3), (1.4) და (1.5) პირობებს.

F , f , ω და Φ ფუნქციების არსებობის აუცილებელი და საკმარისი პირობები დაცული იქნება, თუ a , b და k მუდმივებს მივანიჭებთ შემდეგ მნიშვნელობებს:

$$a = \frac{\int_{L_{m+1}} \tau_2 ds}{2 \sum_{s=0}^m \iint_{S_j} [Ey^2 - \lambda \theta^{***}] dx dy},$$

$$b = \frac{\int_{L_{m+1}} \tau_1 ds}{2 \sum_{j=0}^m \iint_{S_j} [Ex^2 - \lambda \theta^{***} x] dx dy},$$

$$k = \frac{\int_{L_{m+1}} \tau_3 ds}{2 \sum_{j=0}^m \iint_{S_j} [E + \lambda \theta^*] dx dy},$$

ხოლო c მუდმივი უნდა განისაზღვროს შემდეგი ტოლობიდან:

$$2 \sum_{j=0}^m \iint_{S_j} \left[2 \mu (ayu^{***} + bxv^{**}) - 2 \mu \left(ay \frac{\partial F}{\partial x} + bx \frac{\partial f}{\partial y} \right) - \lambda xy (a\theta^{***} - b\theta^{**}) - E(axy^2 - byx^2) \right] dx dy + \int_{L_{m+1}} (x\tau_2 - y\tau_1) ds + c \sum_{j=0}^m \iint_{S_j} \mu \left[\left(\frac{\partial \phi}{\partial x} - 2y \right)^2 + \left(\frac{\partial \phi}{\partial y} + 2x \right)^2 \right] dx dy = 0. \quad (3.2)$$

შენიშვნა: თუ განხილულ ამოცანაში ძაბვის კომპონენტები (1.4)-ის ნაცვლად შემდეგ სასაზღვრო პირობებს აკმაყოფილებენ:

$$\begin{aligned} [\tau_{11} \cos(n, x) + \tau_{12} \cos(n, y)]_j - [\tau_{11} \cos(n, x) + \tau_{12} \cos(n, y)]_0 &= A_j(x, y) \\ [\tau_{12} \cos(n, x) + \tau_{22} \cos(n, y)]_j - [\tau_{12} \cos(n, x) + \tau_{22} \cos(n, y)]_0 &= B_j(x, y) \\ [\tau_{13} \cos(n, x) + \tau_{23} \cos(n, y)]_j - [\tau_{13} \cos(n, x) + \tau_{23} \cos(n, y)]_0 &= C_j(x, y), \\ &(j = 1, 2, \dots, m) \end{aligned}$$

სადაც $A_j(x, y)$, $B_j(x, y)$ და $C_j(x, y)$ ($j = 1, 2, \dots, m$) მოცემული ფუნქციებია, მაშინ დასმული ამოცანის (§ 1) ამოხსნას ექნება ისევე (3.1) სახე, მხოლოდ მუდმივები a , b და k მიიღებენ შემდეგ მნიშვნელობებს:

$$a = \frac{\sum_{j=1}^{m+1} \int_{L_j} A_j(S) ds}{2 \sum_{j=0}^m \iint_{S_j} [E y^2 - \lambda \theta^{**} y] dx dy},$$

$$b = \frac{\sum_{j=1}^{m+1} \int_{L_j} B_j(S) ds}{2 \sum_{j=0}^m \iint_{S_j} [E x^2 - \lambda \theta^{**} x] dx dy},$$

$$k = \frac{\sum_{j=1}^{m+1} \int_{L_j} C_j(S) ds}{2 \sum_{j=0}^m \iint_{S_j} [E + \lambda \theta^*] dx dy},$$

ხოლო C მუდმივისათვის (3.2) ტოლობაში ნაცვლად

$$\int_{L_{m+1}} (x\tau_2 - y\tau_1) ds$$

გამოსახულებისა უნდა გვქონდეს

$$\sum_{j=1}^{m+1} \int_{L_j} [xB_j(S) - yA_j(S)] ds;$$

ჩაწერის გამარტივების მიზნით აქ შემოღებულია აღნიშვნა:

$$A_{m+1} = \tau_1, \quad B_{m+1} = \tau_2 \quad \text{და} \quad C_{m+1} = \tau_3.$$

ლენინის სახელობის

რკინიგზის ტრანსპორტის ინჟინერთა თბილისის

ინსტიტუტი

(რედაქციას მოუვიდა 2.7.1954)

დამოწმებული ლიტერატურა

1. Н. И. Мусхелишвили. Некоторые основные задачи математической теории упругости. 1949.
2. Г. Ю. Джанелидзе. Статика упруго-пластических стержней. Докторская диссертация, глава II, Л., 1949.
3. Д. И. Шерман. Плоская деформация в изотропной неоднородной среде. Прикл. мат. и мех. т. VII, 1943.
4. С. Г. Михлин. Плоская задача упругости для неоднородной среды. Труды сейсмологического института, № 66, 1935.



5. А. К. Рухадзе. К вопросу изгиба поперечной силой упругих брусьев, составленных из различных материалов. Труды Груз. политехн. института № 19, 1949.
6. А. К. Рухадзе. К вопросу деформации брусьев, близких к призматическим, составленных из различных упругих материалов. Труды Груз. политехн. института № 23, 1951.
7. Г. М. Хатиашвили. К вопросу о деформации цилиндрического составного бруса с нагруженной боковой поверхностью. Сообщения Акад. Наук Груз. ССР, т. XIII, № 6, 1952.
8. Г. М. Хатиашвили. К вопросу о деформации составного цилиндрического бруса, с боковой нагрузкой, меняющейся вдоль образующей цилиндра. Сообщения АН ГССР, т. XIV, № 4, 1953.
9. E. Almansi. Sopra la deformazione dei cilindri sollecitate lateralmente. Rendic. Accad. Lincei, Roma, ser. 5, t. X, 1901.
10. I. H. Michell. Quart. Journ. of Math. v—32, 1901.



3. ასრიბაკოვი

ნუკლონის მუხტისა და მასის გადანორმირება ვაკუუმურ შესწორებათა თეორიაში მეზონო-ნუკლონური პროცესებისათვის

(წარმოადგინა აკადემიის წევრ-კორესპონდენტმა ვ. მამასახლისოვმა 9.4.1954)

ვაკუუმურ შესწორებათა გამოთვლა ცალკეული ელემენტარული მეზონო-ნუკლონური პროცესებისათვის თავისთავად პრინციპულად საინტერესოა, რადგან არ არსებობს პროცესებთან გონივრულ არაგანშლად უმაღლეს მიახლოებათა მიღების უნივერსალური რეცეპტები შეშფოთებათა მეზონური თეორიის საფუძველზე.

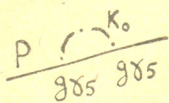
როგორც ცნობილია, თანადროულ თეორიაში კორექტული შედეგების მიღება შესაძლებელია შეშფოთებათა თეორიის მხოლოდ პირველი არასპობადი მიახლოებისათვის, მაშინ როდესაც მეორე და უმაღლეს მიახლოებათათვის იქმნება ტიპობრივი განშლადი გამოსახულებანი. შეშფოთებათა თეორიის ახალი, რელატივისტურ-ინვარიანტული ფორმულირება იძლევა განშლად გამოსახულებათა რეგულარიზაციის წესების გამომუშავების საშუალებას, წესებისა, რომლებიც საბოლოოდ დაიყვანება ნუკლონის მუხტისა და მასის გადანორმირებაზე.

მაგრამ, როგორც განშლადობათა [1] ანალიზი გვიჩვენებს, გადანორმირება მეზონურ თეორიათა ყველა ვარიანტისათვის არ არის შესაძლებელი, კერძოდ, გადანორმირების პროცედურის განზოგადება შეუძლებელია „წარმოებულებთან ბმის“ შემცველი თეორიების შემთხვევაში. ამის გამო შემდგომ ჩვენ ყველგან შემოვისაზღვრებით მხოლოდ ფსევდოსკალარული კავშირის შემთხვევით (ფსევდოვექტორული კავშირის პარალელურად განხილვის გარეშე).

მასის შესწორება, ან, რაც იგივეა, ნუკლონის „საკუთარი“ ენერგია წარმოიქმნება ნუკლონისა და მეზონური ვაკუუმის ნულოვანი რხევების ურთიერთქმედების გამო, რაც გამოისახება, თანახმად იმპულსური წარმოდგენის [2] მიღებული აღნიშვნებისა, შემდეგი გრაფიკის სახით

$(h = c = 1)$

$$\frac{g^2}{\pi i} \int \gamma_5 (\hat{p} - \hat{k}_0 - M)^{-1} \gamma_5 (\hat{k}_0^2 - \mu^2)^{-1} d^4 k_0, \quad (I, 1)$$



ნახ. 1

სადაც p და k_0 — ნუკლონისა და ვირტუალური მეზონის ენერგია-იმპულსის 4-ვექტორია, ფაქტორი $(\hat{p} - \hat{k}_0 - M)^{-1}$ აღწერს ნუკლონის მეზონის გამოსხივების შემდეგ და შთანთქმამდე (ღირაკის ოპერატორის შებრუნებული ოპერატორი), $(\hat{k}_0^2 - \mu^2)^{-1}$ კი შეესაბამება მეზონის გავრცელებას გრაფიკის კვანძებს შორის (კლეინ-გორდონის ოპერატორის შებრუნებული

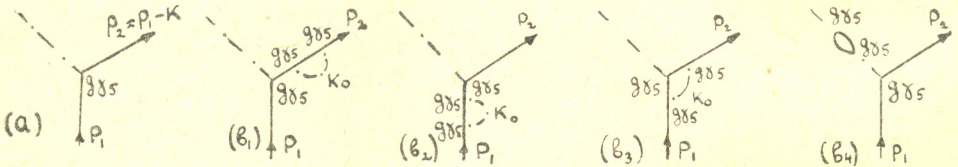
ოპერატორი). ინტეგრალი (I, 1)-ში უშუალოდ გარდაიქმნება განზღად ინტეგრალთა ჯამად

$$\frac{g^2}{8\pi} ((\widehat{p} - M) C_0 - \widehat{p} C_0^{(0)}), \quad (I, 1a)$$

რომელიც გამოითვლება ჩამომჭრელი მამრავლის $\Pi(\widehat{k}_0^2 - \mu^2)$ დახმარებით სტატიის ბოლოში. მატრიცული ოპერატორი (I, 1) გამოყენებულ უნდა იქნეს თავისუფალი ნუკლონის ტალღური ფუნქციისათვის, რომელიც შეიცავს u სპინორს, რის შემდეგაც პირველი წევრი (I, 1)-ში გამოვარდება, მეორე კი გადადის $M \cdot C_0^{(0)}$ -ად, რაც გამოსახავს ამპლიტუდის ცვლილებას თავისუფალი ნუკლონისთვის, ვირტუალური მეზონის გამოსხივებისა და შთანთქმის შედეგად. ამპლიტუდის ცვლილება, ბუნებრივია, წარმოიადგინება თავისუფალი ნუკლონის M მასის ΔM შესწორების სახით:

$$\Delta M = -\frac{g^2}{8\pi} C_0^{(0)} \cdot M; \quad M_{\text{ქსა.}} = M - \Delta M \quad (I, 2)$$

g მეზონური მუხტის შესწორების წევრები ადვილად შეიძლება შეფასებულ იქნეს პირველი რიგის უმარტივესი პროცესის მაგალითზე—თავისუფალი ნუკლონის ერთჯერადი გაბნევა მეზონურ პოტენციალზე φe^{ik_0x} . g მუხტის გადანორმირება ჩნდება აქ განსახილავი პროცესისთვის უმაღლესი რიგის შესწორებათა განხილვიდან. [2] მეთოდის მიხედვით წარმოვადგინოთ გრაფიკების სახით როგორც პოტენციალით გაბნევის ძირითადი პროცესი (a), ისე მისი ვაკუუმური შესწორებანი (b_1, b_2, b_3, b_4):



ნახ. 2

ძირითადი პროცესის (a) მატრიცული ელემენტი განისაზღვრება

$$gM_a^0 = g\varphi(\bar{u}_2 \gamma_5 u_1) \cdot \text{ით.} \quad (I, 3)$$

შესწორების გრაფიკები (b_1) და (b_2) ერთად უნდა იქნეს განხილული და, როგორც ნათლად ჩანს, მათი ჯამური მატრიცული ელემენტი პროპორციულია ძირითადი პროცესის მატრიცული ელემენტისა gM_a^0 . მართლაც, მატრიცულ ელემენტებს $M_{b_1}^{(1)}$ და $M_{b_2}^{(1)}$, (b_1) და (b_2) გრაფიკების თანახმად, აქვს შემდეგი სახე:

$$M_{b_1}^{(1)} = \frac{g^3}{\pi i} \varphi \cdot \bar{u}_2 \cdot \int \gamma_5 (\widehat{b}_2 - \widehat{k}_0 - M)^{-1} \gamma_5 (\widehat{p}_2 - M)^{-1} \gamma_5 (\widehat{k}_0^2 - \mu^2)^{-1} d^4 k_0 u_1 \quad (I, 4)$$

$$M_{b_2}^{(1)} = \frac{g^3}{\pi i} \varphi \cdot \bar{u}_2 \cdot \int \gamma_5 (\widehat{p}_1 - M)^{-1} \gamma_5 (\widehat{p}_1 - \widehat{k}_0 - M)^{-1} \gamma_5 (\widehat{k}_0^2 - \mu^2)^{-1} d^4 k_0 \cdot u_1$$



(I, 4) გამოსახულებანი გარდაიქმნება ისევე, როგორც ეს გაკეთდა (I, 1)-თვის, ორ განშლად ინტეგრალთა ჯამად:

$$M_{b_1}^{(1)} = \frac{g^3}{8\pi} \varphi \bar{u}_2 [\gamma_5 C_0 - \gamma_5 C_\sigma^{(0)} - M(\widehat{p}_2 - M)^{-1} \gamma_5 C_\sigma^{(0)}] u_1;$$

$$M_{b_2}^{(1)} = \frac{g^3}{8\pi} \varphi \bar{u}_2 [\gamma_5 C_0 - \gamma_5 C_\sigma^{(0)} - M\gamma_5(\widehat{p}_1 - M)^{-1} C_\sigma^{(0)}] u_1. \quad (I, 4a)$$

მაგრამ განსახილავ შემთხვევებში მხედველობაში უნდა მივიღოთ ის გარემოება, რომ ვირტუალური მეზონის გამოსხივება და შთანთქმა გაბნევამდე (გაბნევის შემდეგ) ცვლის ნუკლონის მასას 1 (2) მდგომარეობაში. ამიტომ $M_{b_1}^{(1)}$ და $M_{b_2}^{(1)}$ წევრების ძირითადი ეფექტი კომპენსირებულ უნდა იქნეს მასის ცვლილებით ΔM , ე. ი. (I, 4) მატრიცულ წევრებს უნდა გამოაქლდეს შესწორების გამოსახულებანი, რომლებიც მიიღება (I, 4)-ში ვირტუალური მეზონის აღმწერი ფაქტორის

$$\frac{g^2}{\pi i} \int \gamma_5 (\widehat{p} - \widehat{k}_0 - M)^{-1} \gamma_5 (\widehat{k}_0^2 - \mu^2)^{-1} d^4 k_0$$

შეცვლით ΔM სიდიდით:

$$M_{b_1}^{(1)} - g \varphi \bar{u}_2 \cdot \Delta M (\widehat{p}_2 - M)^{-1} \gamma_5 u_1;$$

$$M_{b_2}^{(1)} - g \varphi \bar{u}_2 \gamma_5 (\widehat{p}_1 - M)^{-1} \Delta M \cdot u_1. \quad (I, 5)$$

აქამდე ჩვენ გამოთვლას ვაწარმოებდით (I, 4) მატრიცული წევრებისთვის სრულიად თანასწორ საფუძვლებზე, ვიღებდით რა მხედველობაში მათ სიმეტრიას გამზნევი მეზონური პოტენციალის მიმართ. სინამდვილეში ამ ორი წევრით შემოტანილი წვლილი უნდა იყოს ზემოთ აღნიშნულის ნახევარი, ვინაიდან ფიზიკურად ეფექტს ცალმხრივი ხასიათი აქვს, თუ მივიღებთ მხედველობაში მოვლენათა თანამიმდევრობას დროის მიხედვით, ე. ი. მატრიცულ ელემენტებს (I, 5) აქვს $\frac{1}{2}$ -ის ტოლი სტატისტიკური წონა (იხ. აგრეთვე [2]).

ამგვარად, საბოლოო ჯამური მატრიცული ელემენტი (b_1) და (b_2) გრაფიკთა ერთობლიობისათვის დაიყვანება gM_a^0 -ის პროპორციულ გამოსახულებამდე.

$$M_{b_1 b_2}^{(1)} = \frac{1}{2} (M_{b_1}^{(1)} + M_{b_2}^{(1)} - g \varphi \bar{u}_2 [(\widehat{p}_2 - M)^{-1} \gamma_5 + \gamma_5 (\widehat{p}_1 - M)^{-1}] u_1 \cdot \Delta M)$$

$$= \frac{g^2}{8\pi} q \cdot g M_a^0, \quad (I, 6)$$

სადაც

$$q = C_0 - C_\sigma^{(0)}.$$

ვინაიდან q არ შეიცავს გაბნევის პროცესის მახასიათებლებს, ამიტომ ბუნებრივია, რომ რეგულირებადი გამოსახულებები (b_1) და (b_2) გრაფიკებისთვის შეიძლება განხილულ იქნეს როგორც $\frac{g^2}{8\pi} q \cdot g$ სიდიდის მეზონური მუხტის შესწორების უზრუნველმყოფნი.

გადავიდეთ (b_3) შესწორების გრაფიკზე, ე. წ. „vertex—part“ გაბნევის პროცესში გრაფიკის შესაბამისი მატრიცული ელემენტი ჩაიწერება შემდეგი სახით:

$$M_{b_3}^{(1)} = \frac{g^3}{\pi i} \varphi \bar{u}_2 \int \gamma_5 (\hat{p}_2 - \hat{k}_0 - M)^{-1} \gamma_5 (\hat{p}_1 - \hat{k}_0 - M)^{-1} \gamma_5 (\hat{k}_0^2 - \mu^2)^{-1} d^4 k_0 u_1. \quad (I, 7)$$

(I, 7) გამოსახულების ოპერატორული ნაწილი ადვილად დაიყვანება $-k_0^2 \bar{u}_1 \gamma_5 u_1$ სახემდე, რის შემდეგ ინტეგრალი $M_{b_3}^{(1)}$ -ში შეიძლება გაიგივებულ იქნეს (როდესაც $p_2 \rightarrow -p_2$) რეგულარიზებულ ინტეგრალთან $H_{\sigma\sigma}$ დამატებითად

$$H_{\sigma\sigma} = -4 \ln \Lambda + 1 + \zeta [1 - \Theta(\hat{k}^2) \operatorname{ctg} \Theta(\hat{k}^2)] + \frac{\Theta(\hat{k}^2)}{2 \sin 2 \Theta(\hat{k}^2)} (4 - \hat{k}^2); \quad \sin^2 \Theta = \frac{\hat{k}^2}{4 M^2}. \quad (I, 8)$$

ამგვარად, (I, 7) ლებულობს შემდეგ კომპაქტურ სახეს:

$$M_{b_3}^{(1)} = \frac{g^2}{8 \pi} H_{\sigma\sigma}(\Lambda, \hat{k}^2) \cdot g \varphi (\bar{u}_2 \gamma_5 u_1) = \frac{g^2}{8 \pi} H_{\sigma\sigma}(\Lambda, \hat{k}^2) \cdot g M_n^0. \quad (I, 7a)$$

(I, 7a)-ს ნაწილი, რომელიც Λ -სადმი მგრძნობიარეა, შეიძლება შთანთქმულ იქნეს როგორც g მეზონური მუხტის შესწორება შემდეგი გზით. დავშალოთ $H_{\sigma\sigma}(\Lambda, \hat{k}^2)$ ხარისხიანი მწკრივად $\hat{k}^2 = \mu^2$ მნიშვნელობის ახლოს (საზოგადოდ, $\hat{k}^2 \neq \mu^2$, ვინაიდან \hat{k} აღწერს ვირტუალურ მეზონს მეზონური პოტენციალის ფურიე—დაშლაში).

$$H_{\sigma\sigma}(\Lambda, \hat{k}^2) = H_{\sigma\sigma}(\Lambda, \mu^2) + H'_{\sigma\sigma}(\mu^2) (\hat{k}^2 - \mu^2) + H''_{\sigma\sigma}(\mu^2) (\hat{k}^2 - \mu^2)^2 + \dots \quad (I, 9)$$

კოეფიციენტები $H'_{\sigma\sigma}$, $H''_{\sigma\sigma}$ და ა. შ., როგორც ვხედავთ, უკვე არ არის დამოკიდებული Λ ჩამოჭრის პარამეტრზე. შემდეგ, მეზონური პოტენციალი φ , თანახმად მეზონური ველის განტოლებისა $(\hat{k}^2 - \mu^2) \varphi = \rho$, ჩავწეროთ შემდეგნაირად: $\varphi = (\hat{k}^2 - \mu^2)^{-1} \rho$, სადაც ρ ველის წყაროთა სიმკვრივეა.

ამის შედეგად $M_{b_3}^{(1)}$ ხდება შემდეგი გამოსახულების პროპორციული

$$H_{\sigma\sigma}(\Lambda, \hat{k}^2) \cdot \varphi = H_{\sigma\sigma}(\Lambda, \mu^2) \varphi + H'_{\sigma\sigma}(\mu^2) \rho + H''_{\sigma\sigma}(\mu^2) (\hat{k}^2 - \mu^2) \rho + \dots, \quad (I, 9a)$$

რომელშიც პირველი წევრი, ერთადერთი დამოკიდებული Λ პარამეტრზე, — შეიცავს φ პოტენციალს მუდმივი კოეფიციენტით; დანარჩენები — სასრულო წევრები — არ არიან φ -ზე დამოკიდებული და შეიძლება ინტეგრირებული იქნენ როგორც გაბნევის ეფექტის უშაღლეს რიგთა შესწორებანი. $H_{\sigma\sigma}(\Lambda, \hat{k}^2) \cdot \varphi$ -ის პირველი წევრიდან წარმოიქმნება (b_3) გრაფიკის წვლილი g მეზონური მუხტის შესწორებაში, რომელიც

$$\frac{g^2}{8 \pi} H_{\sigma\sigma}(\Lambda, \mu^2) \cdot g \text{-ის ტოლია.}$$



უკანასკნელი გრაფიკი (b_4) შეესაბამება ნუკლონური ვაკუუმის პოლარიზაციის ეფექტს. გრაფიკის შესატყვისი მატრიცული ელემენტი წარმოიდგინება შემდეგი სახით:

$$M_{b_4}^{(1)} = -2 (\widehat{k}^2 - \mu^2)^{-1} \cdot \frac{g^2}{\pi i} \int \text{Sp} \left[\left(\widehat{p} - \frac{\widehat{k}}{2} - M \right)^{-1} \gamma_5 \right. \\ \left. \times \left(\widehat{p} + \frac{\widehat{k}}{2} - M \right)^{-1} \gamma_5 \right] d^4 p \cdot g M_{\alpha}^0 \quad (I, 10)$$

სადაც პირველი ფაქტორი $(\widehat{k}^2 - \mu^2)^{-1}$ -ს შეესაბამება ვირტუალური მეზონის გავრცელებას მეზონური პოტენციალის ფურიე—დაშლაში გაბნევის კვანძიდან მარჯულის შექმნამდე, რომელსაც აღწერს მეორე ინტეგრალური მამრავლი; კოეფიციენტი 2 წარმოიქმნება შუალედური ნუკლონის ორი— n , p —შესაძლებლობის გამო.

ინტეგრალქვეშა შპურის გახსნის შემდეგ წარმოიქმნება ვაკუუმური პოლარიზაციისათვის დამახასიათებელი ინტეგრალი (იხ. [2]).

$$L(\Lambda, \widehat{k}^2) = 8i \int (-4\widehat{p}^2 + 4M^2 + \widehat{k}^2) \left[\left(\widehat{p} - \frac{\widehat{k}}{2} \right)^2 - M^2 \right]^{-1} \\ \times \left[\left(\widehat{p} + \frac{\widehat{k}}{2} \right)^2 - M^2 \right]^{-1} d^4 p = -4\widehat{k}^2 \ln \frac{\Lambda^2}{M^2} - 8\widehat{k}^2 (1 - \Theta_1 \text{ctg} \Theta_1) + f(\Lambda^2); \\ \sin^2 \Theta_1 = \frac{\widehat{k}^2}{4M^2}. \quad (I, 11)$$

ახლა მატრიცული ელემენტისათვის (I, 10) გვაქვს გამოსახულება

$$M_{b_4}^{(1)} = 2 \frac{g^2}{8\pi} (\widehat{k}^2 - \mu^2)^{-1} \cdot L(\Lambda, \widehat{k}^2) \cdot g \varphi (\bar{u}_2 \gamma_5 u_1), \quad (I, 10a)$$

რომლის ცვლად ნაწილს გარდაექმნით $M_{b_4}^{(1)}$ -ისათვის გამოყენებული რეცეპტის თანახმად. $L(\Lambda, \widehat{k}^2)$ ფუნქციის (აღებული სხვა ცვლად ფაქტორებთან კომბინაციაში) დაშლაში ხარისხოვან მწკრივად $\widehat{k}^2 = \mu^2$ მნიშვნელობის ახლოს

$$(\widehat{k}^2 - \mu^2)^{-1} L(\Lambda, \widehat{k}^2) \varphi = (\widehat{k}^2 - \mu^2)^{-1} L(\Lambda, \mu^2) \varphi + L'(\Lambda, \mu^2) \varphi \\ + \frac{1}{2} L''(\mu^2) \rho + \dots, \quad (I, 12)$$

მხოლოდ პირველი ორი წევრი შეიცავს Λ ჩამოჭრის პარამეტრს (გაიშლებიან) და გადანორმირების პროცედურას მოითხოვს. პირველი წევრი შეასწორებს მეზონის მასას μ , ვინაიდან, როგორც ნაჩვენებია შრომაში [3], $L(\Lambda, \mu^2)$ პროპორციულია $\Delta\mu$ -სი. მეორე წევრი გვაძლევს g^2 -ის შესწორებას (შესწორებას ვლტულობთ g^2 -თვის და არა g -თვის, ვინაიდან ნუკლონური მარჯუნი მოთავსებულია სიმეტრიულად გაბნევის წერტილსა და ρ წყაროს შორის, რომელსაც აგრეთვე მიეწერება g მუხტი). ამიტომ (I, 10a)-დან გამომდინარეობს

$$\frac{\Delta g^2}{g^2} = 2 \frac{g^2}{8\pi} L'(\Lambda, \mu^2)$$

ან, საბოლოოდ,

$$\Delta g = \frac{g^2}{8\pi} L'(\Lambda, \mu^2) \cdot g \quad [4].$$

საბოლოო ჯამში ხუთივე $(a, b_1 - b_4)$ განხილული გრაფიკისათვის გვაქვს φ მეზონური პოტენციალის პროპორციული მატრიცული ელემენტი—როგორც უდაბლესი, ჩვენთვის საინტერესო, რიგი—შემდეგი სახით:

$$g \left[1 + \frac{g^2}{8\pi} q + \frac{g^2}{8\pi} H_{\sigma\sigma}(\Lambda, \mu^2) + \frac{g^2}{8\pi} L'(\Lambda, \mu^2) \right] \cdot \varphi(\bar{u}_2 \gamma_3 u_1), \quad (I, 13)$$

ამგვარად, ექსპერიმენტთან შედარება გაბნევის პროცესის შემთხვევისთვის შეიძლება ჩატარდეს, თუ განვსაზღვრავთ ბმის გადანორმირებულ კონსტანტას შემდეგი სახით:

$$g_{\text{ექს}} = g \left[1 + \frac{g^2}{8\pi} (q + H_{\sigma\sigma}(\Lambda, \mu^2) + L'(\Lambda, \mu^2)) \right]. \quad (I, 14)$$

* * *

უმრავლესობა ინტეგრალებისა 4-განზომილებიან იმპულსურ სივრცეზე, რომლებიც შრომაში გვხვდება, იძლევა განზღად შედეგს და ამის გამო საჭიროებს ჩამოჭრის პროცედურას. უკანასკნელი პროცედურა (იხ. [2]) დაიყვანება ურთიერთქმედების სპეციფიკის გამომსახველ $\delta(\widehat{k^2} - \mu^2)$ -ის შეცვლაზე შემდეგი გამოსახულებით

$$g(\widehat{k^2} - \mu^2) = \int_0^{\infty} [\delta(\widehat{k^2} - \mu^2) - \delta(\widehat{k^2} - \mu^2 - \Lambda^2)] G(\Lambda) d\Lambda, \quad (A)$$

სადაც

$$\int_0^{\infty} G(\Lambda) d\Lambda = 1.$$

ეს ნიშნავს, რომ ყოველი ინტეგრალი ვირტუალური მეზონების იმპულსებზე, რომელიც შეიცავს მამრავლს $(\widehat{k^2} - \mu^2)^{-1}$, შეიცავს აგრეთვე კომბინირებულ მამრავლს, შედგენილს $(\widehat{k^2} - \mu^2)^{-1}$ -დან ჩამოჭრის მამრავლთან ერთად

$$\Pi(\widehat{k^2} - \mu^2) = - \int_0^{\infty} \frac{\Lambda^2 - \mu^2}{\widehat{k^2} - \mu^2 - \Lambda^2} G(\Lambda) d\Lambda \rightarrow - \frac{\Lambda^2 - \mu^2}{\widehat{k^2} - \Lambda^2}. \quad (B)$$

ამგვარად, რეგულირებად ინტეგრალთა გამოთვლის მეთოდი თანხვედბა მეთოდს [5] შრომაში, სადაც განხილულია ანალოგიური ელექტროდინამიკური შემთხვევა.

გამამარტივებელ აღნიშვნათა შემოტანის შემდეგ:

$$p_3 = p_1 - k_1, \quad p_4 = p_1 - k_2, \quad p_1 + p_2 = k_1 + k_2,$$



$$\begin{aligned} (0) &= \widehat{k}^2 - \mu^2 & ; & \quad (1) = k^2 - 2 p_1 \cdot k; \quad M^2 \alpha = M^2 - p_3^2 = 2 p_1 \cdot k_1 - \mu^2 \\ (\alpha) &= k^2 - 2 p_3 \cdot k - M^2 \alpha; & \quad (2) &= k^2 - 2 p_2 \cdot k; \quad M^2 \beta = M^2 - p_4^2 = 2 p_1 \cdot k_2 - \mu^2 \end{aligned} \quad (C)$$

გვაქვს თანმიმდევრულად გამოსათვლელ ინტეგრალთა შემდეგი სისტემა:

$$\mu_1 = \frac{\mu}{M}; \quad M = 1; \quad -\operatorname{sh}^2 y = \sin^2 \Theta = \frac{1}{4} (\alpha + \beta); \quad \sin^2 \varphi = \frac{1}{4} \mu_1^2; \quad a = -2 \ln \Delta$$

$$b_1 = 1 - y \operatorname{cth} y; \quad b_2 = 1 - \varphi \operatorname{ctg} \varphi;$$

$$A_0 = 8i \int \frac{\Pi d^4 k}{(1)(2)} = 2a - 4b_1 + 2;$$

$$B_0^{(1)} = 8i \int \frac{\Pi d^4 k}{(1)(\alpha)} = 2a - 4b_2 + 2 = B_0;$$

$$C_0^{(1)} = 8i \int \frac{\Pi d^4 k}{(1)(0)} = 2a + f_{C_0}(\mu_1) = C_0;$$

$$D_0 = 8i \int \frac{\Pi d^4 k}{(0)(\alpha)} = 2a + f_{D_0}(\alpha, \mu_1);$$

$$F_0 = 8i \int \frac{d^4 k}{(1)(2)(\alpha)} = \frac{2\varphi}{\sin 2\varphi};$$

$$G_0^{(1)} = 8i \int \frac{d^4 k}{(1)(\alpha)(0)} = \frac{2}{\alpha} \left(\frac{\pi^2}{6} - \sum_{n=1}^{\infty} \frac{(1-\alpha)^n}{n^2} \right);$$

$$H_0 = 8i \int \frac{d^4 k}{(1)(2)(0)} = \frac{4\Theta}{\sin 2\Theta} \left[\ln \frac{\cos \Theta}{\mu_1} - \frac{1}{\Theta} \int_0^{\Theta} \ln \cos \vartheta d\vartheta \right];$$

$$I_0 = 8i \int \frac{d^4 k}{(1)(2)(\alpha)(0)} = \frac{4\varphi}{\alpha} \operatorname{ctg} 2\varphi - \frac{4\Theta}{\alpha \sin 2\Theta} \left(\ln \frac{\alpha}{\mu_1 \cos \Theta} + \frac{1}{\Theta} \int_0^{\Theta} \ln \cos \vartheta d\vartheta \right);$$

$$A_{\sigma} = 8i \int \frac{k_{\sigma} \Pi d^4 k}{(1)(2)} = (2a - 4b_1 + 3) (p_{1\sigma} - p_{2\sigma});$$

$$B_{\sigma}^{(1)} = 8i \int \frac{k_{\sigma} \Pi d^4 k}{(1)(\alpha)} = \left(a - 2b_2 + \frac{3}{2} \right) (p_{1\sigma} + p_{3\sigma});$$

$$C_{\sigma}^{(1)} = 8i \int \frac{k_{\sigma} \Pi d^4 k}{(1)(0)} = (a + f_{C_1}(\mu_1)) p_{1\sigma};$$

$$D_{\sigma} = 8i \int \frac{k_{\sigma} \Pi d^4 k}{(0)(\alpha)} = (a + f_{D_1}(\alpha, \mu_1)) p_{3\sigma};$$

$$F_{\sigma} = 8i \int \frac{k_{\sigma} d^4 k}{(1)(2)(\alpha)} = \frac{1}{2} \frac{F_0 - 1}{\sin^2 \varphi} p_{3\sigma};$$

$$\begin{aligned}
 G_{\sigma}^{(1)} &= 8i \int \frac{k_{\sigma} d^4 k}{(1) (\alpha) (0)} = f_{g1}(\alpha, \mu_1, \varphi) p_{1\sigma} + f_{g2} p_{3\sigma}; \\
 H_{\sigma} &= 8i \int \frac{k_{\sigma} d^4 k}{(1) (2) (0)} = \frac{2\Theta}{\sin 2\Theta} (p_{1\sigma} - p_{2\sigma}); \\
 J_{\sigma} &= 8i \int \frac{k_{\sigma} d^4 k}{(1) (2) (\alpha) (0)} = f_{i1}(\alpha, \beta, \Theta, \varphi, \mu_1) (p_{1\sigma} - p_{2\sigma}) + f_{i2} p_{3\sigma}; \\
 F_{\sigma\tau} &= 8i \int \frac{k_{\sigma} k_{\tau} \Pi d^4 k}{(1) (2) (\alpha)} = \frac{1}{2} F_{\sigma} p_{3\tau} + \frac{1}{2} \delta_{\sigma\tau} \left(a + 2\varphi \operatorname{ctg} \varphi - \frac{1}{2} \right); \\
 H_{\sigma\tau} &= 8i \int \frac{k_{\sigma} k_{\tau} \Pi d^4 k}{(1) (2) (0)} = \frac{2\Theta}{4 \sin 2\Theta} (p_{1\sigma} - p_{2\sigma}) (p_{1\tau} - p_{2\tau}) \\
 &\quad + \frac{1}{2} \delta_{\sigma\tau} \left(a + \frac{5}{2} - \Theta \operatorname{ctg} \Theta \right) \\
 &\quad + \frac{1 - \Theta \operatorname{ctg} \Theta}{4 \sin^2 \Theta} (p_{1\sigma} + p_{2\sigma}) (p_{1\tau} + p_{2\tau}); \\
 G_{\sigma\tau} &= 8i \int \frac{k_{\sigma} k_{\tau} d^4 k}{(1) (\alpha) (0)} = f_{g3}^{(\sigma)}(\alpha, \mu_1; p_{1\sigma}, p_{3\sigma}, B_{\sigma}^{(1)}, C_{\sigma}^{(1)}, D_{\sigma}) p_{1\tau} \\
 &\quad + f_{g4}^{(\sigma)} p_{3\tau} + \varepsilon \delta_{\sigma\tau}; \\
 G_{\sigma}^{(0)} &= \frac{C_{\sigma}^{(1)}}{p_{1\sigma}};
 \end{aligned}$$

ფუნქციები f_{C0} , f_{D0} , f_{C1} , f_{D1} , f_{i1} , f_{i2} , f_{g1} , f_{g2} , f_{g3} , ε კომბინირებულ უბრალო ელემენტარულ ფუნქციებად ითვლება (ეს ფუნქციები ცხადად ჩანს [6]-ში).

სტალინის სახელობის

თბილისის სახელმწიფო უნივერსიტეტი

(რედაქციას მოუვიდა 17.4.1954)

დამოწმებული ლიტერატურა

1. Matthews a. Salam. Renormalisation of meson theories, Reviews of modern physics, 23, New York. 1951, 311.
2. Feynman. Theory of positrons, Physical Review, 76, 1949, 749, 769.
3. Watson a. Lepore. Radiative corrections to nuclear forces in the pseudoscalar meson theory, Ph. Rev. 76, New York, 1949, 1157.
4. Ashkin, Simon a. Marshak. On the scattering of π -mesons by nucleons, Progress of the theoretical physics, 5, Tokio, 1950, 634.
5. Brown a. Feynman. Radiative corrections to Compton scattering, Ph. Rev. 85, 1952, 231.
6. В. Е. Асрибеков. Аннигиляция нуклон-антинуклонных пар. Диссертация. Тбилиси, 1953.



3. კაკაბაძე და ი. ჩაჩანიძე

ბარიუმის ცინკატში ბარიუმისა და თუთიის სწრაფად
ბანსაზღვრის მეთოდი

(წარმოადგინა აკადემიის ნამდვილმა წევრმა რ. აგლაძემ 10.4.1954)

საწარმოო პირობებში გოგირდბარიუმის ხსნარისა და თუთიის ჟანგის (ტექნიკური) ურთიერთმოქმედებით მიიღება ბარიუმის ცინკატი, რომელიც შუალედ ნაწარმს წარმოადგენს ბარიუმის ჰიდროჟანგის, ლიტოპონისა⁽¹⁾ და ლაქსალეზების მრეწველობაში გამოყენებული თუთიის ნაერთების მისაღებად [1]. ბარიუმის ცინკატის გადამუშავებისას საჭირო ხდება მასში სისტემატურად ბარიუმისა და თუთიის განსაზღვრა.

ბარიუმის განსასაზღვრელად, ჩვეულებრივ, წონითს (სულფატურ) მეთოდს იყენებენ, მაგრამ იგი საქარხნო პირობებისათვის მიუღებელია, რადგან სირთულათ ხასიათდება და დიდ დროს მოითხოვს.

რაც შეეხება თუთიის განსაზღვრას, პრაქტიკაში ყველაზე გავრცელებულად და მასობრივი ანალიზებისათვის გამოსადეგად ითვლება ქიმიური მეთოდი, ძირითადად—ფეროციანიდური [2,3,4].

მაგრამ ბარიუმის ცინკატის გადამუშავებისას მხედველობაში უნდა იქნეს მიღებული მისი სპეციფიკური ხასიათი, რაც იმაში მდგომარეობს, რომ დაყოვნებისას ხდება ნაწილობრივ გარდაქმნა სხვა ნაერთებად, რის გამოც საჭიროა მისი სწრაფად გადამუშავება და ამასთან დაკავშირებით ანალიზის სწრაფად ჩატარება.

იმის გამო, რომ ბარიუმისა და თუთიის განსაზღვრის არსებული მეთოდები შედარებით დიდ დროს მოითხოვს (არა ნაკლებ 6—8 საათისა). ჩვენ წინაშე დაისვა უფრო სწრაფი და მარტივი მეთოდის გამომუშავების საკითხი.

როგორც ლიტერატურიდან ცნობილია [6] და ჩვენ მიერაც შემჩნეული იყო მუშაობის პროცესში, წყალხსნარში ბარიუმის ცინკატი ძლიერ ჰიდროლიზებულია და მას მხოლოდ ძლიერ ტუტე არეში შეუძლია არსებობა (დაახლოებით $pH=12$ შემთხვევაში).

ბარიუმის ცინკატის ხსნარის გაზავეებისას (pH შემცირებისას) გამოყოფას იწყებს ჰიდროლიზის შედეგად წარმოქმნილი $Zn(OH)_2$, $Ba(OH)_2$ კი ხსნარში რჩება.

ჩვენ დაგვებადა აზრი—თუთიისა და ბარიუმის განცალკევებისა და მათი ოდენობით განსაზღვრისათვის მარილმეყვა გამოგვეყენებინა, გამოვდიოდით

(¹ ხარისხიანი ლიტოპონის მისაღებად ბარიუმის ცინკატი (მინარეგების შემცველობისას) წინასწარ უნდა გაიწმინდოს.)

რა იქიდან, რომ ბარიუმის ჰიდროქსიდის პირველ რიგში უნდა შევიდეს მარილმჟავასთან რეაქციაში, როგორც თუთიის ჰიდროქსიდთან შედარებით უფრო აქტიური.

ბარიუმის ცინკატის ხსნარისადმი მარილმჟავას მიმატებისას მოხდება ჭარბი ბარიუმ-ჰიდროქსიდის ნეიტრალიზაცია, რის შედეგად ხსნარის pH შემცირების გამო დაიწყება ბარიუმის ცინკატის ჰიდროლიზი და ხსნარიდან თუთიის ჰიდროქსიდის გამოყოფა.

მარილმჟავას შემდგომი მიმატებისას ადგილი ექნება წარმოქმნილი $Ba(OH)_2$ ნეიტრალიზაციას და ამასთანავე ბარიუმის ცინკატის ხსნარის ჰიდროლიზის გაგრძელებას. ამნაირად, თუ განვაგრძებთ ხსნარისათვის მარილმჟავას მიმატებას, შეიძლება მივალწიოთ ხსნარის სრულ ჰიდროლიზს, რომლის დროსაც მთელი ბარიუმის ჰიდროქსიდი როგორც ჭარბი, ისე ბარიუმის ცინკატის სრული ჰიდროლიზის შედეგად გამოყოფილი, ნეიტრალიზებულ იქნება. ამ მომენტში მთელი თუთია იქნება გადასული ნალექში $Zn(OH)_2$ სახით.

გამოყოფილი თუთიის ჰიდროქსიდი დაიწყებს ურთიერთმოქმედებას მიმატებულ მარილმჟავასთან მხოლოდ ბარიუმ-ჰიდროქსიდის სრული ნეიტრალიზაციის შემდეგ.

როგორც ბარიუმ-ჰიდროქსიდისა, ისე თუთიის ჰიდროქსიდის სრული ნეიტრალიზაციის ბოლო შეიძლება დავადგინოთ სათანადო ინდიკატორების შერჩევით.

ამნაირად, ბარიუმის ცინკატში ბარიუმისა და თუთიის განსაზღვრა, მათი თანაობისას, შეიძლება მარტო მარილმჟავათი გატიტრებით.

აღნიშნული ელემენტების განსაზღვრა შეიძლება კიდევ შემდეგნაირად (კომბინირებული მეთოდით): თავიდან ორივე ჰიდროქსიდი გავტიტროთ მარილმჟავათი სრულ ნეიტრალიზაციამდე, ხოლო შემდეგ იმავე სინჯში განვსაზღვროთ თუთია კალიუმის ფეროციანიდის ხსნარით (გატიტვრა).

სათანადო გადაანგარიშებით ადვილად შეიძლება ბარიუმის რაოდენობის განსაზღვრა.

ჩვენ ჩავატარეთ ცდები ბარიუმის ცინკატში ბარიუმისა და თუთიის განსაზღვრულად, მათი თანაობისას, ორივე აღნიშნული მეთოდით. მარილმჟავას მეთოდში მუშა ხსნარის სახით გამოყენებულ იქნა 0,1 N მარილმჟავას ხსნარი, ხოლო ინდიკატორების სახით: ბარიუმ-ჰიდროქსიდის ნეიტრალიზაციისას—ფენოლფტალეინი, თუთიის ჰიდროქსიდის ნეიტრალიზაციისას—მეტिलროტი. კომბინირებულ მეთოდში მუშა ხსნარის სახით აღებულ იქნა 0,1 N მარილმჟავას ხსნარი და კალიუმის ფეროციანიდის ხსნარი ლითონური თუთიის მიმართ დადგენილი ტიტრით, ხოლო ინდიკატორების სახით გამოვიყენეთ ორივე ჰიდროქსიდის ნეიტრალიზაციისას—მეტилროტი, თუთიის განსაზღვრისას კი—აზოტმჟავა ურანილი.

მარილმჟავა და ამჟამად არსებული სხვა ძირითადი მეთოდებით განსაზღვრის შედეგები მოცემულია პირველ ცხრილში.

როგორც ცხრილიდან ჩანს, ჩვენ მიერ დამუშავებული მარილმჟავა მეთოდით განსაზღვრის შედეგები სავსებით მისაღებია, —ისინი კარგად ეთანხ-



მებთან ამჟამად არსებული მეთოდებით ბარიუმისა და თუთიის განსაზღვრის შედეგებს.

მარილმჟავა მეთოდის ვარგისიანობა კიდევ იმით მტკიცდება, რომ ხსნარში ამა თუ იმ რაოდენობით ბარიუმისა და თუთიის ხელოვნურად შეტანისას განსაზღვრა საკმაოდ ზუსტ თანხედენას იძლევა.

ცხრილი 1

ბარიუმისა და თუთიის განსაზღვრის შედეგები მათი თანაობისას

სინჯების №№	Ba		Zn		
	მარილმჟავა მეთოდით	წონითი სულფატური მეთოდით	მარილმჟავა მეთოდით	ფეროციანიდური მეთოდით	წონითი გოგირდწყალბადის მეთოდით
1	0,8851	0,8874	0,0667	0,0666	0,0669
2	0,7663	0,7681	0,0581	0,0576	0,0573
3	2,1980	2,2030	0,2135	0,2151	0,2170
4	1,0370	1,0339	0,0605	0,0605	0,0612
5	1,9164	1,9212	0,1258	0,1263	0,1270
6	0,4739	0,4748	0,0458	0,0473	0,0461

მოსაზრებები იმის შესახებ, რომ ბარიუმის ცინკატის ხსნარის მარილმჟავათი გატიტრისას ჯერ ხდება ბარიუმ-ჰიდროქსიდის ნეიტრალიზაცია, ხოლო შემდეგ თუთიის ჰიდროქსიდისა, დასტურდება ჩვენ მიერ მიღებული გატიტრის მრუდით (სურ. 1). აქ აბსცისზე გადაზომილია HCl-ის ხსნარის ხარჯი მლ-ით ნორმალურზე გადაანგარიშებით, ხოლო ორდინატზე გასატიტრავი ხსნარის pH.

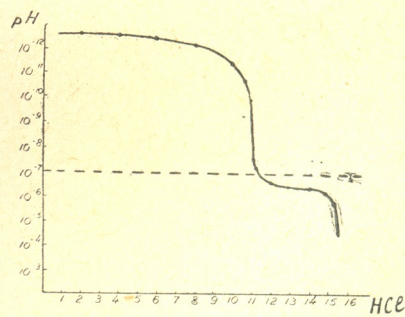
ხსნარის პოტენციომეტრიული გატიტრა ხდებოდა 18°C-სას მინის ელექტროდის საშუალებით; შესადარებელ ელექტროდად გამოყენებულ იქნა ნაჯერი კალომელის ელექტროდი.

როგორც ნახაზიდან ჩანს, ბარიუმის ცინკატის ხსნარის გატიტრისას ადგილი აქვს პოტენციალის (pH) ორ ნახტომს: ერთი შეეთანადება ბარიუმ-ჰიდროქსიდის სრულ ნეიტრალიზაციას, ხოლო მეორე თუთიის ჰიდროქსიდის ნეიტრალიზაციას.

ჩვენ მიერ მიღებული მრუდი საესებით შეეთანადება იმ მრუდს, რომელიც მოყვანილია ლიტერატურაში და ენება პოტენციალის ცვლილებას თუთიის ჰიდროქსიდის დალექვისას [6].

წარმოდგენილი მეთოდი სიმარტივით ხასიათდება და მეტად მცირე დროს მოითხოვს (სულ 6—8 წუთს).

ამასთანავე მოგვყავს ანალიზის მსვლელობა ორი ვარიანტით.



ნახ. 1. ბარიუმ-ცინკატის ხსნარის მარილმჟავათი გატიტრის მრუდი

1. მარილმჟავა მეთოდი. ბარიუმის ცინკატის ხსნარის 10 მლ-ს ათავსებენ 150—200 მლ ტევადობის ჭიქაში, აზავენ 40—50 მლ წყლით, უმატებენ 2—3 წვეთს ფენოლფტალეინს, აცხელებენ 30—40°-მდე და ტიტრირებენ 0,1 N მარილმჟავას ხსნარით (შეიძლება 0,5 ნორმალურიითაც).

პირველად იტიტრება ბარიუმის ჰიდროქანიდი; ინდიკატორის ფენოლფტალეინის გაუფერულება აჩვენებს მის სრულ ნეიტრალიზაციას. მარილმჟავას მლ-ის ხარჯი ზუსტად შეეთანადება ცინკატში ბარიუმის შემცველობას.

ბარიუმის ცინკატის ხსნარის თანდათანობითი ჰიდროლიზისა და ნეიტრალიზაციის დროს ადგილი აქვს თუთიის ჰიდროქანიდის გამოყოფას ამორფული ნალექის სახით. ბარიუმ-ჰიდროქანიდის სრული ნეიტრალიზაციის მომენტში მთელი თუთია გადასულია ნალექში.

თუთიის განსაზღვრისათვის იმავე სინჯს აცხელებენ 50—60°-მდე, უმატებენ მეტილორტს, რომელიც თუთიის ჰიდროქანიდის თანაობისას იფერება ნეიტრალური ან ძლიერ სუსტი ტუტე არისათვის დამახასიათებელ (ყვითელ-მომწვანო) ფერად და აგრძელებენ მარილმჟავათი გატიტრებას ხსნარის ენერგიული შენჯღრევით. გატიტრების ბოლოს ადგენენ აღნიშნული ფერის ნაირიჯოვანში გადასვლით.

2. კომბინირებული მეთოდი. ბარიუმის ცინკატის ხსნარის 25 მლ ათავსებენ ჭიქაში 400 მლ ტევადობით, უმატებენ დაახლოებით 50 მლ წყალს, აცხელებენ 50—60°-მდე და 2—3 წვეთის მეტილორტის მიმატების შემდეგ ტიტრირებენ მარილმჟავას 0,1 N ხსნარით (შეიძლება 0,5 ნორმალურიითაც) სრულ განეიტრალებამდე.

შემდეგ სინჯს აზავენ წყლით 200 მლ მოცულობამდე, ამჟავებენ 1 მლ მარილმჟავათი (1,19 წ.-კ.), უმატებენ 1—2 გ NH_4Cl , აცხელებენ 70°-მდე და ტიტრირებენ კალიუმის ფეროციანიდის ხსნარით, გარე ინდიკატორის—აზოტ-მჟავა ურანილის გამოყენებით.

დაზარალებული კალიუმის ფეროციანიდის ხსნარის მიხედვით ანგარიშობენ თუთიის რაოდენობას და სათანადო გადაანგარიშებით მარილმჟავაზე საზღვრავენ ბარიუმის რაოდენობას.

დასკვნები

1. დამუშავებულია ბარიუმის ცინკატში ბარიუმისა და თუთიის განსაზღვრის მეთოდი, მათი თანაობისას;

2. დამუშავებული მეთოდის ძირითად უპირატესობას შეადგენს სიმარტივე და განსაზღვრის განსაკუთრებული სიჩქარე;

3. განსაზღვრის ორი ვარიანტიდან—მარილმჟავასა და კომბინირებულიდან—უპირატესობა პირველს უნდა მიეცეს, როგორც უფრო მარტივსა და რამდენადმე უფრო ჩქარს;



4. მარილმჟავას მეთოდი შეიძლება გამოდგეს სხვა ანალოგიური ნაერთების (მაგალითად, ტუტე და ტუტე-მიწა ლითონების ალუმინატების, სტანატებისა და პლუმბატების) ანალიზებისათვის.

ს. კირიძის სახელობის

საქართველოს პოლიტექნიკური ინსტიტუტი
თბილისი

(რედაქციას მოუვიდა 23.4.1954)

დამოწმებული ლიტერატურა

1. Д. А. Дымчишин. Производство бариевых солей. ГОНТИ, Л.—М., 1938.
2. Берль-Лунге. Химико-технические методы исследования. т. II, ч. 2, вып. 2, ГОНТИ, Л.—М., 1938.
3. С. О. Файнберг. Технический анализ руд цветных металлов. Metallurgizdat, 1940.
4. И. М. Кольтгоф, Е. Б. Сендэл. Количественный анализ. ГОНТИ, М., 1938.
5. Б. В. Некрасов. Курс общей химии. Госхимиздат, М.—Л., 1952.
6. Х. Т. С. Бриттон. Водородные ионы. ОНТИ, Л., 1936.

კინემა

ბ. ციციშვილი (საქართველოს სსრ მეცნიერებათა აკადემიის წევრ-კორესპონდენტი) და
 ლ. ბარნაბიშვილი

ძმრისა და სტეარინის მუშავების სობრცია ბუმბრინსა და ასკანთინსაზე

მყარ სობრენტებზე ხსნარებიდან აღსობრციის შესწავლა ამდიდრებს ჩვენს ცოდნას ზედაპირული მოვლენების შესახებ და უშუალო პრაქტიკული ინტერესი აქვს [1].

რიგ ნივთიერებათა (ნავთობის პროდუქტების, ცხიმების, შაქრის ხსნარების, სპირტის, ცვილისა და სხვ.) აღსობრციულმა გაწმენდამ ფართო საწარმოო გამოყენება პოვა.

ხსნარებიდან აღსობრციის გამოკვლევებს საფუძველი ჩაუყარეს რუსმა და საბჭოთა მეცნიერებმა.

1786 წელს ტ. ლოვიცმა აღმოაჩინა, რომ ხის ნახშირს აქვს ხსნარებიდან აღსობრცირების უნარი. მან ჩაატარა კვლევა ამ მოვლენის შესასწავლად და ორიგინალურად გამოიყენა იგი რიგი ამოცანების გადასაჭრელად.

მ. ცვეტის მიერ შემუშავებული იყო ქრომატოგრაფიული მეთოდი.

ხსნარებიდან აღსობრციის შესახებ დიდი მნიშვნელობის მონაცემები შემდგომ მიღებული იყო ნ. შილოვის, მ. დუბინინის, პ. რეზინდერის და სხვა მეცნიერთა მიერ. კერძოდ მ. დუბინინისა [2] და ბ. ნეკრასოვის [3] მიერ აღმოჩენილი იყო (შაქრის აქტიური ნახშირის პრეპარატებზე) ერთფუძიანი ცხიმოვანი მჟავების ჰომოლოგიური რიგისა და რიგი არაორგანული მჟავების აღსობრციული რიგის შებრუნების მოვლენები.

განსაკუთრებით დეტალურად იყო გამოკვლეული მ. დუბინინისა და ე. ზავერიინას მიერ [4] აქტიური ნახშირის ფორიანობის სტრუქტურის გავლენა ხსნარებიდან აღსობრციაზე. მათ დაადგინეს, რომ ნახშირის გააქტივების ხანგრძლიობისა და გამოწვის მიხედვით ხდება ფორების გაფართოება და შებრუნებული აღსობრციული რიგი ნორმალურში გადადის. ულტრა-ფორიანობის ეფექტი (პატარა მოლეკულებთან შედარებით დიდი მოლეკულების აღსობრციის შეეცირება) მქდავდება წვრილფოროვან ნახშირებში.

ფორიანობის სტრუქტურის შესახებ საყურადღებო მონაცემების მიღების საშუალებას გვაძლევს „მოლეკულური მოსინჯვის“ მეთოდი (метод молекулярных шупов), რომელიც შენუშავებული და გამოყენებულია მ. დუბინინისა და მისი თანამშრომლების მიერ [5].

სობრენტის სტრუქტურის გავლენა ხსნარებიდან აღსობრციაზე შესწავლილი იყო სილიკაგელზე, ალუმოსილიკაგელზე და სხვა სობრენტებზე ა. კისელიოვისა და მისი თანამშრომლების მიერ [6]. აღნიშნული გამოკვლევების შედეგად დადგენილია ზღვრულად აღსობრცირებული მოცულობის მუდმივობის წესი. მიკროფორების მოცულობა წვრილფოროვანი სობრენტებისათვის



(სადაც ძირითადი სორბციული ტევადობა დამოკიდებულია მიკროფორებზე) განსაზღვრული იყო ა. კისელიოვის მიერ, ცხიმოვანი მჟავებისა და სპირტების არაწყალხსნარებიდან აღსორბციის შესწავლის გზით. მთელი რიგი საინტერესო მონაცემებია მიღებული აგრეთვე ფენოლისა და მეთილის სპირტის ხსნარებიდან აღსორბციაზე [8].

დადგენილია და შეისწავლებოდა კაპილარული გამრეების მოვლენა ხსნარებიდან აღსორბციის დროს დიდი მოცულობის გარდამავალი ფორების მქონე აღსორბენტებზე [5,8].

ყველა ზემოთქმულიდან შეიძლება დავასკვნათ, რომ ხსნარებიდან აღსორბციის შესახებ მიღებული შედეგები, გაზისა და ორთქლის სორბციის შესახებ მიღებულ მონაცემებთან ერთად, გვაძლევს სორბენტების სორბციული თვისებებისა და სტრუქტურის ღრმად შესწავლის საშუალებას.

ისეთ კარგად ცნობილ სორბენტებთან ერთად, როგორცაა ნახშირი, სილიკაგელი, ალუმოგელი და სხვა, დიდ ყურადღებას იპყრობს ბუნებრივი სორბენტებიც. ფართო გავრცელება, შედარებით სიახვე და თვისებათა სხვადასხვაობა აქტუალურს ხდის ბუნებრივი სორბენტების შემდგომ დეტალურ ფიზიკურ-ქიმიურ შესწავლას.

ხსენებული სორბენტების სორბციული თვისებებისა და სტრუქტურის გამოკვლევათა მეოხებით შეიძლება დაისახოს მათი მიზანშეწონილი შეცვლის გზები, რაც განსაკუთრებით საყურადღებოა ამ სორბენტების წარმოებაში გამოყენებისათვის.

ბუნებრივი სორბენტების გამონახვის, მათი თვისებების შესწავლისა და წარმოებაში გამოყენების საქმეში საყურადღებო შედეგები მიიღეს საბჭოთა მეკვლევარებმა (ფერსმანმა, ზემიატჩენსკიმ და სხვ.).

ჩვენი ქვეყნის მინერალურ სიმდიდრეთა შორის საყურადღებო ადგილი უჭირავს საქართველოს ბენტონიტურ თიხებს, რომლებიც აღმოჩენილია ა. თვალჭრელიძის მიერ [9].

ა. თვალჭრელიძისა და ს. ფილატოვის [9] გამოკვლევათა საფუძველზე ამ თიხებმა დიდი ყურადღება მიიპყრო და გამოყენება პოვა წარმოებაში.

საქართველოს ბუნებრივი სორბენტების—ბენტონიტური თიხების შემდგომი შესწავლის მიზნით ჩვენ განვაგრძეთ გახსნილ ნივთიერებათა აღსორბციის გამოკვლევა. წინა წლებში სორბციის ვსწავლობდით წყალხსნარებიდან [10]. მოცემულ შრომაში მოგვყავს ძმრისა და სტეარინის მჟავების სორბციის შესწავლის შედეგები ოთხქლორიანი ნახშირბადის ხსნარებიდან ბუნებრივ და გააქტივებულ გუმბრინსა და ასკანთიხაზე.

თიხებზე ცხიმოვანი მჟავების სორბციის შესახებ ლიტერატურაში მხოლოდ ერთი შრომა ვნახეთ. ა. კისელიოვი თავის თანამშრომლებთან ერთად [6] სწავლობდა ასკანის გააქტივებულ თიხაზე ცხიმოვანი მჟავების სორბციის ოთხქლორიანი ნახშირბადის ხსნარებიდან. მათ მიერ ნაჩვენებია, რომ ამ თიხისათვის დაცულია ზღვრულად აღსორბირებული მოცულობის მუდმივობის წესი. ეს მოცულობა მათ მიერ შესწავლილი თიხის ნიმუშისათვის 0,08 სმ³/გ ახლოსაა.

ჩვენ მიერ სორბენტებად აღებული იყო ბუნებრივი და გააქტივებული გუმბრინი და ასკანთიხა. ბუნებრივი თიხების გააქტივებას ვაწარ-

მოებდით გოგირდის მჟავას ხსნარებით. ამ დროს დაცული იყო თხევადი ფაზის მოცულობის მუდმივობის პირობები. გააქტივება წარმოებდა 5 საათის განმავლობაში დუღილისა და ენერგიული მორევის პირობებში. გააქტივების შემდეგ თიხების ჩარეცხვა წარმოებდა გამოხდილი წყლით, ჩანარცხ წყალში სულფატ-იონების პრაქტიკულად მოშორებამდე. თიხას ვაშრობდით $105-110^{\circ}\text{C}$ -ზე მუდმივ წონამდე.

გუმბრინის გააქტივებისათვის ვხმარობდით გოგირდმჟავას 18%-იან, ხოლო ასკანთიხისათვის 10%-იან ხსნარს.

ძმრისა და სტეარინის მჟავების გამხსნელად ვიღებდით ოთხქლორიან ნახშირბადს, რომელიც გულდასმით იყო გასუფთავებული და გაუწყლოებული. ასევე გულდასმით ვასუფთავებდით სტეარინის მჟავას. ძმრის მჟავას ვღებულობდით მისი ანჰიდრიდიდან.

ოთხქლორიანი ნახშირბადის ხსნარებიდან მჟავების სორბციის შესწავლას შემდეგნაირად ვაწარმოებდით: თიხის ნიმუში (დაფხვიერების ხარისხი 3600 ნასვრეტი 1 სმ^2) დაგვყავდა მუდმივ წონამდე ($105-110^{\circ}\text{C}$ -ზე), ვაციებდით ექსიკატორში და გადაგვქონდა კარგად გამოშრობულ მინის ბატიყელაში (губка), სადაც მაშინვე ქიმის საშუალებით ვათავსებდით წინასწარ დადგენილი კონცენტრაციის მჟავას ხსნარს და ქიმის თავს ვაღვლებდით. ბატიყელას ვდგამდით მექანიკურ საწვრთველზე. აღსორბციული წონასწორობის დამყარების შემდეგ ბატიყელას შიგთავსი ვადაგვქონდა კარგად მიხეხილ საცობიან სინჯარებში და ვაყოფნებდით თიხის მთლიანად დალექვამდე. შემდეგ ფრთხილად ვიღებდით სუფთა ხსნარს მჟავას კონცენტრაციის განსასაზღვრავად.

ძმრის მჟავას კონცენტრაციას ვსაზღვრავდით ნატრიუმის ტუტით, მხოლოდ სტეარინის მჟავას ვაშრობდით ოთხქლორიან ნახშირბადს გამოხდის საშუალებით, ვხსნიდით ეთილის სპირტში და შემდეგ ვტიტრავდით ნატრიუმის ტუტით. ვატიტრისას სისტემა დაცული იყო ნახშირორჟანგისაგან.

ცალკე ცდებით დადგენილი იყო, რომ ბატიყელას ქიმის შეღწეობა არ ცვლის მჟავას კონცენტრაციას.

პირველ რიგში შესწავლილ იქნა თიხებზე მჟავების სორბციის მიმდინარეობა დროის მიხედვით. გამოიკვია, რომ ძმრის მჟავას სორბცია პრაქტიკულად 12 საათის განმავლობაში მთავრდება, ხოლო სტეარინის მჟავას სორბცია—30 საათში. ცდები ჩატარებულია 20°C .

სორბციის გამოთვლას ვაწარმოებდით შემდეგი განტოლების მიხედვით:

$$a = \frac{(C_0 - C)v}{1000 \cdot m} \text{ მმ/გ,}$$

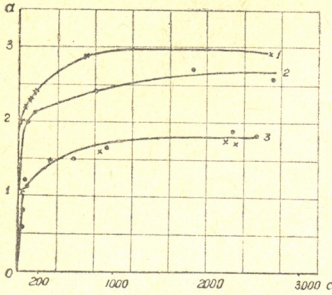
სადაც C_0 და C საწყისი და წონასწორული კონცენტრაციებია მმ/ლ-ში, v —ხსნარის მოცულობა სმ^3 -ით, m —სორბენტის მასა გრამებით.

ჩატარებული სამუშაოს საფუძველზე აგებულია იზოთერმები, რომლებიც მოყვანილია ნახ. 1—2 (იხ. გვ. 44).

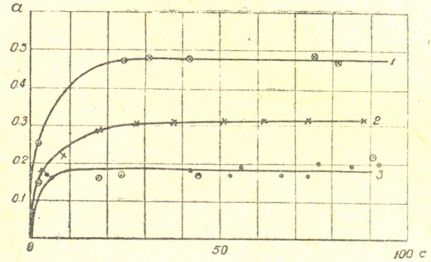
აღნიშნული მონაცემებით ირკვევა შემდეგი.

ძმრის მჟავა დაახლოებით ერთნაირად სორბირდება როგორც ბუნებრივ, ისე გააქტივებული თიხის ნიმუშებზე. ეს განსაკუთრებით ნათლად ჩანს გუმბრი-

ნის შემთხვევაში. გააქტივებული ასკანის თიხისათვის ძმრის მჟავას სორბციის იზოთერმი რამდენადმე უფრო მაღლა მდებარეობს, ვიდრე ბუნებრივი ასკან-თიხის იზოთერმი.



ნახ. 1. ძმრის მჟავას სორბცია ოთხ-ქლორიანი ნახშირბადის ხსნარიდან ბუნებრივ (.) და გააქტივებულ (X) გუმბრინზე (3 მრუდი), ბუნებრივ ასკანთიხაზე (2 მრუდი) და გააქტივებულ ასკანთიხაზე (1 მრუდი)

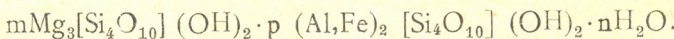


ნახ. 2. სტეარინის მჟავას სორბცია ოთხქლორიანი ნახშირბადის ხსნარიდან ბუნებრივ გუმბრინზე (.) და ბუნებრივ ასკანთიხაზე (.) (3 მრუდი), გააქტივებულ გუმბრინზე (2 მრუდი) და გააქტივებულ ასკანთიხაზე (1 მრუდი)

სტეარინის მჟავა საგრძნობლად უკეთ სორბირდება გააქტივებულ თიხაზე, ვიდრე ბუნებრივზე, რაც ერთიანად ეხება როგორც გუმბრინს, ისე ასკანთიხას. ასეც იყო მოსალოდნელი, ვინაიდან გააქტივებულ თიხებს ახასიათებს უფრო მეტად განვითარებული ფორიანობა და ზედაპირი, ვიდრე ბუნებრივ თიხებს [11,12].

თიხებზე ოთხქლორიანი ნახშირბადის ხსნარიდან ძმრის მჟავას სორბციის ხასიათი საგრძნობლად განსხვავდება სტეარინის მჟავას სორბციის ხასიათისაგან, რაც, როგორც ჩანს, გაპირობებულია ძმარმჟავას ქემოსორბციით ბუნებრივ თიხებზე.

ცნობილია, რომ ქართული ბუნებრივი ბენტონიტური თიხების გუმბრინისა და ასკანთიხის მთავარი ნაწილი შედგენილია მონტმორილონიტისაგან, რომლის ფორმულა შეიძლება შემდეგნაირად გამოისახოს:



თიხებზე ძმრის მჟავას სორბციის დროს უნდა ველოდოთ ამ მჟავას ბუნებრივ და გააქტივებულ თიხებთან ურთიერთმოქმედების სხვადასხვანაირ ხასიათს. ძმრის მჟავას შეუძლია შევიდეს ქიმიურ ურთიერთქმედებაში ბუნებრივ თიხასთან, რომელიც მდიდარია მჟავეებში ხსნადი ნაწილით. მჟავათი გააქტივებულ თიხაში კი ხსნადი ნაწილის ძირითადი რაოდენობა მოშორებულია და ამიტომ გააქტივებულ თიხასთან ძმრის მჟავას ქიმიური ურთიერთქმედება უმნიშვნელო უნდა იყოს. ეს მოსაზრებანი ჩვენ შევამოწმეთ და დამადასტურებელი მონაცემები მივიღეთ. ბუნებრივ თიხაზე ძმრის მჟავას სორბცია გაპირობებულია როგორც ადსორბციით, ისე ქემოსორბციით, გააქტივებულ თიხაზე კი ძირითად როლს ადსორბცია ასრულებს.



ამგვარად, ბუნებრივ თიხაზე ქემოსორბციის ხარჯზე გადიდებულია სორბციის საერთო სიდიდე, რომელიც, თანახმად ზემოთქმულისა, ახლოა გააქტივებული თიხების სორბციასთან.

თუ ერთიმეორეს შევადარებთ გუმბრინისა და ასკანთიხის გამოკვლეულ ნიმუშებზე ძმრის მჟავას ადსორბციას, დავინახავთ, რომ ძმრის მჟავა უკეთ ადსორბირდება ასკანთიხაზე, სტეარინის მჟავა დაახლოებით ერთნაირად სორბირდება ბუნებრივ გუმბრინსა და ასკანთიხაზე. გააქტივებულ გუმბრინთან შედარებით გააქტივებული ასკანის თიხა სტეარინის მჟავას მიმართ უკეთეს ადსორბციულ უნარს იჩენს.

შესწავლილი თიხების ნიმუშებისათვის სორბციის ზღვრული სიდიდეები და სორბციული მოცულობები მოცემულია 1 ცხრილში.

ცხრილი 1

ძმრისა და სტეარინის მჟავების სორბცია და სორბციული მოცულობა ბუნებრივ და გააქტივებულ თიხებზე

სორბენტი	სორბცია მმ/გ		სორბციული მოცულობა სმ ³ /გ	
	ძმრის მჟავა	სტეარინის მჟავა	ძმრის მჟავა	სტეარინის მჟავა
გუმბრინი ბუნებრივი (152)	1,72	0,21	0,10	0,07
გუმბრინი გააქტივებული (252)	1,72	0,33	0,10	0,11
ასკანთიხა ბუნებრივი (352)	2,59	0,21	0,15	0,07
ასკანთიხა გააქტივებული (452)	2,93	0,48	0,17	0,16

ძმრისა და სტეარინის მჟავების სორბციის სიდიდეების შედარება გვიჩვენებს, რომ ძმრის მჟავას სორბცია მეტია სტეარინის მჟავას სორბციაზე. ეს გამოწვეული უნდა იყოს წვრილი ფორების გავლენით. აქ, როგორც ჩანს, ადგილი აქვს ულტრაფორიანობის ეფექტს, რომელიც ნახშირებისათვის იყო აღმოჩენილი მ. დუბინინსა და ე. ზავერინას [3] მიერ, ხოლო სილიკატების შემთხვევაში ა. კისელიოვის [4] მიერ. ამგვარად, თიხებში არის წვრილი ფორები, სადაც სტეარინის მჟავას მსხვილი მოლეკულების სორბცია გაძნელებულია. ეს განსაკუთრებით ძლიერად მჟღავნდება ბუნებრივი თიხებისათვის, რომელთათვისაც სტეარინის მჟავას სორბციული მოცულობა საგრძნობლად ნაკლებია ძმრის მჟავას სორბციულ მოცულობაზე. ეს ბუნებრივია, ვინაიდან თიხების მჟავათი გააქტივებისას გარდამავალი ფორების მოცულობა იზრდება, რაც ხელს უწყობს მსხვილი მოლეკულების სორბციას.

გააქტივებული თიხების სორბციული მოცულობების შედარება გვიჩვენებს, რომ გააქტივებული გუმბრინისა და ასკანთიხისათვის სამართლიანია ზღვრულად ადსორბირებული მოცულობის მუდმივობის წესი. გააქტივებული გუმბრინისათვის ეს მოცულობა 0,10—0,11 სმ³/გ, ხოლო გააქტივებული ასკანთიხისათვის 0,16—0,17 სმ³/გ-ის ტოლია.

ბუნებრივ თიხებთან შედარებით გააქტივებული თიხების უკეთესი სორბ-
ციული უნარი, დადგენილი ჩვენ მიერ სტეარინის მჟავას მიმართ, საინტერე-
სოა თიხების მათეორებელი უნარიანობის შეფასების თვალსაზრისით.

ექსპერიმენტული მუშაობის ჩატარებაში მონაწილეობას იღებდნენ ქ. ბე-
ჯაშვილი და ლ. ბაქრაძე.

საქართველოს სსრ მეცნიერებათა აკადემია

პ. მელიქიშვილის სახელობის

ქიმიის ინსტიტუტი

თბილისი

(რედაქციას მოუვიდა 18.6.1954)

დამოწმებული ლიტერატურა

1. М. М. Дубинин. Физико-химические основы сорбционной техники. М., 1935; М. М. Дубинин и К. В. Чмутов. Физико-химические основы противогазового дела. М., 1939.
2. М. М. Дубинин. О специфичных адсорбционных свойствах активных углей. ЖРФХО, 62, 1627, 1930; М. М. Дубинин и Е. Д. Заверина. Charakter der Porositäts- und Sorptionseigenschaften aktiver Kohle, Acta physicochem URSS, 4, 647, 1939.
3. Б. В. Некрасов. Über die Umkehrung der Traubschenschen Adsorptionsregel, Z. phys. Chem., 139, 379, 1928.
4. А. В. Киселев, И. А. Вермс, В. В. Киселева, В. Н. Корноухова и Н. А. Штоквиш. Адсорбция жирных кислот на силикагеле и его ультрапори-
стость. Журнал физ. хим., XIX, 83, 1945.
5. М. М. Дубинин. Новое в исследованиях адсорбции. Вестник АН СССР, № 3, 1949; Адсорбция газов и паров и структура адсорбентов. «Усп. химии», XXI, № 5, 1952.
6. А. М. Джигит, М. Л. Зайцева, А. В. Киселев, К. Г. Красильников, В. М. Лукьянович, А. В. Радужкевич. Определение удельной поверхности цементов и активных добавок адсорбционно-структурным и электронно-микроскопическим методом. Труды НИИЦЕМЕНТ, вып. 3, 1950.
7. А. В. Киселев. Адсорбционные свойства и структура адсорбентов и катализаторов. Сборник «Проблемы кинетики и катализа», V, Методы изучения катализаторов. М., 1948.
8. А. В. Киселев. Структура силикагелей и ее влияние на адсорбционные свойства. Сборник «Исследования в области хроматографии». М., 1952.
9. Бентонитовые глины Грузинской ССР. Сборник под ред. проф. А. А. Твалчрелидзе. Тбилиси, 1941; Бентонитовые глины Грузии и их применение в народном хозяйстве. Сборник под ред. проф. А. А. Твалчрелидзе. Тбилиси, 1953.
10. Г. В. Цицишвили. Сорбция пиридина и аммиака асканитом из водных растворов. Труды института химии АН ГССР, IV, 1941; Адсорбция грузинскими бентонитовыми глинами из водных растворов. Тезисы научной сессии Тбилисского госуд. универ-
ситета, 1942; Адсорбция ионов никеля, кобальта и железа грузинскими бентонитовыми глинами. Тезисы сессии естественных и математических наук АН ГССР, 1942.
11. Г. В. Цицишвили и Д. Н. Барнабашвили. О влиянии кислотной обработки на свойства отбеливающих глин. Доклады АН СССР, 92, № 3, 1953.
12. Г. В. Цицишвили. О некоторых результатах адсорбционно-структурных исследований грузинских бентонитовых глин. Аннотации докладов первой объединенной научной сессии, созываемой Институтом химии АН Грузинской ССР совместно с Институтами химии Академий наук Армянской и Азербайджанской ССР, 1953.



ნიადაგმცოდნეობა

ა. გოგატიშვილი

მასალები ჭარბმანგანუმანი ნიადაგების შემწავლისათვის

(წარმოადგინა აკადემიის წევრ-კორესპონდენტმა მ. საბაშვილმა 6.7.1954)

მანგანუმი ქიმიური ელემენტია, რომელიც ელემენტთა პერიოდული სისტემის მე-7 ჯგუფს მიეკუთვნება. ბუნებაში გაერცელების მიხედვით მას მე-15 ადგილი უჭირავს სხვა ქიმიურ ელემენტთა შორის [5]. მანგანუმი მეტ-ნაკლებად მონაწილეობს თიოქმის ყველა ქანში, წყლის, ნიადაგის, ადამიანის, მცენარეული და ცხოველური ორგანიზმების შედგენილობაში.

დიდია მანგანუმის როლი მცენარეთა და ცხოველთა ორგანიზმებში მიმდინარე ფიზიოლოგიურ პროცესებში. მანგანუმი ხელს უწყობს მცენარეთა მიერ საკვები ელემენტების ეკონომიურად ხარჯვას; აძლიერებს შაქრების, ქლოროფილისა და „C“ ვიტამინის წარმოქმნას [4]. საყურადღებოა მანგანუმის როლი მცენარეთა სუნთქვისა და ფოტოსინთეზის პროცესში; ის მოქმედებს მცენარეებსა და ცხოველებში მიმდინარე დაჟანგვისა და ფერმენტაციულ პროცესებზე, ცხოველთა ორგანიზმებში ნივთიერებათა ცვლაზე [2]. გამოკვლევებით დადასტურებულია მანგანუმის სასარგებლო მოქმედება რიგი სასოფლო-სამეურნეო კულტურების მოსავლიანობის გადიდებისა და პროდუქციის ხარისხის გაუმჯობესების საქმეში. მანგანუმის გამოყენება მეცხოველეობაში იწვევს პროდუქტიულობის საგრძნობ გადიდებას. პ. ვლასიუკის [4] აზრით, მანგანუმით გამდიდრებული ნაკვთიდან მიღებული თივით კვებისას ძროხის ლაქტაციის პერიოდი 2-3 კვირით იზრდება. შესაბამისად მატულობს თითოეული ძროხისაგან მიღებული რძის რაოდენობაც.

მანგანუმის მნიშვნელობა მცენარეთა და ცხოველთა ორგანიზმებისათვის იმ მხრივაც არის საყურადღებო, რომ იგი აღიღებს ორგანიზმების გამძლეობას არახელსაყრელი ვარემო პირობებისა და დაავადებათა მიმართ [2,14,4].

სხვადასხვა ნიადაგში მანგანუმის შემცველობა სხვადასხვაა. დ. პრიანიშნიკოვის [15] აზრით, სსრ კავშირის ნიადაგები მანგანუმის შემდეგ რაოდენობას შეიცავენ (%/0-ით):

- ეწერი ნიადაგები—0,025—0,015;
- შავმიწები —0,060—0,093;
- წაბლა ნიადაგები—0,079—0,083;
- რუხი ნიადაგები —0,041—0,061;
- წითელმიწა (ჩაქვი)—0,102.

ა. მენაღარიშვილის [11] აზრით, მარგანეცის შემცველობით საქართველოს ნიადაგების ძირითადი ტიპები ამ ელემენტით ძლიერ ღარიბ ან

საშუალოდ მდიდარ ჯგუფს მიეკუთვნება. ამ მხრივ გამონაკლისს წარმოადგენს სუბტროპიკული ზონის წითელმიწები და ეწერი ნიადაგები. მ. საბაშვილის [16] მონაცემების მიხედვით, ჩაქვის საბჭოთა მეურნეობის წითელმიწების ზოგიერთ პორიზონტში MnO-ს შემცველობა 0,4% -საც კი აღემატება.

ბუნებაში არსებობს ნიადაგები, რომლებსაც მანგანუმის ნორმალური, ჭარბი ან არასაკმაო შემცველობა ახასიათებს [4]. ნიადაგებში მანგანუმის სხვადასხვაგვარი შემცველობა დამოკიდებულია დედაქანებზე, გეოგრაფიულ განედზე, კლიმატურ პირობებზე, მცენარეული საფარის ხასიათზე, ნიადაგის ტიპზე, მისი გაკულტურების ხარისხზე, ე. ი. ნიადაგწარმოქმნის პროცესის წარმმართველი პირობების მთელ კომპლექსზე.

მანგანუმი ნიადაგში სხვადასხვა ფორმითაა, ძირითადად კი არჩევენ შესათვისებელ (აღვილად მოძრავ) და შეუთვისებელ (უძრავ) ფორმებს. პირველი გვხვდება უმეტესად კარბონატების, ბიკარბონატების, სულფატებისა და სხვა აღვილად ხსნადი მარილების სახით. Mn ნიადაგში შეიძლება იყოს აგრეთვე პიროლუმიტისა და სხვადასხვა კონკრეციების სახით, გარკვეული რაოდენობა კი შთანთქმულ მანგანუმზე მოდის.

მცენარეული ორგანიზმები მანგანუმს ძლიერ უმნიშვნელო რაოდენობით საჭიროებენ. სწორედ ამიტომ ეწოდება Mn-ს მიკროელემენტი, ხოლო მანგანუმთან სასუქს—მიკროსასუქი. მიუხედავად ამისა, ამ ელემენტის ნაკლებობა ნიადაგში ხშირი მოვლენაა, რაც უარყოფითად მოქმედებს სასოფლო-სამეურნეო კულტურებზე და მათს მოსავლიანობაზე. ამასთან დაკავშირებით მანგანუმთან სასუქებს დიდი ყურადღება ექცევა. ჯერ კიდევ 1914 წელს გედროიცი [7] მიუთითებდა, რომ მანგანუმის მცირე დოზების გამოყენებით შესაძლებელია სასოფლო-სამეურნეო მცენარეთა მოსავლიანობის გაზრდა.

უკანასკნელ წლებში ჩატარებული საფეგეტაციო და მინდვრის ცდების მიხედვით მანგანუმთან სასუქის შეტანა ზრდის შაქრის ჭარხლის მოსავალს 14,5 ც-დან [9] 34—54 ცენტნერამდე ჰექტარზე [4,11], ხოლო შაქრიანობას 0,3%-დან 1,52%-მდე [4,9,11]. მანგანუმი აღიდებს ბამბის მოსავალს [6] და აჩქარებს მის მომწიფებას [4], ზრდის ხორბლის მოსავალს 3—5 ც/ჰა, ამაგრებს ღეროს მექანიკურ ელემენტებს და ამცირებს ჩაწოლას [14]. მანგანუმის სხვადასხვა დოზით შეტანა იწვევს: მზესუმზირას [17], კანფის, თამბაქოს [4], სელის [13], მრავალწლიანი ბალახების, ბოსტნეული კულტურების [14], სიმინდის, ყურძნის [10,12] მოსავლიანობის საგრძნობ გაზრდას, დადებითად მოქმედებს ეთერზეთოვანი კულტურების ზრდა-განვითარებაზე და მათში ეთერზეთების დაგროვებაზე [19]. გამოკვლევებით დადასტურებულია მანგანუმის მადნის ნარჩენების (შლამის) შეტანის მეტი ეფექტურობა მის სუფთა მარილებთან შედარებით. ამასთან დაკავშირებით უფრო მეტი ყურადღება უნდა მიექცეს ჭიათურის მანგანუმის გამდიდრებისას მიღებული ნარჩენების შეგროვებისა და გამოყენების საქმეს, ვინაიდან ეს ნარჩენები უმეტეს შემთხვევაში უსარგებლოდ იკარგება.

ნიადაგში მანგანუმის მაღალი კონცენტრაცია უარყოფითად მოქმედებს მცენარეთა ზრდა-განვითარებაზე [14,15], ზოგჯერ იწვევს მათ მოწამვლას [18].

მანგანუმიანი სასუქის შეტანა ისეთ ნიადაგში, რომელიც მას არ საჭიროებს, ამცირებს მოსავლიანობას [4, 11, 8]. ამასთან მანგანუმის ჭარბი შემცველობის სახიანო ან სასარგებლო მოქმედებას ნიადაგის სხვა თვისებები განსაზღვრავს [18].

ველზე მუშაობისას ჩვენი ყურადღება მიიპყრო მანგანუმიან კირქვებსა და ქვიშაქვებზე განვითარებულმა ნიადაგებმა. ასეთი ნიადაგები ფართოდაა გავრცელებული მდ. ყვირილას ხეობის ორივე მხარეზე, ჭიათურის მანგანუმის ცნობილი საბადოს გავრცელების ტერიტორიაზე ჭიათურა-საჩხერის რაიონში. შესწავლილ იქნა სოფ. სარეკის ჭარბმანგანუმიანი ნიადაგის მორფოლოგიური, ფიზიკურ-მექანიკური და ქიმიური თვისებები.

მანგანუმიან კირქვებსა და ქვიშაქვებზე განვითარებული ნიადაგები ჩვეულებრივად საშუალო ან მცირე სისქის პროფილით, მუქი რუხი-ჟანგისფერი, ზოგჯერ შავი ფერით, წვრილგორბოვან-მარცვლოვანი სტრუქტურით, წვრილმიწის თიხიანი ან მძიმე თიხნარი შედგენილობითა და ხირხატიანობით ხასიათდება.

ამ ნიადაგის კრილს შემდეგი სახე აქვს:

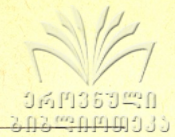
- კრილი № 115—სოფ. სარეკი—„გუბი“, სამხრეთი ექსპოზიციის 6—8⁰-ით დახრილი ფერდობი. კრილი გაკეთებულია სიმინდით დაკავებულ ნაკვეთზე;
- A—0—13 სმ—მუქი რუხი-ჟანგისფერი, გორბოვან-მარცვლოვანი, მძიმე თიხნარი ქვიშაქვებისა და მანგანუმის მადნის ხირხატი, სიმინდის ფესვები და ფესურები, ფხვიერი აგებულების, ნესტიანი, სუსტად შიშინებს. გადასვლა შემდეგ ჰორიზონტში თანდათანობითა;
- B₁—13—27 სმ— იმავე შეფერვით, თიხიანი, ხირხატი, გორბოვანი სტრუქტურით, ფხვიერი, ნესტიანი, სუსტად შიშინებს, გადასვლა თანდათანობითა;
- B₂—27—52 სმ—უფრო ღია, სუსტად გამოხატული გორბოვან-ბელტოვანი სტრუქტურით, თიხიანი, მანგანუმისა და ქვიშაქვის ხირხატი, მომკვრივო, სუსტად შიშინებს; გადასვლა გამოხატულია.
- D—52 სმ—ქვემოთ მანგანუმიანი კარბონატული ქვიშაქვები.

ცხრილი 1

მექანიკური ანალიზის შედეგები, დამუშავებული პიპეტის მეთოდით (1,0 N NaCl) (%/%-ით)

კრილის № და აღვლიმდებარეობა	ნიმუშის აღების სიღრმე სმ-ით	ჰიტოსკოპიული წყალი %	ხირხატი %	1—0,25	0,25—0,05	0,05—0,01	0,01—0,005	0,005—0,001	0,001	0,001
№ 121	0—20	4,74	26,0	17,05	0,00	8,15	46,62	9,36	18,82	74,80
ს. სარეკი	40—50	5,72	25,0	21,95	1,11	10,63	32,61	6,40	27,30	66,31
ნაკვ. „ქვანალა“	90—100	9,79	14,0	3,80	5,38	15,49	5,28	22,13	47,92	75,33
№ 115	0—10	3,68	—	23,00	10,96	11,04	8,26	11,99	34,75	55,00
ს. სარეკი	20—27	3,98	—	17,23	3,97	16,76	19,83	6,78	35,33	68,04
ნაკვეთი „გუბი“	40—50	4,96	—	18,67	3,29	14,83	4,16	7,71	51,34	63,21

პირველი ცხრილიდან ჩანს ამ ნიადაგების თიხიანი და მძიმე თიხნარი შედგენილობა და ხირხატის საკმაოდ დიდი რაოდენობით შემცველობა.



ქიმიური ანალიზის მონაცემები (იხ. ცხრილი 2) გვიჩვენებს, რომ ამ ნიადაგებში ჰუმუსის შემცველობა დიდი არაა, რაც, უმეტეს შემთხვევაში ეროზიული პროცესებით უნდა აიხსნეს, მცირეა აზოტისა და ფოსფორის შემცველობა, საჭიროა მათი შეტანა. კირის შემცველობა მცირეა, რეაქცია ტუტეა, შესწავლილ ნიადაგებს ანასიათებს ფუძეებით მაძღრობა; შთანთქმული ფუძეების უმეტესი ნაწილი კალციუმზე მოდის.

ცხრილი 2

ქიმიური ანალიზების მონაცემები

ჭრილის № და ადგილმდებარეობა	ნიმუშების აღების სიღრმე სმ-ით	ჰუმუსი %	აზოტი		P ₂ O ₅		შთანთქმული ფუძეები მილ.-ეკვივ.		CaCO ₃ %	pH წყლით გამოწვეული	Mn %	
			საერთო %	ხსნადი მგ 100 გრამში	საერთო %	ხსნადი მგ 100 გრამში	Ca	Mg			საერთო	ხსნადი
121, სოფ. სარეკი ნაკვ. „ქვანალა“ ვენახი	0—20	1,03	0,082	32,03	0,087	4,13	19,26	4,25	3,7	7,6	2,18	0,300
	40—50	1,01	0,084	26,46	0,103	3,71	21,11	4,83	1,2	7,5	1,87	0,255
	80—90	0,29	—	—	—	—	—	—	1,3	7,5	2,52	0,081
115, ს. სარეკი ნაკვ. „გუბი“ სიმინდის ყანა	0—10	—	—	—	—	—	—	—	—	—	0,70	0,246
	20—27	—	—	—	—	—	—	—	—	—	1,00	0,217
	40—50	—	—	—	—	—	—	—	—	—	1,25	0,163
211—ა(1 სოფ. სავანე ნაკვ. „ნაფუხვარი“ ვენახი	0—20	1,44	0,094	27,21	0,202	2,98	42,69	12,02	1,3	7,8	0,062	0,051
	40—50	1,62	0,112	20,56	0,134	0,98	46,80	10,85	1,3	7,8	0,080	0,064
	80—90	0,31	0,022	16,17	0,096	1,57	38,32	10,05	31,9	8,19	0,035	0,023

ამ ნიადაგებში როგორც საერთო, ისე ხსნადი მანგანუმის შემცველობა საგრძნობლად აღემატება ჩვეულებრივ სიდიდეს. ცხრილიდან ჩანს, რომ საერთო Mn აქ 0,7-დან 2,18%-მდეა, ხსნადი 0—50 სმ ფენაში 0,2—0,3‰; სოფ. სავანის ნეშომპალა-კარბონატულ ნიადაგებში Mn-ის რაოდენობა პროცენტის მესამედს შეადგენს.

ქიათურა-საჩხერის რაიონში დაკვირვებით ადვილად შესამჩნევია, რომ მანგანუმის საშუალო შემცველობის ნიადაგებზე სასოფლო-სამეურნეო კულტურები საკმაოდ ძლიერი ზრდა-განვითარებით ხასიათდებიან და კარგ მოსავალს იძლევიან, ხოლო მანგანუმის ჭარბი რაოდენობა მცენარეებზე უარყოფითად მოქმედებს, რაც განსაკუთრებით გვალვების დროს იგრძნობა. საქმე იმაშია, რომ მადნის ხირხატი ინტენსიურად შთანთქავს მზის სხივების სითბოს, ძლიერ ხურდება და აფერხებს მცენარეების ფესვთა სისტემის ნორმალურ ზრდა-განვითარებას.

საჩხერის რაიონის ვენახების მთელ რიგ ნაკვეთებში ვაზის ფესვთა სისტემაზე დაკვირვებამ დაგვარწმუნა, რომ სოფ. სარეკისა და ქორეთის (პასიეთის ზეგანი) მანგანუმის ჭარბად შემცველ ნიადაგებზე, სხვა ადგილების ვე-

(1 მოგვეყავს შესადარებლად.

ნახებთან შედარებით, ვაზს ფესვთა სისტემა სუსტად აქვს განვითარებული; შესაბამისად ნაკლები ზრდით ხასიათდება ვაზის მიწისზედა ნაწილებიც. სწორედ ამის გამო ყურძნის მოსავალი ასეთ ნიადაგებზე გაცილებით უფრო ნაკლებია. ასე, მაგალითად, სოფ. სავანეში ნაკვ. „ნაფუზვარის“ 4 ჰექტარი ფართობის თითოეული ჰექტარიდან 1953 წელს მიღებულ იქნა საშუალოდ 35,7 ც ყურძენი, მაშინ როდესაც ს. სარეკის ჭარბმანგანუმიანი ნიადაგის ნაკვეთებზე („ქვანალა“, „სარიკაო“) საშუალო მოსავალი 10 ცენტნერს არ აღემატება¹.

მანგანუმის ჭარბად შემცველი ნიადაგებიდან მიღებული ღვინო მაღალი ღირსებით გამოირჩევა. 1954 წლის 27 აპრილს ჩატარებულ დეგუსტაციაზე 1953 წლის მოსავლის სოფ. სარეკის ჭარბმანგანუმიანი ნაკვეთიდან („ქვანალა“) დაყენებული ციკქისა და ცოლიკოურის ღვინოებმა მაღალი შეფასება მიიღეს სხვა ნაკვეთების იმავე ჯიშიდან დაყენებულ ღვინოებთან შედარებით.

განსაზღვრულ იქნა მანგანუმის შემცველობა ვაზის სხვადასხვა ნაწილსა და ღვინოში.

ცხრილი 3

მანგანუმის შემცველობა ვაზის ძირითად ნაწილებსა და ღვინოში

ადგილმდებარეობა	ჯიში	Mn-ის შემცველობა მგ. 100 გრ მშრალ ნივთიერებაზე				ღვინოში მგ ერთ ლიტრში
		ფესვი	შტამბი	რქა	ფოთლოლი	
ს. სავანე „ნაფუზვარი“	ალიგოტე	4,188	6,034	13,602	71,212	1,00
ს. სარეკო, „სარიკაო“	ალიგოტე	1,823	3,057	11,236	69,166	1,00
ს. სარეკი, „ქვანალა“	შარდონე	1,052	—	12,402	70,132	1,08
„	ცოლიკოური	—	—	—	—	1,00
„	ციკქა	—	—	—	—	0,92
ს. მერჯვეი, „დიდენახი“	ციკქა	—	—	—	—	0,92

მე-3 ცხრილიდან ჩანს, რომ სოფ. სავანის ნეშომპალა-კარბონატულ ნიადაგებზე, რომელნიც მანგანუმს ჩვეულებრივი რაოდენობით შეიცავენ, გაზრდილ ვაზში Mn-ის შემცველობა არათუ არ ჩამორჩება, არამედ რამდენადმე აღემატება ჭარბი მანგანუმის შემცველ ნიადაგებზე გაზრდილ ვაზში ამ ელემენტის რაოდენობას. მეტი Mn-ის შემცველობა ვაზის ნაწილებში სოფ. სავანის ნაკვეთიდან, სოფ. სარეკთან შედარებით, შეიძლება გამოწვეული იყოს ასაკობრივი სხვაობით. ანალიზებიდან დასტურდება სხვადასხვა მკვლევრის აზრი იმის შესახებ, რომ მცენარის სხვა ნაწილებთან შედარებით ფოთლები მეტ მანგანუმს შეიცავს. სხვადასხვა ნიადაგიდან მიღებული ღვინო საშუალოდ შეიცავს 1 მგ. Mn-ს ლიტრში. ყველაზე მეტი Mn-ის შემცველობით გამოირჩევა ჭარბი მანგანუმის შემცველ ნიადაგებზე შარდონეს ჯიშიდან მიღებული ღვინო (1.08), ყველაზე ნაკლები შემცველობით კი ს. სარეკის იმავე ნიადაგებზე და სოფ. მერჯვეის ხარხატიან ნეშომპალა-კარბონატულ ნიადაგებზე მიღ-

¹ მოსავლიანობის მაჩვენებლების ასეთი მკვეთრი სხვაობა არ შეიძლება მხოლოდ მანგანუმის შემცველობის სხვაობით აეხსნათ. სოფ. სარეკის ნაკვეთზე დაბალ მოსავალს მანგანუმის სიჭარბესთან ერთად ვენახების არადამაკმაყოფილებელი მოვლა—დაბალი აგროტექნიკა აპირობებს.

ბული ციკქას ღვინო (0,92). ეს შეიძლება გამოწვეული იყოს არა ნიადაგში არსებული მანგანუმის განსხვავებული შემცველობით, არამედ ჯიშის გავლენით.

მოსალოდნელი იყო მარგანეცის მეტი რაოდენობა ყოფილიყო იმ ვაზში, რომლის ნიადაგიც ამ ელემენტის მეტი შემცველობით ხასიათდება, მაგრამ ეს ასე არ არის, ჯერ-ერთი იმიტომ, რომ აქ შესაძარებლად მოყვანილ სოფ. სავანის ნიადაგში არ არის Mn-ის ნაკლებობა; ამავე დროს ცნობილია, რომ „ორგანიზმების, მათ შორის მცენარეულობის, ქიმიური შედგენილობა არ იმეორებს გარემოს შედგენილობას“ ([3], გვ. 13). მცენარეში შესულ Mn-ის რაოდენობაზე, გარდა ნიადაგში ამ ელემენტის შემცველობისა, გავლენას ახდენს მცენარის სახე, ნიადაგის სხვა თვისებები, კლიმატი და აგროტექნიკურ ღონისძიებათა კომპლექსი [14].

სოფ. სარეკში ყურადღებას იპყრობს აგრეთვე ვაზის ქლოროზი კარბონატული ნიადაგების ზოგიერთ ნაკვეთში. ქლოროზით დაავადებას ზოგჯერ მანგანუმის ნაკლოვანებითაც ხსნიან [1]. ეს ნიადაგები Mn-ის ნაკლოვანებას, მართალია, არ განიცდიან, მაგრამ, თუ მხედველობაში მივიღებთ ზოგიერთი მკვლევრის [14, 15, 20, 17] მითითებას იმის შესახებ, რომ მანგანუმი და რკინა ანტაგონიზმშია ერთმანეთთან, ანუ ჯარბ მანგანუმს აქტიური რკინა გადაჰყავს მცენარისათვის შეუთვისებელ ფორმაში, მაშინ, ცხადია, ქლოროზის გამომწვევი გარემო პირობების კომპლექსში გარკვეული როლი, კირის შემცველობასთან ერთად, რკინის ნაკლებობასაც უნდა ეკუთვნოდეს.

დასკვნა

1. ქიათურის მანგანუმის საბადოს რაიონში გავრცელებული ჯარბმანგანუმიანი ნიადაგები ხასიათდება საშუალო და მცირე სისქით, წვრილიმიწის თიხნარი შედგენილობით, დიდი ხირხატიანობით, ჰუმუსისა და საკვები ელემენტების არასაკმაო შემცველობით. ამ ნიადაგების ნაყოფიერების გადიდებისათვის დიდი მნიშვნელობა აქვს ეროზიის წინააღმდეგ ბრძოლას, ორგანული და მინერალური სასუქების ფართოდ გამოყენებას;

2. მანგანუმის შემცველ დედაქანებზე განვითარებული ნიადაგები ჯარბი რაოდენობით შეიცავს Mn-ს როგორც საერთო, ისე ხსნადი ფორმით;

3. ნიადაგებში მანგანუმის სიჭარბე უარყოფითად მოქმედებს ვაზის ზრდ-განვითარებასა და მოსავლიანობაზე;

4. ჯარბმანგანუმიანი ნიადაგების ვენახებიდან მიღებული ღვინო მალახარისხოვანია;

5. ნიადაგებში მანგანუმის ჯარბი რაოდენობა არ იწვევს ამ ელემენტის მეტ შემცველობას ვაზის ძირითად ნაწილებსა და ღვინოში;

6. ჯარბმანგანუმიანი ნიადაგების ბუნების უფრო სრულყოფილად შესწავლისათვის მიზანშეწონილად მიგვაჩნია მათი დაწვრილებით გამოკვლევა ქიათურის მანგანუმის საბადოს გავრცელების მთელ ფართობზე.

საქართველოს სსრ მეცნიერებათა აკადემია

ნიადაგმცოდნეობის, აგროქიმიისა და მელიორაციის

ინსტიტუტი

თბილისი

(რედაქციას მოუვიდა 6.7.1954)

დამოწმებული ლიტერატურა

1. ხ. ბაღდასარაშვილი. ვახის ქლოროზი, მისი გამომწვევი მიზეზები და ბრძოლის ზოგიერთი საშუალება. თბილისი. 1950.
2. Ф. Я. Бернштейн. О биологической роли марганца. Успехи современной биологии, т. XXV, вып. 2, Москва—Ленинград, 1948.
3. А. П. Виноградов. Основные закономерности в распределении микроэлементов между растениями и средой. Микроэлементы в жизни растений и животных. М., 1952.
4. П. А. Власюк. Применение марганцевых удобрений на различных почвах для повышения продуктивности сельскохозяйственных растений. Микроэлементы в жизни растений и животных. М., 1952.
5. ა. გავაშელი. მარგანეცის გამოყენება სახალხო მეურნეობაში. თბილისი, 1947.
6. Е. А. Гудько. Влияние микроэлементов на урожай хлопчатника. Микроэлементы в жизни растений и животных. Москва, 1952.
7. К. К. Гедройц. Действие солей и сернокислой закиси железа на различных почвах под льном и клевером. Труды с/х химической лаборатории Мин-ва земледелия, Петербург, 1914.
8. К. К. Гедройц. Почвенный поглощающий комплекс растений и удобрение, гл. Влияние на урожай марганца, алюминия и некоторых металлов, внедренных в почвенный поглощающий комплекс в различных количествах. М.—Л., 1935.
9. თ. ხარდალიშვილი. გამოკვების დროს შეტანილი ბორისა და მანგანუმის გავლენა შაქრის ჭარბლის მოსავლიანობაზე. თეზისები ასპირანტთა და ახალგაზრდა მეცნ. მუშაკთა V სამეცნიერო კონფერენციისა. თბილისი, 1953.
10. ა. მენაღარაშვილი და ვ. დეჟავა. მიკროსასუქების ეფექტიანობა სასოფლო-სამეურნეო კულტურების ქვეშ საქართველოს ზოგიერთი ტიპის ნიადაგებზე. საქ. სსრ მეცნიერებათა აკადემიის ნიადაგმცოდნეობის ინს-ტის შრომები, ტ. III, თბილისი, 1950.
11. А. Д. Менагаришвили. Роль бора и марганца в повышении урожайности сельскохозяйственных культур на почвах Грузии. Микроэлементы в жизни растений и животных. Москва, 1952.
12. А. Д. Менагаришвили, В. В. Лежава. Эффективность внесения микроэлементов на виноградники. Виноделие и виноградарство в СССР, № 6, М., 1950.
13. Я. В. Пейве. Значение бора, марганца и меди в повышении урожая льна. Микроэлементы в жизни растений и животных. Москва, 1952.
14. Я. В. Пейве. Микроэлементы в сельском хозяйстве. «Природа», № 11, Москва, 1953.
15. Д. Н. Прянишников. Избранные сочинения, т. I. Агрохимия, Москва, 1952.
16. М. Н. Сабашвили. Почвы Грузии, Тбилиси, 1948.
17. А. Д. Смирнова. Влияние бора и марганца на урожайность подсолнечника. Микроэлементы в жизни растений и животных. Москва, 1952.
18. А. А. Хализев. Химические стимулянты. Москва, 1934.
19. М. Н. Цецур. Влияние микроэлементов на эфирно-масличные растения. Микроэлементы в жизни растений и животных, Москва, 1952.



ენათმეცნიერება

ს. ჰარაშიძე და ბ. ბაბინავა

სულფიტ-სპირტის ღურღოს კონცენტრატების გამოყენება
ნავთობის ზეთის ემულსიების დასამზადებლად

(წარმოადგინა აკადემიის ნამდვილმა წევრმა ლ. ყანჩაელმა 22.6.1954).

სულფიტ-სპირტის ღურღოს კონცენტრატების
გამოყენების პრობლემა

სულფიტ-სპირტის ღურღოს კონცენტრატები ცელულოზ-ქაღალდის მრეწველობის თანამდევით პროდუქტებია. ისინი ცნობილი არიან სულფიტ-ცელულოზის ექსტრაქტის, სულფიტური კონცენტრატის, სამსხმელო კონცენტრატის, მმუხავი ექსტრაქტის, სულფიტის თუთქისა და სხვა სახელწოდებით, მაგრამ ГОСТ 6003—51-ით დადგენილია, რომ იგი წოდებულ იქნეს „სულფიტ-სპირტის ღურღოს კონცენტრატად“. ეს პროდუქტები მიიღება ცელულოზის მყავური (სულფიტური წესით) ხარშვის წესით მერქნიდან ექსტრაგირებისას. ამ დროს მერქნის 50% და მეტი გადადის სულფიტის თუთქებად; უკანასკნელი ძლიერ რთული ქიმიური შედგენილობისაა; ორგანული ნაწილის 50—60% შედგება ლიგნინისაგან (სულფონის მჟავების სახით), შეიცავს აგრეთვე მარტივ შაქრებს, დეპოლიმერიზებულ პოლისახარიდებს, ძმრისა და ჰიანქველას მჟავებს, მეთილის სპირტს, ციმოლს, ფურფუროლსა და სხვა შენაერთებს. ორგანული ნაწილის გარდა სულფიტის თუთქები შეიცავს გოგირდოვან გაზს, თიოსულფატს, გოგირდის მჟავას (კალციუმის მარილების სახით) და სხვა [2].

სულფიტ-სპირტის ღურღოს კონცენტრატები, სულფიტის თუთქებისაგან განსხვავებით, ნაწილობრივ ნეიტრალიზებულია და უკანასკნელის აორთქლებით ან დალექვით მზადდება: მათ ფართოდ იყენებენ მრეწველობის რიგ დარგებში; მაგალითად, გამოიყენება, როგორც მმუხავი ტყავის მრეწველობაში, იხმარება თუთიითა და კადმიუმით გაღვანური დაფარვისას, მისგან მზადდება მრეცხი საშუალებანი, გამოყენებულია სამსხმელო საქმეში, გზების მოსასხურებლად, მერქნის ხანძარსაწინააღმდეგო დაფარვისას, ქაფიანი ცეცხლმქრობების დასატენად, ნავთობის ქაბურღილების ბურღვისას, ხის ნაგებობათა სოკოებისაგან დასაცავად, აგურის წარმოებაში და სხვა.

მიუხედავად სულფიტ-სპირტის ღურღოს კონცენტრატების მრეწველობის სხვადასხვა დარგში ფართოდ ხმარებისა, მათი გამოყენების პრობლემა ჯერ კიდევ გადაუწყვეტელია; სულფიტ-ცელულოზის ქარხნები მდინარეში უშვებენ დიდძალ გადაუმუშავებულ თუთქებს, რითაც გამოსავალი ნედლეულის ნახევარზე მეტს კარგავენ. გარდა ამისა, არსებითი მნიშვნელობა აქვს იმას, რომ ამით წყალსაცავების მდგომარეობა დიდ მანძილზე იცვლება და თევზები

მასობრივად ილუპება, უარესდება ნიადაგში მიმდინარე ბიოქიმიური პროცესები და სხვა. ეს მდგომარეობა რთულდება იმ გარემოებითაც, რომ მომავალში სულფიტის თუთქების რაოდენობა სწრაფად გაიზრდება სულფიტ-ცელულოზის ახალი ქარხნების მწყობრში შესვლასთან დაკავშირებით.

ამიტომ ბუნებრივია ის დიდი ინტერესი, რომელსაც იჩენენ სხვადასხვა ქვეყანაში სულფიტის თუთქების გამოყენებისადმი. გამოჩნდა მრავალი პატენტი, რომლებიც მიუთითებენ მათი გამოყენების შესაძლებლობაზე მანებლებისა და ავადმყოფობათაგან. მცენარეთა დაცვის საქმეშიც; მაგალითად, არსებობს ფრანგული პატენტი, რომელიც ურჩევს ინსექტიციდურ ნაზავებში სულფიტის თუთქების მიმატებას ზედაპირული დაჭიმულობის შემცირების მიზნით [4]. ზოგიერთი ავტორის ცნობით იგი პირველად გამოყენებული იყო მარტინის მიერ, როგორც დამსველებელი და გამწვეთებელი [5].

სულფიტის თუთქები გამოცდილი იყო ნიუიფ-ის მიერ მშრალი კალციუმის პოლისულფიდის სტაბილიზაციისათვის, მაგრამ ამ შემთხვევაში ხდებოდა გამოსავალი პროდუქტის დაშლა. იგი გამოცდილი იყო აგრეთვე აბლაბუდიანი ტკიპისა და მტვრიანა გულაფშუტას წინააღმდეგ. ამ მუშაობათა შედეგად დადასტურდა, რომ სულფიტის თუთქს არა აქვს საკმაო ტოქსიკური თვისებები და არ შეიძლება დამოუკიდებლად იქნეს გამოყენებული [2]. ამავე დროს აღნიშნული იყო, რომ პრეპარატები, რომელნიც შეიცავდნენ 20%-ზე მეტ სულფიტის თუთქს, მცენარის დაწვას იწვევდნენ.

სულფიტ-სპირტის დურდოს კონცენტრატებს ამჟამად ნიუიფ-ი იყენებს ანტრაცენის ზეთის კონცენტრატ-ემულსიებისა და დღტ-სა და ჰექსაქლორანის კონცენტრატ-ემულსიების დასამზადებლად კოლოიდურ წისქვილში გატარებით [2]. იგი შედის აგრეთვე „კოლოიდური გოგირდისა“ [1] და იმავე ნიუიფ-ის მიერ კონსტრუირებული გოგირდ-ორგანული პრეპარატების შედგენილობაში.

ამგვარად, სულფიტ-სპირტის დურდოს კონცენტრატები ფართო მასშტაბით გამოიყენება მრეწველობაში, მაგრამ შედგენილობის სირთულის გამო მათი ქიმიკ ნაკლებადაა შესწავლილი: არ არის აგრეთვე ცნობილი ამ კონცენტრატების ბევრი თვისება.

მხედველობაში გვქონდა რა ამ კონცენტრატების დამსველებელი და მემულგირებელი თვისება (მიაწერენ ლიგნოსულფონის მჟავებს), საჭიროდ ჩავთვალეთ მათი სხვადასხვა მიმართულებით შესწავლა ინსექტოფუნგიციდური ნაზავების შესადგენად. ამ თვალსაზრისით უკანასკნელ წლებში როგორც ერთ-ერთი კარდინალური საკითხი შეისწავლებოდა სულფიტ-სპირტის დურდოს კონცენტრატების გამოყენება ნავთობის ზეთების ემულსიების დასამზადებლად.

ექსპერიმენტი და მიღებული შედეგების ანალიზი

მუშაობა ჩატარდა ტექნოლოგიური და ტოქსიკოლოგიური მიმართულებით. ტექნოლოგიის დამუშავებისას გამოიყენეთ განუწყვეტელ თხევად არეში ზეთოვანი ფაზის მექანიკური დისპერგირების პრინციპი ემულგატორ სულფიტ-სპირტის დურდოს კონცენტრატებთან ერთად. ნავთობის ზეთის კონცენტრატ-ემულსიების მიღების ტექნიკა იმაში მდგომარეობდა, რომ მუდ-

მივი ინტენსიური რევის პირობებში ემულგატორის კონცენტრირებულ ხსნარს განუწყვეტელი წვრილი ნაკადით ესხმოდა (გარკვეული სისწრაფით) ნავთობის ზეთი (თითისტრის ან ტრანსფორმატორისა). პროცესი სრულდებოდა ლაბორატორიულ ხელსაწყო-ელექტროამრევეში. ამ გზით დადგენილი იყო, რომ შეფარდება — სულფიტ-სპირტის დურდოს კონცენტრატი (მშრალ ნაშთზე გადაანგარიშებით) 7,5%, ნავთობის ზეთი 85,0% და წყალი 7,5% იძლევა საკმაოდ სქელი კონსისტენციის კონცენტრატს, რომელიც წყალში ადვილად ერევა და რძის მაგვარი ემულსია მიიღება.

ანალოგიურად მიღებულ იქნა (კოლოიდურ წისქვილში გაუტარებლად) შემდეგი შედგენილობის დღტ-იანი ზეთის კონცენტრატ-ემულსია: სულფიტ-სპირტის დურდოს კონცენტრატი (მშრალ ნაშთზე გადაანგარიშებით) 7,5%; ნავთობის ზეთი 50,0%, დღტ 20,0% და წყალი 22,5%.

ნავთობის ზეთის კონცენტრატ-ემულსიებისა და დღტ-იანი ზეთის კონცენტრატ-ემულსიების დასამზადებლად ვარგისი აღმოჩნდა როგორც თხევადი („КВЖ“ მარკის), ისე მყარი („КВТ“ მარკის) სულფიტ-სპირტის დურდოს კონცენტრატები, იმ განსხვავებით, რომ 25° С-ზე (ხვ. წონა 1,210) ნაკლები სიმკვრივის თხევადი დურდოს კონცენტრატების შემთხვევაში ემულგირება გაძნელებულია, ზოგჯერ კი შეუძლებელიცაა.

ნავთობის ზეთის ემულსიების კონცენტრატები მიღებულ იქნა ОПН ტიპის სასხურებელ აპარატებში გატარებისას შემდეგი შეფარდებით: სულფიტ-სპირტის დურდოს კონცენტრატი (მშრალ ნაშთზე გადაანგარიშებით) 10,0%; ნავთობის ზეთი 65,0% და წყალი 25,0%.

დამზადებული ნავთობის ზეთის კონცენტრატ-ემულსიები გამოცდილ იქნა მდგრადობის მხრივ დაბალ (—10°С-მდე) და მაღალ (+50°С-მდე) ტემპერატურებზე. დაბალ ტემპერატურებზე გამოცდისას, რაც მაცივრებში ჩატარდა, კონცენტრატები უაღრესად სტაბილური აღმოჩნდა; ოთხი თვის განმავლობაში ადგილი არ ჰქონია ზეთის ფაზის გამოყოფას; ასევე არ იშლება მაღალ ტემპერატურებზე.

მუშაობა ჩავატარეთ აგრეთვე ხისტი წყლებისა და კირის შემცველი ინსექტოფუნგიციდური ნაზაგების (ბორდოს სითხე და სხვა) გავლენაზე; არც ერთ აღნიშნულ შემთხვევაში არ ჰქონია ადგილი ზეთის ფაზის გამოყოფას ან შენადდლის წარმოქმნას, რაც, ჩვენი აზრით, სულფიტ-სპირტის დურდოს კონცენტრატების შედგენილობაში კალციუმის მარილების შემცველობით აიხსნება.

სულფიტ-სპირტის დურდოს კონცენტრატებზე დამზადებული ნავთობის ზეთის ემულსიების ეფექტიანობა შესწავლილი იყო ლაბორატორიის პირობებში ჩასველების წესით. ბიოინდიკატორად გამოყენებული იყო კალიფორნიის ფარიანა — *Aspidiotus perniciosus* Comst.; აღმოჩნდა, რომ ასეთი ემულსიები თავისი მოქმედებით უთანაბრდება და ზოგჯერ კი სკარბობს შესაბამისი კონცენტრაციის საპონ-ზეთის ემულსიებს.

1952 წელს საწარმოო ხასიათის ცდები ჩატარდა გორის ქარხანაში, სადაც ქვაბში უბრალო ელექტროამრევეთ მზადდებოდა საპონ-ზეთის კონცენტრ-

რატები. ზემოთ მოყვანილი სულფიტ-სპირტის დურდოს კონცენტრატებისა და ზეთის (თითისტრის) შეფარდებით მიღებული იყო ნავთობის ზეთის კონცენტრატ ემულსიები, რომელნიც ადვილად ერევიან წყალში. ამ კონცენტრატებზე (სულ დამზადებული იყო ორი ტონა) ტოქსიკოლოგიური ცდები ჩატარდა გორის რაიონის სოფ. ზელდულეთში კალიფორნიის ფარიანას წინააღმდეგ 15 ჰექტარზე. კონცენტრატების ნაწილი დატოვებული იყო ქარხნის ტერიტორიაზე (ცის ქვეშ) შენახვის ხანგრძლიობაზე დასაკვირვებლად.

ფარიანების სიკვდილიანობის აღრიცხვა პარალელურად ჩატარა საქართველოს სსრ სას.-სამ. მცენარეთა კარანტინის სახ. ინსპექციამ. ცდების შედეგად აღმოჩნდა, რომ სულფიტ-სპირტის დურდოს კონცენტრატზე დამზადებული 4% (ზეთის მიხედვით) ემულსია 100%-მდე სიკვდილიანობას იძლევა. ეტალონად აღებული საპონ-ზეთის იგივე (4%) კონცენტრაციის ემულსია 96,3%—99,0% სიკვდილიანობას იძლევა.

გორის ქარხანაში დამზადებული კონცენტრატების ხარისხი შემოწმდა 1953 წლის მარტში. მიუხედავად იმისა, რომ გასულ პერიოდში ადგილი ჰქონდა ტემპერატურის ხშირ დაცემას (ხანდახან უდრიდა— 15°C , -17°C), კონცენტრატებმა პირვანდელი ფიზიკური თვისებები შეინარჩუნეს და საესეებით ვარგისი აღმოჩნდნენ.

ტოქსიკოლოგიური შემოწმების მიზნით ამ კონცენტრატებით შესხურება ჩატარდა ქარელის რაიონის სოფ. სასირეთში კალიფორნიის ფარიანათი დაზიანებული ხეხილის ნარგავებისა 20 ჰექტარზე. როგორც აღრევე, სიკვდილიანობის აღრიცხვა პარალელურად ჩატარა საქართველოს სსრ სას.-სამ. მცენარეთა კარანტინის სახ. ინსპექციამ. ამ შემთხვევაშიც 4% (ზეთის მიხედვით) ემულსიისაგან მიღებული იყო მავნებლის 100%-მდე სიკვდილიანობა.

აღნიშნული მონაცემების საფუძველზე საქართველოს სსრ სოფლის მეურნეობის სამინისტრომ, ჩვენი რეკეპტურის მიხედვით, გორის ქარხანაში მოაწყო ნავთობის ზეთის ემულსიების კონცენტრატების წარმოება სულფიტ-სპირტის დურდოს კონცენტრატებით (ნაცვლად საპონ-ზეთის კონცენტრატებისა) აღმოსავლეთ საქართველოს ხეხილის ბაღებში კალიფორნიის ფარიანას წინააღმდეგ ბრძოლის მიზნით.

ნავთობის ზეთის ემულსიების კონცენტრატების დასამზადებლად საწარმოო ხასიათის ცდები ჩატარდა აგრეთვე აჭარის ასსრ ადგილობრივი მრეწველობის სამინისტროს ბათუმის ქიმიურ ქარხანაშიც. დამზადდა სამი ტონა კონცენტრატი ტრანსფორმატორის ზეთზე, რომლის ნაწილი ქარხნის ტერიტორიაზე დავტოვეთ შენახვის ხანგრძლიობაზე დასაკვირვებლად.

ტოქსიკოლოგიური ცდები ჩატარდა მოსკოვის საბჭოს გამწვანების ტრესტის მახინჯაურის სანერგეში ციტრუსების ნარგავების 1,5 ჰა ფართობზე. ბიოინდიკატორად აღებული იყო ციტრუსოვანთა ყვითელი ფარიანა (*Aonidiella citrina* Coq). ამ შემთხვევაშიც დადასტურდა სულფიტ-სპირტის დურდოს კონცენტრატებზე დამზადებული ნავთობის ზეთის ემულსიების უპირატესობა საპონ-ზეთის ემულსიებთან შედარებით.

ბათუმის ქარხანაში დამზადებული (1953 წლის მარტი) კონცენტრატების ვარგისიანობა საბოლოოდ შემოწმდა დამზადებიდან ერთი წლის შემდეგ (1954 წლის 1 აპრილი). როგორც გორის ქარხანაში, აქაც კონცენტრატებმა შეინარჩუნეს თავიანთი პირველადი ფიზიკური თვისებები და პრაქტიკული გამოყენებისათვის საესებით ვარგისი აღმოჩნდნენ.

საწარმოო ხასიათის ცდები ჩატარდა ქობულეთის რაიონის კალინინის სახ. კოლმეურნეობაში ციტრუსების ნარგავების 40 ჰექტარზე 2,0% (ზეთის მიხედვით) ემულსიით. პარალელურად აღრიცხვა ჩატარა აჭარის ასსრ სახ. სამ. მცენარეთა კარანტინის სახ. ინსპექციამ. აღმოჩნდა, რომ ციტრუსოვანთა ყვითელი ფარიანას სიკვდილიანობა 93,6% აღწევდა; ეტალონის საპონ-ზეთის ემულსიის დროს კი მავნებლის სიკვდილიანობა 70%-ს უდრიდა.

როგორც ცდების შედეგებიდან ჩანს, სულფიტ-სპირტის ღურდოს კონცენტრატებზე დამზადებული ნავთობის ზეთის კონცენტრატ-ემულსიის განსაკუთრებულ თვისებად უნდა ჩაითვალოს მაღალი სტაბილობა (უძლეებს დაბალი და მაღალი ტემპერატურების ხანგრძლივ მოქმედებას) და მაღალი ეფექტიანობა (ხშირად სჭარბობს ეტალონად აღებულ საპონ-ზეთის ემულსიებს). კონცენტრატების მაღალი სტაბილობის თვისება ერთგვარ წინააღმდეგობაშია მინერალური ზეთების ემულსიების ცნობილ თვისებასთან: „მოგვეცეს მაღალი ეფექტიანობა სწრაფი დაშლისას“.

ჩვენი აზრით, აღნიშნული კონცენტრატების დიდი სიმტკიცე შესაძლებელია აიხსნას ემულგატორის—სულფიტ-სპირტის ღურდოს კონცენტრატის ზეთში ნაწილობრივ გახსნით და წყალბადების გარდიგარდმო „ხილების“ გაჩენით. უკანასკნელს ადგილი უნდა ჰქონდეს წყლისა და სულფიტ-სპირტის ღურდოს კონცენტრატს შორის, ე. ი. მიღებული უნდა იყოს დამატებითი კავშირები.

აღნიშნული ემულსიებიდან მიღებული მაღალი ეფექტიანობა, ჩვენი აზრით, უნდა აიხსნას ზეთის სწრაფი გამოყოფით განზავებული კონცენტრატის შესხურების შემდეგ და მეტი მიმწებებლობით, რაც დაკავშირებულია ადჰეზიის მოვლენასთან, უკანასკნელი კი, თავის მხრივ, აიხსნება სითხის პოლარული ჯგუფებით ან ემულსიის ნათესაობრივი თვისებებით შესასხურებელ ობიექტთან.

ზემოაღნიშნულის თანახმად, სულფიტ-სპირტის ღურდოს კონცენტრატების ემულგატორებად გამოყენებას ნავთობის ზეთის ემულსიების დამზადებისას დიდი პრაქტიკული მნიშვნელობა აქვს შემდეგი მიზეზების გამო: ასეთი კონცენტრატები დიდი სტაბილობის გამო შეიძლება მასობრივად გამოვიყენოთ; ასეთ შემთხვევაში თავიდან იქნება აცილებული ის დიდი დანაკარგები, რასაც ადგილი აქვს საპონ-ზეთის კონცენტრატების ხმარებისას. ამასთან ისინი ერევიან ხისტ წყალში და კირის შემცველ ინსექტოფუნგიციდურ ნაზავებში (მაგ. ბორდოს სითხეში), რასაც პრაქტიკული მნიშვნელობა აქვს წამლობათა რიცხვის შემცირების მხრივ. გარდა ამ განმასხვავებელი თვისებებისა, განსაკუთრებული მნიშვნელობა აქვს საპნის შეცვლას უფრო ხელმისაწვდომი და იაფი პროდუქტით; თვითღირებულება თითისტრის ზეთზე დამზადებული საპონ-ზეთის კონცენტრატისა ერთი ტონისა 1039 მან. და 80 კაპ. უდრის; თვით-

ღირებულება სულფიტ-სპირტის დურდოს კონცენტრატზე დამზადებული თითისტრის ზეთის კონცენტრატისა კი—610 მან. 50 კაპ., ე. ი. ერთ ტონა მზა პროდუქციაზე ეკონომია 429 მან. 30 კაპ. შეადგენს.

დასკვნა

1. ნავთობის ზეთის ემულსიის კონცენტრატების დამზადების ყველაზე უფრო სრულყოფილ მეთოდად უნდა ჩაითვალოს სულფიტ-სპირტის დურდოს კონცენტრატების ემულგატორებად გამოყენება. უკანასკნელით მთლიანად უნდა შეიცვალოს საპონი ქარხნული (მარტივ ელექტროამრევი) და სხვა წესებით ემულსიების დამზადებისას;

2. სულფიტ-სპირტის დურდოს კონცენტრატებით საპნის შეცვლა იძლევა ხარჯების დიდ ეკონომიას და ამასთან თავიდან გვაცილებს იმ დიდ დანაკარგებს, რომლებსაც ადვილი აქვს საპონ-ზეთის ემულსიების ხმარებისას;

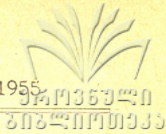
3. აუცილებელ საჭიროებად უნდა ჩაითვალოს ინგურის ცელულოზ-ქაღალდის კომბინატთან საამქროს აშენება სულფიტის თუთქების ასაორთქლებლად, რომლებიც დღემდე მდინარეში იღვრება.

საქართველოს სსრ მეცნიერებათა აკადემია
მცენარეთა დაცვის ინსტიტუტი
თბილისი

(რედაქციას მოუვიდა 22.6.1954)

დამოწმებული ლიტერატურა

1. ს. ქარუმიძე. სოფლის მეურნეობის მავნებლებისა და ავადმყოფობათა წინააღმდეგ ბრძოლის ქიმიური მეთოდები. თბილისი, 1950.
2. С. Ф. Безуглый. Концентрированные минерально-масляные эмульсии ДДТ и Гексахлорана. Сборник—Органические синтетические инсектициды и гербициды. Сельхозгиз. Москва, 1952.
3. В. М. Никитин. Химия древесины и целлюлозы. Гослесбумиздат. Москва-Ленинград, 1952.
4. Основные пути использования сульфитных шелоков. Сборник статей под редакцией М. Н. Бурова, Москва, 1937.
5. Д. Фрир. Химия инсектицидов и фунгицидов. Москва, 1948.



მასპინძიმენტული მემორიანი

ბ. ბახტაძე

შრომანას მოქმედ საწყისთა კუჭ-ნაწლავის ტრაქტში დაშლის
საკითხისათვის

(წარმოადგინა აკადემიის ნამდვილმა წევრმა მ. წინამძღვრიშვილმა 16.6.1954)

შრომანა მედიცინაში ფართოდ გამოიყენება გულ-სისხლძარღვოვანი სისტემის დაავადების დროს. მისი პრეპარატები სწრაფად და ძლიერად მოქმედებენ პარენტერალურად შეყვანის შემთხვევებში, შიგნით მიღებისას კი სამკურნალო ეფექტი საგრძნობად მცირდება.

როგორც პ. ონიცევის [1] მიერ კონვალატოქსინზე და ჩვენ მიერ [2] შრომანას ნაყენისა და შრომანას წვენიზე ჩატარებული ცდებიდან გამოირკვა, ამ პრეპარატების მოქმედების ძალა მათი უშუალოდ თორმეტგოჯა ნაწლავში შეყვანის შემთხვევებში 18—20-ჯერ მცირდება, პარენტერალურ შემხაპუნებასთან შედარებით.

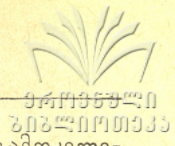
ეს განსხვავება შეიძლება აიხსნას ან შრომანას პრეპარატების კუჭ-ნაწლავის ტრაქტში ცუდი შეწოვით, ანდა უკანასკნელში მათი დაშლით. როგორც პ. ონიცევისა [1] და ე. გენდენშტეინის [3] ცდებიდან გამოირკვა (ამასვე აღნიშნავენ აგრეთვე გ. მეიერი, რ. გოტლიბი [4] და დ. რაპოპორტი [5]), შრომანას პრეპარატები კუჭ-ნაწლავის ტრაქტში კარგად იწოვება. რაპოპორტის აზრით, იგი სათითურას პრეპარატებზე უკეთესად იწოვება.

თანხმად დასახელებული ლიტერატურული წყაროებისა, შრომანას პრეპარატების მოქმედების დასუსტება მათი შიგნით მიღების დროს შეიძლება აიხსნას მხოლოდ შრომანას აქტიურ საწყისთა კუჭ-ნაწლავის ტრაქტში დაშლით.

საკითხი, თუ კუჭ-ნაწლავის ტრაქტის რომელ ნაწილში და როგორ ხდება შრომანას გლუკოზიდების დაშლა, საკმარისად არ არის შესწავლილი. კ. სარგინმა [6] გამოიკვლია პეპსინისა და ტრიპსინის გავლენა შრომანას პრეპარატ კონვალენის აქტივობაზე. თავისი ცდებიდან იგი დაასკვნის, რომ აღნიშნული ორი ფერმენტი არ ცვლის კონვალენის ძალას.

პირის ღრუში მოხვედრის შემდეგ შიგნით მიღებული შრომანას პრეპარატების დაშლა თეორიულად შესაძლებელია კუჭ-ნაწლავის ტრაქტის მთელ მანძილზე—მის შეწოვამდე. საჭმლის მომნელებელი წვენების გავლენით, უშუალოდ შეწოვის დროს კუჭ-ნაწლავის შემწოვ უჯრედებში და შეწოვის შემდეგ კი ძირითადად ღვიძლში.

ჩვენ შევისწავლეთ მჟავე და ტუტე გარემოსა და საჭმლის მომნელებელი წვენების მოქმედება შრომანას აქტიურ საწყისებზე. სპეციალური ცდები და-



ვაყენებ შრომანას მოქმედ საწყისთა დაშლაში ღვიძლის როლის გამოკვლევის მიზნით.

ცდები წარმოებდა პროფ. დ. გედევანიშვილის ხელმძღვანელობით. გამოვიკვლიეთ შრომანას ოფიცინალური ნაყენი და შრომანას წვენი (წვენი დამზადდა სსრკ ჯანმრთელობის დაცვის სამინისტროს თბილისის სამეცნიერო-საკვლევ ქიმიურ-ფარმაცევტულ ინსტიტუტში ი. ქუთათელაძის წესით).

ღვიძლის როლი შრომანას მოქმედ საწყისთა დაშლაში

შრომანას ნაყენის ან წვენის ხსნარი შეგვყავდა ბარბიტურული ნარკოზის ქვეშ მყოფ კატებში ბარძაყის ვენიდან (ე. ი. გამოსაკვლევი პრეპარატი ღვიძლში გაუვლელად მიაღწევს გულს). ზოგიერთ ცდაში კი პრეპარატი შეგვყავდა ჯორჯლის ერთ-ერთ ვენაში (ე. ი. პრეპარატი ჯერ ღვიძლში გატარდება და შემდეგ მიაღწევს გულს). ხსნარის პერფუზიის სიჩქარე—1 მლ წუთში. პრეპარატი ტარდება პარკუჭების სისტოლურ გაჩერებამდე.

ცხრილი 1

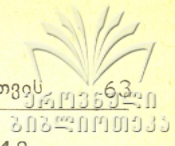
შრომანას ნაყენისა და წვენის აქტივობის განსაზღვრა კატებზე

№ რიგზე	პრეპარატი	შეყვანის გზა	ცხიმვლის ცხიმოვანი კმ-ის	შეყვანილი ხსნარის რაოდენობა მლ-ით	
				მთელ ცხოველზე	კმ წონაზე
1	შრომანას ყვავილის წვენი (1948 წ.) 0,75: 100,0	ბარძაყის ვენა	2,5	42,5	17,0
2	"	"	2,7	54,0	20,0
3	"	"	2,6	44,5	17,1
4	"	"	2,1	43,0	20,4
5	"	მეზენტერი-ალური ვენა	3,0	58,0	საშუალო 18,6
6	"	"	2,4	50,5	19,0
					20,6
7	შრომანას ნაყენი 3,5:100,0	ბარძაყის ვენა	2,0	37,9	საშუალო 19,8
8	"	"	1,8	29,0	18,5
					15,1
9	"	მეზენტერი-ალური ვენა	2,2	39,0	საშუალო 17,1
					17,7

როგორც 1 ცხრილიდან ჩანს, რომ მიუხედავად იმისა, თუ სად შევიყვანებთ შრომანას პრეპარატებს—ბარძაყის თუ მეზენტერიალურ ვენაში—პრაქტიკულად ერთნაირი შედეგი მიიღება.

შესაბამისად, შრომანას პრეპარატების ღვიძლში გატარებისას, მათი მოქმედების ძალა არ სუსტდება.

მიღებული შედეგები არ ადასტურებს ამ საკითხის ირგვლივ მ. გრამენიციკისა [7] და კ. სარგინის [6] მიერ გამოთქმულ თეორიულ მოსაზრებას; აღნიშნული ავტორების აზრით, ღვიძლში ადგილი აქვს შრომანას გლუკოზიდების ნაწილობრივ დაშლას.



მეჯავე და ტუტე გარემოს გავლენა შრომანას მოქმედ საწყისებზე

ზოგიერთი საგულე გლუკოზიდის მოქმედება მეჯავე ან ტუტე გარემოში საგრძნობლად სუსტდება. შრომანას აქტიურ საწყისებზე კუჭის მეჯავე და ნაწლავების ტუტე გარემოს გავლენის შესწავლის მიზნით ჩვენ დავავენეთ შემდეგი ცდები: შრომანას წვენი ბიოლოგიურ აქტივობას განმეორებით ვიკვლევდით მისი, ერთ შემთხვევაში, 0,2⁰/₀ მარილმჟავასთან და, მეორე შემთხვევაში, 1,5⁰/₀ ნატრიუმის ბიკარბონატთან შერევიდან 1,5 საათის შემდეგ. 1 მლ წვენს ვუმატებდით 1 მლ მეჯავას ან ტუტეს. ბიოლოგიური შეფასება ამ და ყველა ქვემო-ნახსენებ ცდაში ბაყაყებზე ტარდებოდა დ. გე დ ე ვ ა ნ ი შ ვ ი ლ ი ს მეთოდით [8].

ოქმი 1

მარილმჟავისა და ნატრიუმის ბიკარბონატის გავლენა შრომანას მოქმედ საწყისებზე 15.XI.49

პრეპარატი	№№ რიგზე	ბაყაყის წონა	შეყვანილი სითხე		პარაკუჭის სისტოლური გაჩერებბ ¹
			მთელ ცხოველზე მლ-ით	გრამ წონაზე მმლ-ით	
შრომანას წვენი 1:8	1	45,2	0,13	3	—
	2	57,0	0,16	3	—
	3	56,0	6,22	4	4
	4	43,0	0,18	4	5
1 მლ შრ. წვენი + 1 მლ 0,2 ⁰ / ₀ HCl	1	63,0	0,25	4	7
	2	53,6	0,22	4	4
90 წუთის შემდეგ +6 მლ გამობდილი წყალი 0,2 HCl	1	63,0	0,25	4	—
	1	56,0	0,22	4	6
1 მლ შრ. წვენი + 1 მლ 1,5 ⁰ / ₀ NaHCO ₃	1	56,0	0,22	4	6
	2	49,0	0,2	4	8
90 წუთის შემდეგ +6 მლ გამობდილი წყალი					

როგორც პირველი ოქმიდან ჩანს, მეჯავასა და ტუტის გავლენით შრომანას წვენის აქტივობა არ შეიცვალა. მაშასადამე, ადამიანის კუჭის მეჯავე და ნაწლავების ტუტე რეაქცია არ ამცირებს შრომანას პრეპარატების მოქმედების ძალას.

ფ. შვეცკმა [9], ვ. სილამ [10] და ე. სტეგაილომ [11] გვიჩვენეს, რომ მარილმჟავას ხსნარის დამატებით სათითურას პრეპარატებისა და სტროფანტინის მოქმედების ძალა მცირდება, მაშინ როდესაც ფოლინერინის აქტივობა სრულიად არ იცვლება. ნათელია, რომ მარილმჟავა, არ მოქმედებს რა გულის ზოგიერთ გლუკოზიდზე, შეიძლება სხვებზე მოქმედებდეს დამშლელად.

ნერწყვისა და ნაღვლის გავლენა შრომანას მოქმედ საწყისებზე

შიგნით მიღებულ შრომანას პრეპარატებს პირის ღრუში შეიძლება ნერწყვი შეერიოს და მისი გავლენა განიცადოს.

(¹ რამდენი წუთის შემდეგ გაჩერდა გული.

შრომანას აქტიურ საწყისებზე ნერწყვის შესაძლებელი მოქმედების შესწავლის მიზნით 1 მლ შრომანას ნაყენს ან წვეწვს ვუმატებდით ადამიანის იმდენსავე ნერწყვს, რომელსაც ვაგროვებდით უშუალოდ ცდის წინ. ნარეგს ორი საათით ვდგამდით თერმოსტატში 40°-ზე. შრომანას ნაყენისა და წვეწვის ბიოლოგიური აქტივობა არ შეიცვალა (ოქმი 2). მაშასადამე, შრომანას აქტიური საწყისები ნერწყვის დამატებით არ იშლება.

ოქმი 2

ნერწყვის გავლენა შრომანას მოქმედ საწყისებზე. 25.XI.51

პრეპარატი	№№ რიგზე	ბაყაყის წონა	შეყვანილი სითხე		პარკუჭის სისტოლური გაჩერება
			მიუღ ცხოველზე მლ-ით	გრამ წონაზე მმლ-ით	
შრომანას ნაყენი 1:4	1	51,0	0,15	3	—
	2	48,0	0,15	3	—
	3	35,0	0,14	4	8
	4	45,0	0,18	4	8
2 მლ შრ. ნაყენი+2 მლ ნერწყვი +4 მლ გამოზხდ. წყალი	1	35,0	0,14	4	10
	2	46,0	0,18	4	7

ნარევი 2 საათით დადგმულია თერმოსტატში 40°C.

ოქმი 3

ნალელის გავლენა შრომანას მოქმედ საწყისებზე. 1.II.50

პრეპარატი	№№ რიგზე	ბაყაყის წონა	შეყვანილი სითხე		პარკუჭის სისტოლური გაჩერება
			მიუღ ცხოველზე მლ-ით	გრამ წონაზე მმლ-ით	
შრომანას წვეწვი 1:10	1	43,0	0,14	4	—
	2	39,0	0,14	4	—
	3	59,0	0,25	5	8
	4	49,0	0,24	5	7
1 მლ შრ. წვეწვი+1 მლ ნალველი +8 მლ გამოზხდილი წყალი	1	33,0	0,17	5	9
	2	49,0	0,24	5	7

ნარევი 2 საათით დადგმულია 40°C.

ანალოგიურ პირობებში გამოვიკვლიეთ ნალელის გავლენა შრომანას მოქმედ საწყისებზე (ნალველს ვიღებდით ადამიანისაგან დუოდენალური ზონდაჟით, ცდის დღეს). შრომანას წვეწვის აქტივობა ნალველი „B“-ს დამატების შემდეგ არ შემცირდა (ოქმი 3).

კუჭის წვეწვის გავლენა შრომანას მოქმედ საწყისებზე

გამოვიყენეთ რა ზემოაღნიშნული მეთოდი, ჩვენ შევისწავლეთ აგრეთვე, თუ როგორ მოქმედებს კუჭის წვეწვი შრომანას ნაყენსა და წვეწვზე (ოქმი 4).

ვიღებდით ან ძაღლის კუჭის წვეს (პავლოვის პატარა კუჭიდან—საერთო სიმ-
 ჟავე 120), ანდა მას ვიღებდით ადამიანისაგან (ევალდ-ბოასის საცდელი
 საუზმის მიღებიდან 45 წუთის შემდეგ—საერთო სიმუშავე 60).

ოქმი 4

კუჭის წვენის გავლენა შროშანას მოქმედ საწყისებზე 25.XII.51

პრეპარატი	№.№ რიგზე	ბაყაყის წონა	შეყვანილი სითხის რაოდენობა		პარკუჭის სისტოლური გაჩერება
			მთელ ცხო- ველზე მლ-ით	გრამ წონაზე მმლ-ით	
შროშანას ნაყენი 1:4	1	51,0	0,15	3	—
	2	43,0	0,15	3	—
	3	45,0	0,18	4	8
	4	35,0	0,14	4	8
2 მლ ნაყენი+2 მლ ძაღლის კუჭის წვენი+ 4 მლ გამობდილი წყალი იგივე, მხოლოდ ადამიან- ის კუჭის წვენი	1	46,0	0,18	4	7
	2	33,0	0,14	4	8
	1	36,0	0,14	4	6
	2	52,0	0,2	4	4

ნარევი 2 საათით დადგმულია თერმოსტატში 40° C.

ცდების შედეგად გამოიჩინა, რომ შროშანას წვენისა და ნაყენის კუჭის
 წვენთან შერევის შემდეგ გამოსაკვლევი პრეპარატების ბიოლოგიური აქტივობა
 არ დაქვეითდა.

ამრიგად, შროშანას მოქმედ საწყისებს არ შლის არც მარილმუჟავა (0,2%/0)
 და არც კუჭის წვენის ფერმენტები.

პანკრეასისა და ნაწლავის წვენის გავლენა შროშანას
 მოქმედ საწყისებზე

პანკრეასის წვენს ვიღებდით ადამიანისაგან დუოდენალური ზონდა-
 ყით (პანკრეასის წვენის გამოყოფის სტიმულატორად ვიხმარეთ 50 მლ თბი-
 ლი რძე). მიღებულ წვენში მოწმდებოდა ფერმენტების (დიასტაზა, ლიპაზა)
 არსებობა და მათი აქტივობა.

ზემოაღნიშნული წესით შვეისწავლეთ პანკრეასის წვენის გავლენა შროშა-
 ნას პრეპარატებზე.

1 მლ შროშანას წვენს ვუმატებდით 1 ან 4 მლ პანკრეასის წვენს. ნარევს
 4 საათით ვათავებდით თერმოსტატში 40°-ზე. შროშანას წვენის აქტივობა
 კუჭუკანა ჯირკვლის წვენის დამატებით არ შემცირებულა (ოქმი 5). ამრიგად,
 პანკრეასის წვენში არსებული ფერმენტები არ შლის შროშანას გლუკოზიდებს.

ანალოგიური ცდები შროშანას პრეპარატებზე არაღის ჩაუტარებია,
 თუ არ ჩავთვლით სარგინის უკვე მოხსენებულ შრომას, სადაც მან შეისწავლა
 ტრიფსინის გავლენა კონვალენის აქტივობაზე.

პანკრეასის წვენი გავლენა შროშანას მოქმედ საწყისებზე 25.III.50

პრეპარატი	№№ რიგზე	ბაყაყის წონა	შეყვანილი სითხე		პარკუჭის სისტოლური გაჩერება
			მთელ ცხო- ველზე მლ-ით	გრამ წონაზე მმლ-ით	
შროშანას წვენი 1:10	1	34,0	0,4	4	—
	2	50,0	0,2	4	—
	3	44,0	0,22	5	7
	4	37,0	0,17	5	11
1 მლ შრ. წვენი+4 მლ პანკრეასის წვენი 4 საა- თით თერმოსტატში 40°C +4 მლ H ₂ O	1	50,0	0,25	5	7
	2	42,0	0,21	5	8
	3	45,0	0,22	5	6

პანკრეასის წვენში ლიპაზას მაჩვენებელი 1/nNaOH-ის 6,7 მლ უდრიდა, დიასტაზას მაჩვენებელი იყო 32.

მსგავსი ცდებია ჩატარებული კ. ჰელის [10] მიერ სათითურას პრეპარატებზე. ამ ცდებმა გვიჩვენა, რომ როგორც მთლიანად პანკრეასის წვენი, ისე ცალკე პანკრეასის დიასტაზა იწვევს სათითურას აქტივობის შემცირებას.

როგორც ვხედავთ, გულის გლუკოზიდები კუჭ-ნაწლავის ტრაქტის სხვადასხვა ფერმენტის გავლენით არაერთნაირი ხარისხით იშლება. მაგალითად, დიასტაზა აქვეითებს სათითურას ძალას, ხოლო შროშანას აქტიურ საწყისებზე სრულიად არ მოქმედებს.

შროშანას პრეპარატების აქტივობაზე წვრილი ნაწლავის წვენის გავლენის შესწავლის მიზნით დავაყენეთ შემდეგი ცდა: შროშანას ნაყენის ნარევის წვრილი ნაწლავის წვენთან⁽¹⁾ (1 მლ ნაყენს ვუმატებთ 1 ან 3 მლ ნაწლავის წვენს) ორი საათით ვათავსებდით თერმოსტატში 40°C-ზე.

ოქმი 6

ნაწლავის წვენის გავლენა შროშანას მოქმედ საწყისზე 6.2.52

პრეპარატი	№№ რიგზე	ბაყაყის წონა	შეყვანილი სითხე		პარკუჭის სისტოლური გაჩერება
			მთელ ცხო- ველზე მლ-ით	გრამ წონაზე მმლ-ით	
შროშანას ნაყენი 1:4	1	40,0	0,18	4,5	4
	2	42,0	0,18	"	6
	3	49,0	0,22	"	—
	4	40,0	0,14	3,5	—
	5	38,0	0,14	"	—
	6	52,0	0,17	"	—
1 მლ ნაყენი+3 მლ ნაწ- ლავის წვენი 2 საათით თერმოსტატში 40°C-ით	1	36,0	0,16	4,5	6
	2	48,0	0,22	"	8
	3	43,0	0,19	"	7

(¹ წვრილი ნაწლავის წვენს ვიღებდით უშუალოდ ცდის წინ ძალლიდან, რომელსაც გაკეთებული ჰქონდა ნაწლავის ფისტულა თირი-ველას მეთოდით.



შრომანას ნაყენის ბიოლოგიური აქტივობა მოწმდებოდა როგორც ნაწლავის წვეთთან შერევაში, ისე შერევის შემდეგ. შრომანას ნაყენის ძალა ნაწლავის წვეთის გავლენით არ იცვლებოდა (ოქმი 6).

დასკვნა

საქმლის მომნელებელი წვენები (კუჭის, პანკრეასის, წვრილი ნაწლავის, ნერწყვი, ნალველი) და აგრეთვე ღვიძლი არ შლის შრომანას აქტიურ საწყისებს. მოქმედ საწყისთა დაშლას, მათი შიგნით მიღებისას, ადგილი უნდა ჰქონდეს შეწოვის დროს კუჭ-ნაწლავის კედელში, უშუალოდ იმ უჯრედების მიერ, რომლებიც ახორციელებენ შეწოვას. არ არის გამორიცხული აქტივობის შემცირების შესაძლებლობა მოქმედ საწყისთა ნაწლავის კედლის სისხლძარღვთა კაპილარებში მოხვედრისას. დაშლა, როგორც ჩანს, ხდება გლუკოზიდაზის ტიპის ფერმენტით.

საქართველოს სსრ მეცნიერებათა აკადემია
კლინიკური და ექსპ. კარდიოლოგიის ინსტიტუტი
თბილისი

(რედაქციას მოუვიდა 1.7.1954)

დამოწმებული ლიტერატურა

1. П. И. Овнцев. Фармакологическое исследование коваллятоксина. Фарм. и токсик., т. VI, № 6, 1943, стр. 30—37.
2. Г. Г. Бахтадзе. К фармакологии препаратов ландыша. Автореферат диссертации на соискание ученой степени кандидата медицинских наук. Тбилиси, 1953.
3. Э. И. Гендештейн. Фармакологическое изучение коргликона-глюкозидного препарата из листьев ландыша. Фармак. и токсикол., т. XIII, № 6. 1950, стр. 23—26.
4. Г. Мейер и Р. Готлиб. Экспериментальная фармакология, как основа лекарственного лечения, т. I, Л., 1940, стр. 447—528.
5. Д. М. Раппопорт. Клиническая оценка некоторых препаратов ландыша. Труды Ленингр. научно-практ. фармац. ин-та, т. I, 1935, стр. 123—127.
6. К. Д. Саргин. Коваллен, новый препарат ландыша. Клинич. медик., № 1, 1935, стр. 109—114.
7. М. Н. Граменицкий. Учебник фармакологии. Л., 1938, стр. 111—117.
8. დ. მ. გედევანიშვილი. სათითურას ფოთლებისა და პრეპარატების ვალლორბაციის საკითხისათვის. წერილი II. სამეცნ.-საკვლ. ფარმაცო-ქიმ. ინსტ. შრ. კრებული, წ. III, თბილისი, 1941, გვ. 56—59.
9. F. Svec. Zerstörbarkeit der Digitalissubstanzen im Magensaft. Arch. exper. Path. und Pharmak., 1937. 185, 57.
10. В. И. Сила. К фармакологии нового сердечного глюкозида фолинерина. Сообщ. 1. Фармак. и токсикол. т. II, в. 4, 1939, стр. 15—26.
11. Е. А. Стегайло. Роль желудочной секреции в чувствительности организма к сердечным глюкозидам. Фармак. и токсикол., № 1, 1948, стр. 29—31.
12. E. R. Movitt. Digitalis and other cardiotonic drugs. New York, 1946.



ალ. ლეკიაშვილი

არაბულ ძირთა ისტორიიდან

(წარმოადგინა აკადემიის ნამდვილმა წევრმა გ. წერეთელმა 23.4.1954)

არაბულ (resp. სემიტურ) dm' ('ცრემლი, ტირილი') და ش ('მსგავსება') ძირებზე (ფუძეებზე) დაკვირვებით ცხადი ხდება, რომ მათ გავლილი აქვთ განვითარების ერთნაირი გზა და მიღებული არიან სხვადასხვა ფუძეების ელემენტთა შერწყმის შედეგად.

ფუძეთა შერწყმა ცნობილია მრავალი ენის ისტორიიდან. თავის დროისათვის დამოუკიდებლად არსებული სიტყვები გარკვეული პირობების გამო ერთმანეთს უერთდებოდნენ და ახალ ფუძეებს წარმოშობდნენ. რადგანაც სემიტურ ენათა სიტყვის ძირის პრობლემა არაა სათანადოდ გაშუქებული, ლიტერატურაში ფიქსირებულია ანალოგიური წარმოების მხოლოდ ცალკეული ფუძეები, ისიც გვიანდელი წარმოშობისა, სახელდობრ იმ პერიოდისა, როდესაც სიტყვის ძირი (სამთანხმოვნიანი ტიპი) უკვე ჩამოყალიბებული იყო, როგორც მაგალითად, ებრაულ მრავალთანხმოვნიან სიტყვათა ერთი ჯგუფი ([1], გვ. 101). შეიძლება დავასახელოთ აგრეთვე ახალი სემიტური დიალექტები, რომლებშიაც დადასტურებულია სიტყვებთან ნაწილაკების შერწყმის არა ერთი შემთხვევა; არაბული დიალექტებიდან ცნობილია, მაგალითად, სიტყვა جأ ǧāba 'მოიტანა', რომელიც წარმოადგენს جأ ǧā'a 'მოვიდა' ზმნას ب $bi-$ პირდაპირი ობიექტის გამომხატველი ნაწილაკით. შუა აზიის არაბულის ერთ-ერთ დიალექტში (ბუხარულში) პროფ. გ. წერეთლის მიერ დამოწმებულია ზმნის ǧak და ǧadak ფორმები, რომელთა ბოლო თანხმოვანი k , მისი აზრით, kājin (kāna ზმნის მოქმედებითი გვარის მიმღებობა) სიტყვის ნაშთია ([2], გვ. 143).

სემიტოლოგიაში დღესდღეობით მიღებულია თვალსაზრისი, რომლის მიხედვითაც სემიტური სიტყვის ძირი ისტორიულად ფუძეს წარმოადგენს, მასში გამოიყოფა ორთანხმოვნიანი ძირეული ნაწილი და შესამე არაძირეული ელემენტი ([3], გვ. 23—24). უნდა აღინიშნოს, რომ არაძირეულ ელემენტთა ბუნება ჯერჯერობით გაურკვეველია. ერთი რამ კი უდავოა: ეს ელემენტები სხვადასხვა წარმოშობისაა; ზოგი მათგანი წარმოშობით ფორმანტებს უკავშირდება (მაგ., h , t , s , m და სხვ.), ნაწილი კი ფუძის დეტერმინანტს წარმოადგენს; შეინიშნება ისეთი შემთხვევებიც, როდესაც არაძირეული თანხმოვანი გაჩენილია ფონეტიკურ ნიადაგზე; გარდა ამისა, საფიქრებელია, რომ ამ თანხმოვანთა ერთი ჯგუფი ფუძეთა ნაშთს წარმოადგენს. როგორც ზემოთ აღინიშნა, ამის ილუსტრაციას უნდა წარმოადგენდეს dm' და ش šh ძირები.

دم dam^c ძირის მნიშვნელობაა 'ცრემლი' (ამ შინაარსით იგი მრავალსემიტურ ენაში გვხვდება: ებრ. dim'a^š კრებ. 'ცრემლები', აქად. dimu); გადატ. 'წვენი' არაბ. دماة dum'at (შდრ. ებრ. dema'); და 'ტირილი' — არაბ. دما 'იცრემლებოდა' (ებრ. dm').

ვფიქრობთ, دم ძირი შედგება ორი ნაწილისაგან: ع-მა, სადაც ما dm სემიტურ ენებში გავრცელებული ორთანხმოვნიანი dam ('სისხლი') ძირი უნდა იყოს, ع კი عين ('ain) 'თვალი' სიტყვის პირველი თანხმოვანი. ამრიგად, ჩვენთვის საინტერესო ძირის ეტიმოლოგია შემდეგნაირად უნდა წარმოვიდგინოთ: عين ما dam 'ain 'თვალის სისხლი', აქედან — 'ცრემლი' (دم dam^c, სახელისაგან უნდა იყოს ნაწარმოები ზმნა دماء dama'a 'იცრემლებოდა'). უნდა აღინიშნოს, რომ არაბულში დღესაცაა შემორჩენილი ანალოგიური შედგენილობის გამოთქმა 'ცრემლის' შინაარსით: بنت العين bintu l-ʿaini (სიტყვა-სიტყვით 'თვალის ასული', შდრ. بنت المخر bintu l-mahri პირდაპირი თარგმანით 'ასული გაზაფხულის ორუბლისა'. გარდა ამისა, შეიძლება მიგუთითოთ სპარსული آب چشم āb-i-čēšm (სიტყვასიტყვით 'თვალის წყალი') და სხვ.

ჩვენ მიერ აღდგენილ გამოთქმაში (عين ما dam 'ain) სიტყვა ما-ს ('სისხლი') 'სითხის' მნიშვნელობა აქვს; შდრ. ებრ. dam ḥnāb 'ღვინო' (სიტყვა-სიტყვით 'ყურძნის სისხლი') რომელშიაც dam გადატანით 'სითხის' აღსანიშნავადაა გამოყენებული ([4], გვ. 162).

უნდა აღინიშნოს, რომ ურმიის არამეულში ცრემლის მნიშვნელობით dīmā^c სიტყვის გარდა (შდრ. არაბ. دم dam^c) გვხვდება dīmāḥā^c (1, რაც გენეტიურ კონსტრუქციას წარმოადგენს: dīmā^c ('ცრემლი' და ḥā^c 'თვალისა') — 'თვალის ცრემლი' (შდრ. თურქ. göz için სიტყვასიტყვით 'თვალის ცრემლი'). შესაძლებელია, ამ კომპოზიტის პირველი ნაწილი სხვა წარმოშობის მონაცემიც იყოს, სახელდობრ, სახეცვლილი dīmā^c 'სისხლი', რომლის ტემბორიც შეცვლილია მომდევნო ḥā^c-ს გავლენით; ამრიგად, dīmāḥā^c შეიძლება განიხარტოს როგორც 'თვალის სისხლი'. თუ ასეთი გაგება სწორი აღმოჩნდება, მაშინ ურმიის არამეულის ჩვენება მხარს დაუჭერდა არაბული dam^c სიტყვის ზემოთ წარმოდგენილ ეტიმოლოგიას.

شبه šbh ძირს, უმთავრესად ორი მნიშვნელობა აქვს: ა) 'მსგავსება' — شبه šibh 'მსგავსება', شابه šābaha 'დაემსგავსა', شابه šābīh 'მსგავსი'; ბ) 'გაურკვეველობა, ეჭვი' — شبه šubhat 'ეჭვი', اشتبه istabaha 'იყო ბუნდოვანი, გაურკვეველი, საეჭვო' და სხვ.

شبه šbh ძირი რთული შემადგენლობისა უნდა იყოს, მასში უნდა გამოიყოფოდეს شب šb ძირეული ელემენტი და ه h თანხმოვანი, ჩვენის აზრით, მასთან შეხორცებული ნაცვალსახელოვანი ფუძე; ეს თანხმოვანი წარმო-

(1 ამ გამოთქმის შესახებ მიმოითა კ. წერეთელიძე.

შობით იგივე უნდა იყოს, რაც დასტურდება არაბულ (ასევე სხვა სემიტურ ენათა) ნაცვალსახელის ფუძეებში: هو huua, هي hijā, هاء hādā და ა. შ.

شب ელემენტი გამოიყოფა სხვა ძირებშიაც: شبت šabīta 'მიეკრა, მიეწება' شيبش—شيبش tašabbaša 'გადაიხლართნენ ხეები', شيبك šabaka 'მოწნა, დახლართა'; 'აურია, შეურია'; اشتبك ištabaka, 'იყო დახლართული, არეული'; شاب (شوب) šāba 'აურია, შეურია'; اشب 'ašiba 'დაიხლართა' (A. Mez-ის აზრით, ეს სიტყვა განვითარებულია شاب (شوب) ზმნის მეოთხე თემისაგან. [5], გვ. 253); وشب ušb 'ჯგუფი, გროვა' და სხვ. ამ სიტყვათა შეპირისპირებით შესაძლებელი ხდება იმის დადგენა, რომ شب ძირეული ელემენტის ამოსავალი მნიშვნელობაა 'შეერთება', აქედან კი—'შერევა' (1).

شب šbh ძირის განვითარება შემდეგნაირად უნდა წარმოვიდგინოთ: شب, ه, ه, ه 'შეურთდა მას', აქედან: 'აირია მასში', 'დაემსგავსა მას'; დასასრულ ა, ه 'შეუხორცდა ძირს, დაკარგა ფუნქცია, რის შედეგადაც شب-მ მიიღო განყენებული მნიშვნელობა: 'აირია', 'დაემსგავსა'. მტკიცებას არ მოითხოვს ის გარემოება, რომ ასეთი სემასიოლოგიური განვითარება (შერევა > დამსგავსება) ლოგიკურია. ჩვენ დავასახელებთ მხოლოდ ორ არაბულ ძირს شرج šrǧ-ს და شكل škl-ს, რომლებიც მნიშვნელობათა განვითარების ანალოგიურ სურათს გვიჩვენებენ; شرج šaraǧa 'შეკრიბა, შეაგროვა'; 'აურია ერთი მეორეში', ხოლო شارج šāraǧa 'დაემსგავსა', شريج šariǧ 'მსგავსი'; ასევე, شكل šakala 'იყო ბუნდოვანი, საეჭვო', شاكل šākala 'დაემსგავსა'.

شب šbh ძირში ნაცვალსახელოვანი ელემენტის არსებობა ბუნებრივი ჩანს; მსგავსების აღნიშვნისას ხომ ხაზი გაესმის მიმართებას რომელსამე პირთან (2).

საფიქრებელია, რომ dm- ძირი ჩამოყალიბდა სემიტურ ენათა განვითარების უძველეს პერიოდში, რაზედაც მიგვითითებს მისი კანონზომიერი შესატყვისობანი ამ ენებში. რაც შეეხება šbh ძირს, იგი შედარებით გვიან უნდა იყოს განვითარებული არაბულში, თუმცა შესაძლებელია იგი თავდაპირველად დანარჩენ სემიტურ ენებშიც იყო და დროთა განმავლობაში იდენტური მნიშვნელობის სხვა ძირებით შეიცვალა.

საქართველოს სსრ მეცნიერებათა აკადემია
 ენათმეცნიერების ინსტიტუტი
 თბილისი

(რედაქციას მოუვიდა 9.11.1954)

(1) სხვა წარმოშობისა شب² ელემენტი ისეთ ძირებში, როგორცა شب šabba 'დაჭაბუკდა', شبا šabā 'იყო მადალი' და სხვ.

(2) პროფ. ა. შანიძის აზრით, ქართულ მსგავს სიტყვაში გამოიყოფა-მს (<მას), რომელიც მესამე პირის ნაცვალსახელის მიც. ბრუნვის ფორმას წარმოადგენს ([6], გვ. 275).

დამოუყვებელი ლიტერატურა

1. Gesenius-Kautzsch. Hebräische Grammatik, Leipzig, 1902.
2. Г. В. Церетели. К характеристике языка среднеазиатских арабов. Труды второй сессии ассоциации арабистов. М.—Л., 1941.
3. Н. В. Юшманов. Строй арабского языка. Ленинград, 1936.
4. Gesenius-Buhl. Hebräisches u. aramäisches Handwörterbuch, Leipzig, 1910.
5. A. Mez. Über einige sekundäre Verba im Arabischen, Orient. Studien I, Leipzig, 1906.
6. ა. შანიძე. ნაშთები მესამე პირის ობიექტური პრეფიქსის ხმარებისა ხმოვნების წინ ქართულ ზმნებში. თბილისის უნივერსიტეტის მოამბე, ტ. II, 1922—23.

ისტორია

თ. შაუხრიშვილი

ბიჭვინტის მოზაიკის ბერძნული წარწერა

(წარმოადგინა აკადემიის ნამდვილმა წევრმა ნ. ბერძენიშვილმა 4.10.1954)

ბიჭვინტის არქეოლოგიური ექსპედიციის 1952 წლის სხვა მნიშვნელოვან მონაპოვართა შორის უეჭველად აღსანიშნავია ის ბერძნული წარწერა, რომელიც აღმოჩნდა ცენტრალური ტაძრიდან სამხრეთ-დასავლეთით მდებარე, დაახლოებით სამასი მეტრით დაშორებული ახლად გასუფთავებული ეკლესიის იატაკზე. მთელი ნაგებობის იატაკი მოზაიკურია და მასზე გამოხატულია არა მარტო გეომეტრიული სახეები, არამედ სხვადასხვა სიუჟეტებიც.

ბერძნული წარწერები დაცულია საკურთხეველში. აქ მონაცრისფრო ლურჯ ფონზე მოყვითალო მთავრული ასოებით გამოყვანილია ორი წარწერა.

1. საკურთხეველში, აღმოსავლეთ ნაწილში დაცულია ფრაგმენტი (სურ. 1): ...ω, ე. ო. Αω, „ἐξ ἑμῶν τὸ ἄλλο καὶ τὸ ἄλλο, λέγει: ἀπὸ τοῦ...“ „მე ვარ ანი და ჟ...იტყვს უფალი“. ეს არის ცნობილი ადგილი იოანეს გამოცხადებიდან (1,8 და 21,6), რომელიც გვხვდება ეკლესიებსა და სამღვდელთმსახურო ნივთებზე ჯერ კიდევ პირველი საუკუნეებიდან, ე. ო. ქრისტიანობის გავრცელებისთანავე.

2. ამ წარწერაზე ცოტა დასავლეთით, იმავე საკურთხეველში, ცენტრალურ ადგილას გამოყვანილია წრე (დიამეტრი დაახლოებით 60 სმ), რომლის მარჯვენა მხარე დაზიანებულია, ხოლო გადარჩენილი ნაწილი ასე გამოიყურება (სურ. 2): პირველი სტრიქონი სრულადაა. მეორე და მესამე სტრიქონებში (შუაში) დაზიანებულია თითო ასო. მესამე სტრიქონს ბოლოში აკლია ერთი ასო. მეოთხე სტრიქონს შუაში აკლია ორი ან სამი ასო (თავისუფლად დაეტეოდა ორი, უფრო მჭიდროდ სამი), ბოლოში — ერთი. მეხუთე სტრიქონი, ალბათ, კიდევ 4 ასოს მაინც შეიცავდა. შესაძლებელია იყო კიდევ მეექვსე მოკლე (2-ან 3-ასოიანი) სტრიქონი; ეს ადგილი ახლა მთლად დაზიანებულია, მაგრამ ვარაუდით რჩება წარწერისათვის სიმაღლეზე 10—11 სმ., ხოლო სიგანეზე 23—24 სმ. ქვემოთ ორნამენტი უნდა ყოფილიყო. წარწერაზე იკითხება: $\pi\alpha\rho | \epsilon-\chi\eta\varsigma | \omega\rho | \epsilon\lambda-\alpha\omega | \pi\alpha- | \tau\omicron- -\sigma\omicron- | \alpha\omicron-...$ წარწერას აღვადგენ ასე: $\pi\alpha\rho \epsilon\chi\eta\varsigma \omega\rho \epsilon\lambda \alpha\omega \pi\alpha \tau\omicron \sigma \alpha \alpha$ [აბტან]. „სალოცველად ორელისა და ყოვლისა სახლისა მისისათვის“.

ბიჭვინტის მოზაიკური წარწერისათვის დამწერლობის თვალსაზრისით დამახასიათებელია შემდეგი: იგი დაწერილია სადა, მკაცრი, მაგრამ არა მომჭირნე ასომთავრულით. ასოები არის შუატანის და ფართო (დაახლოებითი სიმაღლე 5,5 სმ, სიგანე—სხვადასხვა ასოებისა: η—3,7 სმ, σ—4,3 სმ; τ—6,0 სმ

და სხვა). ϵ , σ და \omicron არის სრულიად მრგვალი. υ -სა და λ -ს მარცხნივ დამატებითი ორნამენტული კავი აქვს; π ორსავე მხარეს გადასული ჰორიზონტალური შტრიხიანია. კუთხოვან α -ს მარცხნისაკენ დამრეცი გადამკვეთი ხაზი აქვს, ρ -ს შედარებით მაღალ ტანთან პატარა, მრგვალი. თავი (სიმაღლე I სტრიქონში—6,2 სმ, II-ში—6,9 სმ; ხოლო თავის ზომა ორივეგან დაახლოებით $3,5 \times 3,0$ სმ-ია). χ -ს ოდნავ მორკალული ქვემოთა დასწორი ზემოთა შტრიხები, η , τ და ζ არის კუთხოვანი და სრულიად სავალი, მომრგვალებულ ω -ს აქვს მაღალი შუა ხაზი. ტექსტში არაა ლიგატურები, აგრეთვე ფშვინვისა და მახვილის ნიშნები.



სურ. 1



სურ. 2

ბიკვინტის წარწერის ასოთა მოხაზულობისათვის შემდეგი პარალელური მასალა მოგვებოძა: ასეთი მრგვალი ϵ არის: V ს-ის მიწურულის ხერსონესის წარწერაში ([1], ტაბ. 1), გერასას 526 წლის მოზაიკურ წარწერაში ([2], გვ. 366), 634 წლის სალონიკის მოზაიკაზე ([3], ტაბ. 21), VI—IX სს რუსთავის საბეჭდავზე ([4], გვ. 269), VI—VII სს ხელნაწერებში ([5], ტაბ. II), ხერსონესის ერთი რელიეფის ფრაგმენტზე, რომელიც ბიზანტიური ხანითაა დათარიღებული ([6], გვ. 24, № 29), ქერჩის თიხის ფიალაზე, რომელიც გამომცემელს დათარიღებული არა აქვს, მაგრამ ადრე ბიზანტიური ხანის ძეგლებთან ერთად აქვეყნებს ([1], გვ. 119, № 113) და სხვ.

ბიკვინტის მოზაიკაზე გამოსახული σ -ის მსგავსი არის: IV—VI სს ბერძნულ ხელნაწერებში ([2], ტაბ. II), ხერსონესის V ს-ის მიწურულის წარწერაში ([1] ტაბ. 1), გერასას 526 წლის მოზაიკურ წარწერაში ([2], გვ. 366), იუსტინიანეს დროის ტამანის წარწერაში ([1], X ტაბ.), ხერსონესის V—VI სს წარწერაში ([7], გვ. 26), აია სოფიას X ს-ის მოზაიკაზე ([3], ტაბ. 94).

სრულიად მრგვალი \omicron გვხვდება ხერსონესის V—VI სს დათარიღებულ წარწერაში ([7], გვ. 26), გერასას 526 წლის მოზაიკაზე ([2], გვ. 366), იუსტინიანეს დროის ტამანის წარწერაში [1], ტაბ. X), ხერსონესის ადრე ბიზანტიურ წარწერაში ([6], გვ. 50), IV—VI სს ხელნაწერებში [5], ტაბ. II), VI—IX სს რუსთავის საბეჭდავზე ([4], გვ. 269), ქერჩის თიხის ფიალაზე ([1],

გვ. 119), აია სოფიას X ს-ის მოზაიკაზე ([3], ტაბ. 94), X—XI სს მინიატიურებზე ([3], ტაბ. 60, 74).

თავგადასურული π ხშირად გვხვდება დროის საკმაოდ დიდ მონაკვეთზე: VI ს-ის ქერჩის მინის ჭურჭელზე ([1], ტაბ. XII), V ს-ის მიწურულის ხერსონესის წარწერაზე ([1], ტაბ. 1), გერასას 526 წლის მოზაიკაზე ([2] გვ. 366), VI—VII სს ხელნაწერებში ([5], ტაბ. II), XI ს-ის ქიოსის მოზაიკაზე ([3], ტაბ. 102), X—XI სს. მინიატიურებზე ([8], ტაბ. 14; [3], ტაბ. 77, 138), ახტალის XI—XIII სს. ფრესკებზე ([4], გვ. გვ. 352—360) და სხვა.

ჩვენთვის საინტერესო მოხაზულობის α გვხვდება გერასას V ს-ის მოზაიკურ წარწერაში [2], გვ. 473), გერასას 526 წლის წარწერაში ([2], გვ. 366), სალონიკის 634 წლის მოზაიკაზე ([3], ტაბ. 21), აია სოფიას X ს-ის მოზაიკაზე ([3], ტაბ. 94), რუსთავის VI—IX სს საბეჭდავზე ([4], გვ. 269), IX—XI სს ათონის წარწერებში ([4], გვ. 21, 24), რაც შეეხება ხელნაწერებს, ასეთი α გვხვდება ჯერ კიდევ ძველი წ. ა. II ს-ში, ხოლო უფრო ხშირად ახ. წელთაღრიცხვის IV ს-დან სულ ბოლო დრომდე.

როგორც ზემოთაა იყო აღნიშნული, α და λ ჩვენს წარწერაში მარცხნივ კავიანებია. ასეთი კავიანი α ჩემთვის ცნობილ მასალაში სხვაგან არ გვხვდება. არის უკავო, მაგრამ სხვა მხრივ სრულიად მსგავსი α (სწორი ქვემოთა ხაზით და შედარებით გაშლილი კუთხოვანი ზემოთა ნაწილით): ხერსონესის V—VI სს დათარიღებულ წარწერაში ([7] გვ. 26), გერასას 531 წ. მოზაიკაში ([2], გვ. 479), ქერჩის თიხის ფილაზე, რომელიც ადრე ბიზანტიური ხანისაა ([1], გვ. 119), VI ს-ის ხელნაწერებში ([5], ტაბ. 2), 634 წლის სალონიკის მოზაიკაზე ([3], ტაბ. 21), ხერსონესის ბიზანტიური ხანის რელიეფის ფრაგმენტზე ([6], გვ. 24, № 29).

არა კავიანი, მაგრამ მოკლე ფეხიანი λ არის გერასას V ს-ის მოზაიკურ წარწერაში ([2], გვ. 473), გერასას 526 წლის მოზაიკაზე ([2], გვ. 366), 531 წლის წარწერაში ([2], გვ. 479), VI ს-ის ხელნაწერებში ([5], ტაბ. II), ხოლო მრგვალკავიანი λ (და არა ბიჭვინტის მოზაიკის მსგავსი კუთხოვანი-კავიანი) არის XII ს-ის ჩეფალუს მოზაიკაზე ([3], ტაბ. 184). მეტად განსხვავებული, მაგრამ მინც კავიანი λ გვხვდება XI—XIII სს ახტალის ფრესკებზე ([4], გვ. 352—360).

ბიჭვინტის წარწერისნაირი α დადასტურებულია: V ს-ის მიწურულის ხერსონესის წარწერაში ([1], ტაბ. 1), იუსტინიანეს დროის ტამანის წარწერაში ([1], ტაბ. X), გერასას 526 წლის წარწერაში ([2], გვ. 366), ხერსონესის ბიზანტიური ხანის რელიეფის ფრაგმენტზე ([6], გვ. 24, № 29), ქერჩის თიხის ფილაზე ([1], გვ. 119), აია სოფიას X ს-ის მოზაიკაზე ([3], ტაბ. 94), ფოკიდის XI ს-ის მოზაიკაზე ([3], ტაბ. 107), IV—XII სს ხელნაწერებში ([5], ტაბ. II—VIII), X—XI სს მინიატიურებზე ([3], ტაბ. 60, 77, 141).

ბიჭვინტის წარწერაში დაცული ρ , χ , η -ს მსგავსი მოხაზულობის ასოები გვხვდება ხერსონესის ერთი ბიზანტიური რელიეფის ფრაგმენტის წარწერაში ([6], № 29), გერასას 526 წლის წარწერაში ([2], გვ. 366). ასეთი ρ , χ , η და ამასთანავე τ დადასტურებულია VI—VII სს ხელნაწერებში ([5], ტაბ. II).

ასოებს ჯ-სა და ლ-ს არაფერი დამახასიათებელი ნიშანი არა აქვს, ისე რომ მათთვის პარალელური მასალის მოშველიება არ გვჭირდება.

ზემოთ მოყვანილი მასალის მიხედვით ბიჭვინტის მოზაიკურ ბერძნულ წარწერაში დაცული ასოების მსგავსი მოხაზულობის ასოები დათარიღებულ ძეგლებში გვხვდება V—VII სს-ში (უბირატესად), მაგრამ ასეთივე მოხაზულობის ასოები არის X—XI სს ძეგლებშიც. თავისთავად ეს ძალიან დიდი ვადაა; და საერთოდ, წარწერის დათარიღება მარტო ცალკეული ასოების მოხაზულობით ძნელდება, რადგან: 1. ერთსა და იმავე დროს გვხვდება სხვადასხვა ხელი (მრგვალი, ოვალური და კუთხოვანი) თვით ერთი დამწერლობის ფარგლებშიც (მაგ., მთავრულის) და 2. ერთი და იგივე მოხაზულობის ასოები გვხვდება დროის მიხედვით მეტისმეტად დაშორებულ წარწერებში (მაგ., მრგვალი, შუაში წერტილიანი ϩ—⊙ IV—III სს-ში და XIX ს-ში, გადახურული π VI—VII ს-ში და შემდეგ XVI—XVII სს-ში). ამას გარდა, მოზაიკურ წარწერებში მეტი კონსერვატულობა ჩანს; ძირითადად ერთნაირი მოხაზულობის ასოები გვაქვს VI და XI ს-ში. წარწერის დასათარიღებლად უნდა შევისწავლოთ გარდა ცალკეული ასოების მოხაზულობისა, წარწერის საერთო ხასიათი. ჩვენი წარწერის საერთო იერი—სადა, მარტივი, არამოჭირნე სტილი მაფიქრებინებს, რომ იგი უფრო V—VII სს-ის ძეგლია. ჩემს მიერ ზემოთ განხილულ დამატებით მასალაში ჩვენი ძეგლის ყველაზე მეტად მსგავსი, როგორც ცალკეული ასოების მოხაზულობის მიხედვით, ასევე საერთო სტილისა და შინაარსის მხრივ, არის ერთი ხერსონესის წარწერა, რომელიც გამომცემელს, გ. ლატიშევს, ზოგადად ბიზანტიური ხანით აქვს დათარიღებული ([6], გვ. 24, № 29) იხ. სურ. № 3). ეს ვადა კიდევ უფრო დიდია (IV—XV სს), მაგრამ, ვფიქრობ, რომ ის წარწერაც ადრებიზანტიურია (ე. ი. არა უგვიანესი V—VII სს-ისა). ასევე ძალიან ემსგავსება ბიჭვინტის მოზაიკურ წარწერას გერასას, კერძოდ, წმ. პროკოპის ეკლესიის, 26 წლის მოზაიკური წარწერა ([2], № 304, გვ. 366 და გვ. 479) (იხ. სურ. № 4).



სურ. 3

მართლწერის თვალსაზრისით ბიჭვინტის ძეგლი იცავს კლასიკური ბერძნული ენის ნორმებს: თავთავის ადგილასაა η და υ. α—დიფთონგი დიფთონგადვეა წარმოდგენილი. ენის სხვა ნორმების შესახებ მსჯელობა არ გვიხერხ-

304. A. D. 526 Δ Β Δ Ε Η Θ Κ Λ Μ Ν Ο Π Ρ Σ Υ Φ Ψ

სურ. 4

დება, რადგან წარწერა ფრაგმენტულია (მაგ., არ ვიცით, არის თუ არა შემოკლებები, ან ბრუნვათა არევა. ეს უკანასკნელი არაა სავარაუდებელი, რადგან წარწერის შემსრულებელი წიგნური ბერძნულის მკოდნე ჩანს).

შინაარსის მხრივ ბიჭვინტის მოზაიკური წარწერის ტიპის წარწერები საქართველოში აქამდე ცნობილი არ ყოფილა, მაგრამ საერთოდ ის უცხო არ

არის სამეცნიერო ლიტერატურისათვის. მაგ., ვ. ლატიშევმა გამოსცა ხერსონესის წარწერებს შორის X ს-ის პირველი ნახევრის, ასოთა მოხაზულობის მიხედვით მეტად განსხვავებული, მაგრამ შინაარსობრივად მსგავსი მოზაიკური წარწერა: „*ἡνὲρ εὐχῆς Μάλχο | υ καὶ πάντων τ(ων) δι | αφερόντων αὐτοῦ*“ „*О молитве за Малха и всех сродников его*“ ([1], გვ. 27, № 13), ან კიდევ იმავე ხერსონესიდან დაუთარილებელი, მაგრამ ბიზანტიური ხანისად მიჩნეული სხვა წარწერებიც, რომლებიც მოყვანილია ვ. ლატიშევის ამავე შრომის 28—29 გვერდებზე (№№ 15 და 16).

№ 15 „*ἡνὲρ εὐχῆς Μαρτυρίας καὶ πάντων τῶν διαφερόντων αὐτοῦ*“.

„*О молитве за Мартирия и всех сродников его*“.

№ 16 „*ἡνὲρ εὐχῆς Θεοδώρου*“...

რა თქმა უნდა, კატეგორიული განცხადება იმისა, რომ ამ ტიპის წარწერები მაინცა და მაინც დროის ამა და ამ მონაკვეთში გვხვდებაო, ძნელია, მაგრამ ერთი შენიშვნის გაკეთება მაინც ხერხდება: როგორც წარწერები: *ὁ τίμιος καὶ πάνσεπτος ναὸς (τοῦ θεῖου)*... *ἰσορρήμη (ἀν ἑκαλλησερχήμη ἀν ἑκαινίσημη) διὰ συνδρομῆς (τοῦ θεῖου) ἔτει*... (პატრიოსანი ტაძარი ამისა და ამის, მოიხატა, ან შეიმკო, ან განახლდა ამისა და ამის შეწევნით, ამა და ამ წელს) გვხვდება XIV—XVII და შეიძლება შემდეგ საუკუნეებში, ისე წარწერები *ἡνὲρ εὐχῆς*... უფრო მეტად გვხვდება ე. წ. ბიზანტიური დროით დათარიღებულ ძეგლებზე, მე პირადად მგონია, რომ ამ ბიზანტიური ხანის სწორედ პირველი ნახევრის (V—X სს) ძეგლებზე.

მსგავსი გამოთქმები გვხვდება II ს-ის (სახელდობრ 126 წლის) ერთ წარწერაში: *Ἡνὲρ Ἀυτοκράτορος Καίσαρος Τραιανοῦ Ἀδριανοῦ Σεβαστοῦ καὶ τοῦ παντὸς οἴκου αὐτοῦ Δι' Ἡλίω μεγάλῳ Σαράπιδι Γάιος Ἰούλιος Ἀντωνεῖος τῶν ἀπολελυμένων δεκαδάρχων ἐκ τοῦ ἰδίου ἀνοικοδομήσας τὸ ἱερὸν τὸ ζῶδιον ἀνέθηκεν εὐχῆς καὶ εὐσεβείας χάριν ἐπὶ ἐπαρχοῦ Αἰγύπτου ὁ αὐτὸς δὲ καὶ νεοκίρος αὐτοῦ τῶν μεγάλου Σαράπιδος καὶ τὰ κατὰ λοιπὰ ζῶδια ἀνέθηκε* *LI Ἀυτοκράτορος Καίσαρος Τραιανοῦ Ἀδριανοῦ Σεβαστοῦ τῆς κ' α'* ([9], გვ. 206), ე. ი. „თვითმპყრობელი კეისრის ტრაიანე აღრიანე სებასტოსისა და ყოვლისა მისისა სახლისათვის ძეგსს, ჰელიოსს, დიდ სარაპისს, გაიუს იულიუს ანტონიუსსა, მაშინ როდესაც გაათავისუფლეს დეკადარხები, თავისი სახსრით განუახლა ტაძარი და აღუმართა ქანდაკება, სალოცველად და ღვთისმოსაობის გამო, როდესაც თვითონ იგი ეგვიპტის ეპარქოსი¹ და თვით დიდი სარაპისის ნეოკოროსი² იყო. და ესენი გააკეთა მან დანარჩენი ქანდაკებებიც მიხედვით. თვითმპყრობლის, კეისრის ტრაიანე აღრიანე სებასტოსის მეათე [წელს], ოცდაცხრა ტიპის (ე. ი. 24 იანვარს)“.

ბიჭვინტის ბერძნული მოზაიკური წარწერის ტექსტში ყურადღებას იპყრობს სიტყვა *οἴκος*, ო. ან სიტყვას მრავალი მნიშვნელობა აქვს. მაგ., დიმიტრაიკის განმარტებით ლექსიკონში ამ სიტყვის 14 მნიშვნელობაა აღნიშნული.

⁽¹⁾ *ἐπαρχος*, ო მეფის ნაცვალი, ე. ი. გაიუს იულიუს ანტონიუსი იყო აღრიანეს ნაცვალი ეგვიპტეში.

⁽²⁾ *νεοκίρος*, ო ტაძრის მზრუნველი.

ლექსიკონებში (დიმიტრაკი, სოფოკლესი, ლიდლ-სკოტი, პაპე) დამოწმებულ მნიშვნელობათაგან გამოვეყოფ მათ, რომელთაც შეიძლება კავშირი ჰქონდეთ ჩვენს შემთხვევასთან: 1. სახლი (ნაგებობის მნიშვნელობით), 2. ოთახი (სახლის ნაწილი), 3. ტაძარი, ეკლესია, ჩვეულებრივ ქრისტიანული ეკლესია, 4. ქონება—ყოველივე, რაც სახლისუფალს ეკუთვნის (სახლშიც და სახლს გარეთაც), 5. სახლი—გვარი, თაობა, ოჯახის მნიშვნელობით და სხვ. ჩვენი წარწერისათვის სიტყვა οἶκος-ის ზემოთ ჩამოთვლილ მნიშვნელობათაგან ვიღებ „სახლს“—გვარის, ოჯახის, მოდგმის, სახლეულის გაგებით.

ბიჭვინტის მოზაიკურ წარწერაში ყველაზე საინტერესო არის სახელი იმ პირისა, რომელსაც თავის და თავის სახლის, სახლეულის სალოცველად რაღაცა გაუკეთებია ამ ეკლესიაში. ყველაზე მეტად სავარაუდოა, რომ, თუ მთელი ძეგლი არა, ეს მოზაიკური იატაკი არის მისი ინიციატივით თუ სახსრითა და საფასით გაკეთებული. ერთი შეხედვით შეიძლება გვეფიქროს, რომ რაკი და ეს პირი თავისთან ერთად თავის სახლს, სახლობას იხსენიებს, ის უეჭველად ერისკაცთაგანი იყო. მაგრამ მოიხსენება ეს ვარაუდი, თუ გავიხსენებთ იმ გარემოებას, რომ „IX ს-მდე ქართულ ეკლესიაში ყველა ეპისკოპოსნი „ცოლოსანნი“, ანუ ცოლშვილიანი იყვნენ“ ([10], გვ. 189).

ამგვარად, ორელი თანაბრად შეიძლებაოდა ყოფილიყო როგორც საერო, ასევე საეკლესიო პირი. ადამიანი, რომელსაც შეეძლო ამდენის ვალება (მარტო მოზაიკაც საკმარისად ძვირი დაჯდებოდა) უეჭველად დიდი თანამდებობისა და მაღალი მდგომარეობისა უნდა ყოფილიყო. იმ დროინდელ, ე. ი. V—XI სს (მე ვიღებ ყველაზე დიდ ვადას) ჩემთვის ცნობილ საისტორიო წყაროებში ასეთი სახელის (ორელ-ი) მატარებელი დიდებული, მთავარი, ეპისკოპოსი ან სხვა რომელიმე პირი არ ჩანს. მაგრამ, ვფიქრობ, ეს არაფერს ნიშნავს, მაგალითად, ძველ პიტიახშის, ბერსუმა პიტიახშის, ეხოლსმოდგრის იოდმანგანის და სხვათა სახელები მხოლოდ თხუთმეტოდვე წელიწადია, რაც ცნობილი გახდა. ახლად აღმოჩენილ სახელთა შორის ბევრი იპყრობს ყურადღებას თავისებურებისა ან უჩვეულობის გამო., მაგ., ასეთი იშვიათი სახელია „კოვაკ“, „ბევრაზურია“ და სხვა.

სახელი „ორელ“ აქამდე ცნობილ საკუთარ სახელთა შორის არსადაა დადასტურებული. იგი აგებულების მხრივ ბერძნულ-რომაული არაა. ასეთი სახელი არ გვხვდება შავი ზღვის სანაპიროს სხვა ქვეყნებში ([11], საძიებლები).

ელ-დაბოლოება აღმოსავლურ სახელთა შორის იშვიათი არაა (შდრ. ჯერ მარტო მთავარანგელოზების სახელებს—მიქაელ, გაბრიელ). მაგრამ „ორელ“-ი თითქოს არც მათი ტიპისაა: ყველა აღმოსავლური ელ-დაბოლოებიანი სახელი ბერძნულად იწერება η-თი, ხოლო „ორელ“-ი დაწერილია ε-ით, მართლწერის ნორმები წარწერაში კლასიკური არის დაცული; არავითარი საფუძველი არა გვაქვს ვიფიქროთ, რომ მაინცა და მაინც ამ სიტყვაში მოხდა ასეთი რამე. ვფიქრობ, ეს არის ადგილობრივი სახელი, ისეთივე კონსტრუქციისა, როგორცაა ნათელი (ნათელა), ბევრელი [12], მეზრელი, გავაშელი, კაეშელი ([13], გვ. 150, 148, 131), ფუბელი (ლაზი დიდებული, [14], გვ. 84), სახვე-

რელი (საზვერელი ჩიჯავაძე, [15], გვ. 93), ვირშელი, ლარგველი, ქვენიფნე-
ველი [16], გვ. 15, 21, 4, 10) და სხვა. ეს კატეგორია ელ-სუფიქსიანი სახე-
ლებისა, გარკვეულად იმავე ძირისაა, რომლისაც გეოგრაფიული სახელები.
მაგ., მწვერი სოფელია ბეროსთან, მეზირი იქვე მთაა და სალოცავი, ადამია-
ნის სახელია მეზრელი. კაიში ადგილია ზემო სვანეთში, ფარის სასოფლო საბ-
ჭოში, ამჟამად ეკლესიაა მხოლოდ და ნასოფლარი. სახელია კაეშელი. ვირშა
სოფელია ქსნის ხეობაში, ვირშელი საკუთარი სახელია. იფნევი, ქვენიფნევი
ქსნის ხეობაშია, ქვენიფნეველი პირის სახელია, ლარგვისი და ლარგველი, და
სხვა.

სახელ „ორელ“-ის მიმართ ასეთივე დაკვირვება მაქვს: „ორი“ არის სო-
ფელი ოლთისის რაიონში, ტაოსკარის თემში: იქვეა „ორთისი“; ახალციხის
რაიონში არის სოფელი „ორალი“. სოფლის სახელი „ორთა“ დადასტურებუ-
ლია მეღქიზედექ კათალიკოსის XI ს-ის სიგელში: „ტაოს ვიყიდე სოფელი
ზადკარეკი ხუთითა აგარაჲთა; და ძაღლისცევს ვიყიდე სოფელი ორთა სამითა
აგარაჲთა“ ([17], გვ. 290), ე. ი. სოფელი „ორთა“ არის არტაანის მხარეში.
როგორც ვხედავთ, ორ-ძირისაგან წარმოებული გეოგრაფიული სახელები ამ
მასალის მიხედვით დამოწმებულია სამხრეთ საქართველოში, არც ერთი ამათ-
განი არაა აფხაზეთში, მაგრამ, რა თქმა უნდა, ეს იმას არ ნიშნავს, რომ არ
ყოფილა ან და არ არის აფხაზეთში ასეთი რამ. და ბოლოს შეიძლება აფხა-
ზეთში არც ყოფილიყო ასეთი გეოგრაფიული პუნქტი, მაგრამ სახელი ამ ძირი-
სა საერთოდ ყოფილიყო გავრცელებული. ამგვარად, „ორელ“-ი მიმაჩნია იმავე
კატეგორიის საკუთარ სახელად, როგორიც არის კაეშელ-ი, ვირშელ-ი, ქვენი-
ფნეველ-ი და სხვა⁽¹⁾. ე. ი. ცინცაძეს ორელ-ის ძირისად მიაჩნია იპატის მატია-
ნეში დამოწმებული ყიფჩაყის სახელი „ორეგ“-ი, ე. ი. ძირი ორივეგან არის
„ორ“, ხოლო ეგ (EB) არის რუსული სუფიქსი⁽²⁾.

საქართველოს სსრ მეცნიერებათა აკადემია

ი. ჯავახიშვილის სახელობის
ისტორიის ინსტიტუტი
თბილისი

(რედაქციას მოუვიდა 4.10.1954)

დამოწმებული ლიტერატურა

1. В. В. Латышев. Сборник греческих надписей христианских времен из южной Рос-
сии. СПб, 1896.
2. Gerasa, city of the Decapolis, 1938.
3. В. Н. Лазарев. История византийской живописи, II, М. 1948.
4. თ. ყ ა უ ხ ჩ ი შ ვ ი ღ ი. ბერძნული წარწერები საქართველოში, თბილისი, 1951.
5. V. Gardthausen. Griechische Palaeographie, II, 1913.

⁽¹⁾ ვფიქრობ, ამ ჩემს მოსაზრებას „ორელ“-ის შესახებ არ დაარღვევს ამ ბოლო ხანებში
აღმოჩენილი და თრაკიულად გამოცხადებული სახელი „კარიელ“-ი, რომლის ეტიმოლოგიაც
ცნობილი არ არის (შდრ. [18], გვ. 81).

⁽²⁾ ეს მოსაზრება პატივცემულმა ი. ცინცაძემ კერძო საუბარში გამოთქვა.



6. Материалы по археологии России, № 17, 1895.
7. Материалы по археологии России, № 23, 1899.
8. В. Н. Лазарев. История византийской живописи, I, М., 1947.
9. *Révue archéologique... 6-e série, Tome XL, Octobre—Décembre, Paris, 1952.*
10. ივ. ჯავახიშვილი. ქართული სამართლის ისტორია, I, თბილისი, 1928.
11. V. Latyshev. *Inscriptiones antiquae orae septentrionalis Ponti Euxini graecae et latine, I, II, IV v. v. Petropolii 1885—1900.*
12. გორგიშვილი. ცხორება გრიგოლ ხანძთელისა. თბილისი. 1949.
13. სვანეთის საისტორიო ძეგლები. პ. ინგოროყვას გამოცემა. თბილისი, 1941.
14. გეორგიკა. ბიზანტიელი მწერლების ცნობები საქართველოს შეს. ს. ყაუხჩიშვილის გამოც. II. თბილისი, 1934.
15. Е. С. Такайшвили. Церковь в Ване, в Имерии и ея древности. Известия кавказского историко-археологического института в Тифлисе, т. II, 1917—1925, Ленинград, 1927.
16. თ. ყორღანიძე. ქრონიკები, წ. II, თბილისი, 1897.
17. ბერძენიშვილი, მცხეთის საბუთი XI ს-ისა, საქ. მუზეუმის მოამბე, VI, 1931.
18. В. Бешевлиев. Епиграфски приноси. София, 1952.

რედაქტორის მოადგილე ი. გიგინეიშვილი

ხელმოწერილია დასაბუქდალ 25.1.1955; შეკვ. № 1986; ანაწილის ზომა 7×11;
 ქალაქის ზომა 70×108; სააღრიცხვო-საგამომც. ფურცლების რაოდენობა 6;
 ნაბეჭდი ფურცლების რაოდენობა 5; უე 01532; ტირაჟი 800.



დებულება „საქართველოს სსრ მეცნიერებათა აკადემიის მოამბის“ შესახებ

1. „მოამბეში“ იბეჭდება საქართველოს სსრ მეცნიერებათა აკადემიის მეცნიერი მუშაკებისა და სხვა მეცნიერთა წერილები, რომლებშიც მოკლედ გადმოცემულია მათი გამოკვლევების მთავარი შედეგები.

2. „მოამბეს“ ხელმძღვანელობს სარედაქციო კოლეგია, რომელსაც ირჩევს საქართველოს სსრ მეცნიერებათა აკადემიის საერთო კრება.

3. „მოამბე“ გამოდის ყოველთვიურად (თვის ბოლოს), გარდა ივლის-აგვისტოს თვისა — ცალკე ნაკვეთებად, დაახლოებით 5 ბეჭდური თაბახის მოცულობით თითოეული. ერთი წლის ყველა ნაკვეთი (სულ 10 ნაკვეთი) შეადგენს ერთ ტომს.

4. წერილები იბეჭდება ქართულ ენაზე, იგივე წერილები იბეჭდება რუსულ ენაზე პარალელურ გამოცემაში.

5. წერილის მოცულობა, ილუსტრაციების ჩათვლით, არ უნდა აღემატებოდეს 8 გვერდს. არ შეიძლება წერილების დაყოფა ნაწილებად სხვადასხვა ნაკვეთში გამოსაქვეყნებლად.

6. მეცნიერებათა აკადემიის ნამდვილი წევრებისა და წევრ-კორესპონდენტების წერილები უშუალოდ გადაეცემა დასაბეჭდად „მოამბის“ რედაქციას, სხვა ავტორების წერილები კი იბეჭდება საქართველოს სსრ მეცნიერებათა აკადემიის ნამდვილი წევრის ან წევრ-კორესპონდენტის წარმოდგენით. წარმოდგენის გარეშე შემოსულ წერილებს რედაქცია გადასცემს აკადემიის რომელიმე ნამდვილ წევრს ან წევრ-კორესპონდენტს განსახილველად და, მისი დადებითი შეფასების შემთხვევაში, წარმოსადგენად.

7. წერილები და ილუსტრაციები წარმოდგენილი უნდა იქნეს ავტორის მიერ სავსებით გამზადებული დასაბეჭდად. ფორმულები მკაფიოდ უნდა იყოს ტექსტში ჩაწერილი ხელით. წერილის დასაბეჭდად მიღების შემდეგ ტექსტში არავითარი შესწორებისა და დამატების შეტანა არ დაიშვება.

8. დამოწმებული ლიტერატურის შესახებ მონაცემები უნდა იყოს შეძლებისდაგვარად სრული: საჭიროა აღინიშნოს ჟურნალის სახელწოდება, ნომერი სერიისა, ტომისა, ნაკვეთისა გამოცემის წელი, წერილის სრული სათაური; თუ დამოწმებულია წიგნი, სავალდებულოა წიგნის სრული სახელწოდების, გამოცემის წლისა და ადგილის მითითება.

9. დამოწმებული ლიტერატურის დასახელება წერილის ბოლოში ერთვის სიის სახით. ლიტერატურაზე მითითებისას ტექსტში ან შენიშვნებში ნაჩვენები უნდა იქნეს ნომერი სიის მიხედვით, ჩასმული კვადრატულ ფრჩხილებში.

10. წერილის ტექსტის ბოლოს ავტორმა უნდა აღნიშნოს სათანადო ენებზე დასახელება და ადგილმდებარეობა დაწესებულებისა, სადაც შესრულებულია ნაშრომი. წერილი თარიღდება რედაქციაში შემოსვლის დღით.

11. ავტორს ეძლევა გვერდებზე შეკრული ერთი კორექტურა მკაცრად განსაზღვრული ვადით (ჩვეულებრივად, არა უმეტეს ერთი დღისა). დადგენილი ვადისთვის კორექტურის წარმოუდგენლობის შემთხვევაში რედაქციის უფლება აქვს შეაჩეროს წერილის დაბეჭდვა, ან დაბეჭდოს იგი ავტორის ვიზის გარეშე.

12. ავტორს უფასოდ ეძლევა მისი წერილის 50 ამონაბეჭდი (25 ამონაბეჭდი თითოეული გამოცემიდან) და თითო ცალი „მოამბის“ ნაკვეთებისა, რომლებშიც მისი წერილია მოთავსებული.

რედაქციის მისამართი: თბილისი, ძეგუნიძის ქ., 8

СООБЩЕНИЯ АКАДЕМИИ НАУК ГРУЗИНСКОЙ ССР, Т. XVI, № 1, 1955

Основное, грузинское издание